

**TESIS**

**KLASTERING DATA INTERKOMPARASI ANAK TIMBANGAN  
MENGGUNAKAN ALGORITMA *SELF ORGANIZING MAPS***



Disusun oleh:

**Nama : Arif Fajar Solikin**

**NIM : 20.52.1311**

**Konsentrasi : Business Intelligence**

**PROGRAM STUDI S2 TEKNIK INFORMATIKA  
PROGRAM PASCASARJANA UNIVERSITAS AMIKOM  
YOGYAKARTA  
2022**

**TESIS**

**KLASTERING DATA INTERKOMPARASI ANAK TIMBANGAN  
MENGGUNAKAN ALGORITMA SELF ORGANIZING MAPS**

***WEIGHTS INTERCOMPARATION DATA CLUSTERING USING  
SELF ORGANIZING MAPS ALGORITHM***

Diajukan untuk memenuhi salah satu syarat memperoleh derajat Magister



Disusun oleh:

**Nama : Arif Fajar Sollkin**  
**NIM : 20.52.1311**  
**Konsentrasi : Business Intelligence**

**PROGRAM STUDI S2 TEKNIK INFORMATIKA  
PROGRAM PASCASARJANA UNIVERSITAS AMIKOM  
YOGYAKARTA  
2022**

## HALAMAN PENGESAHAN

### KLASTERING DATA INTERKOMPARASI ANAK TIMBANGAN MENGGUNAKAN ALGORITMA *SELF ORGANIZING MAPS*

*WEIGHTS INTERCOMPARATION DATA CLUSTERING USING  
SELF ORGANIZING MAPS ALGORITHM*

Dipersiapkan dan Disusun oleh

**Arif Fajar Solikin**

20.52.1311

Telah Diujikan dan Dipertahankan dalam Sidang Ujian Tesis

Program Studi S2 Teknik Informatika

Program Pascasarjana Universitas AMIKOM Yogyakarta

pada hari Rabu, tanggal 5 Januari 2022

Tesis ini telah diterima sebagai salah satu persyaratan  
untuk memperoleh gelar Magister Komputer

Yogyakarta, 5 Januari 2022

**Rektor**

Prof. Dr. M. Suyanto, M.M.

NIK. 190302001

## HALAMAN PERSETUJUAN

KLASTERING DATA INTERKOMPARASI ANAK TIMBANGAN  
MENGGUNAKAN ALGORITMA *SELF ORGANIZING MAPS*

*WEIGHTS INTERCOMPARATION DATA CLUSTERING USING  
SELF ORGANIZING MAPS ALGORITHM*

Dipersiapkan dan Disusun oleh

Arif Fajar Solikin

20.52.1311

Telah Diujikan dan Dipertahunkan dalam Sidang Ujian Tesis  
Program Studi S2 Teknik Informatika  
Program Pascasarjana Universitas AMIKOM Yogyakarta  
pada hari Rabu, 5 Januari 2022

Pembimbing Utama

Anggota Tim Penguji

Prof. Dr. Kusrini, M. Kom.  
NIK. 190302106

Prof. Dr. Emia Utami, S.Si., M. Kom.  
NIK. 190302037

Pembimbing Pendamping

Alva Hendi Muhammad, S.T., M. Eng, Ph. D  
NIK. 190302493

Ferry Wahyu Wibowo, S.Si., M.Cs.  
NIK. 190302235

Prof. Dr. Kusrini, M. Kom.  
NIK. 190302106

Tesis ini telah diterima sebagai salah satu persyaratan  
untuk memperoleh gelar Magister Komputer

Yogyakarta, 5 Januari 2022  
Direktur Program Pascasarjana

Prof. Dr. Kusrini, M. Kom.  
NIK. 190302106

## HALAMAN PERNYATAAN KEASLIAN TESIS

Yang bertanda tangan di bawah ini,

Nama mahasiswa : Arif Fajar Solikin  
NIM : 20.52.1311  
Konsentrasi : Business Intelligence

Menyatakan bahwa tesis dengan judul berikut:

**"Klastering Data Interkorelasi Dengan Menggunakan Algoritma Self Organizing Maps"**

Dosen Pembimbing Utama : Prof. Dr. Kusrini, M. Kom.  
Dosen Pembimbing Pendamping : Ferry Wahyu Wibowo, S.Si., M.Cs.

1. Karya tulis ini adalah benar-benar ASLI dan BELUM PERNAH diajukan untuk mendapatkan gelar akademik, baik di Universitas AMIKOM Yogyakarta maupun di Perguruan Tinggi lainnya.
2. Karya tulis ini merupakan gagasan, rumusan dan penelitian SAYA sendiri tanpa bantuan pihak lain kecuali arahan dari Tim Dosen Pembimbing.
3. Dalam karya tulis ini tidak terdapat karya atau pendapat orang lain, kecuali secara tertulis dengan jelas dicantumkan sebagai acuan dalam naskah dengan disebutkan nama pengaruh dan disebutkan dalam Daftar Pustaka pada karya tulis ini.
4. Perungkat lunak yang digunakan dalam penelitian ini sebelumnya menjadi tanggung jawab SAYA, bukan tanggung jawab Universitas AMIKOM Yogyakarta.
5. Penyataan ini SAYA buat dengan sesungguhnya, apabila di kemudian hari terdapat penyimpangan dan ketidakbenaran dalam pernyataan ini, maka SAYA bersedia menerima SANKSI AKADEMIK dengan pencabutan gelar yang sudah diperoleh, serta sanksi lainnya sesuai dengan norma yang berlaku di Perguruan Tinggi.

Bantul, 05 Januari 2022

Yang menyatakan,

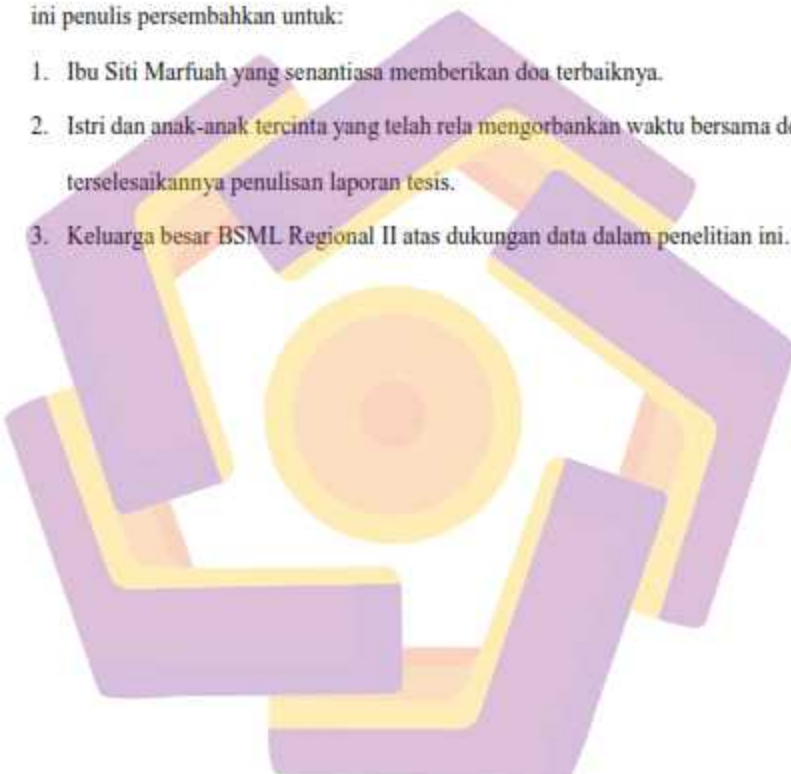


Arif Fajar Solikin

## **HALAMAN PERSEMBAHAN**

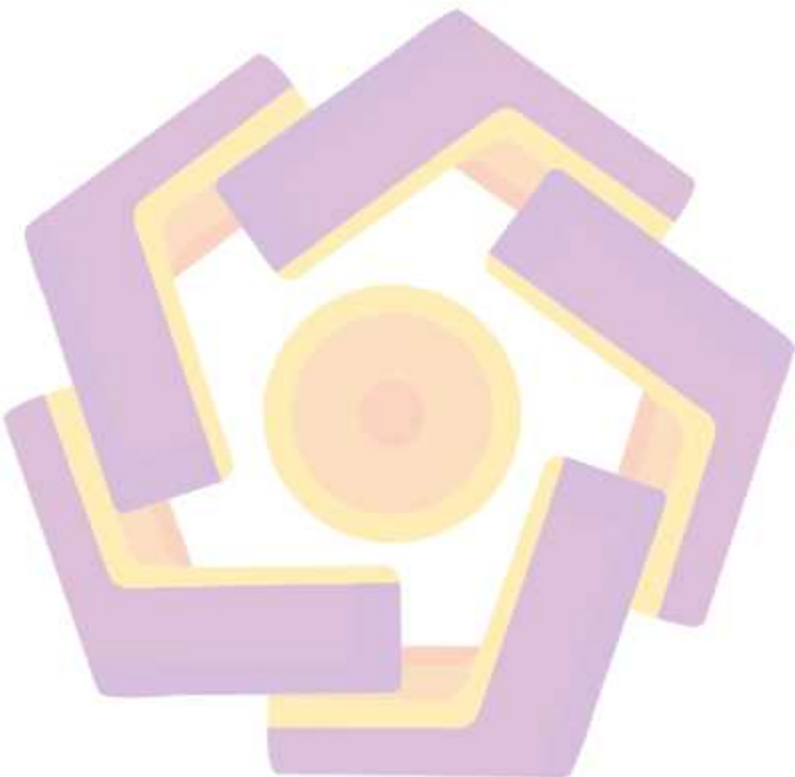
Segala puji syukur penulis panjatkan kehadirat Allah SWT yang telah memberikan nikmat dan karuniaNya sehingga dapat menyelesaikan tesis ini. Tesis ini penulis persembahkan untuk:

1. Ibu Siti Marfuah yang senantiasa memberikan doa terbaiknya.
2. Istri dan anak-anak tercinta yang telah rela mengorbankan waktu bersama demi terselesaikannya penulisan laporan tesis.
3. Keluarga besar BSML Regional II atas dukungan data dalam penelitian ini.



## **HALAMAN MOTTO**

Fokus pada Solusi, bukan pada masalah. Masalah selalu ada, yang terpenting bagaimana reaksi atau respon kita terhadap masalah tersebut.



## KATA PENGANTAR

Puji syukur penulis panjatkan kehadirat Allah SWT yang telah melimpahkan rahmat, taufik dan hidayahNya kepada penulis, sehingga penulis dapat menyelesaikan penulisan tesis dengan judul: "Klastering Data Interkomparasi Anak Timbangan Dengan Menggunakan Algoritma *Self Organizing Maps*. Sholawat serta salam senantiasa tercurah kepada Baginda Muhammad SAW, Nabi khatimul anbiya yang senantiasa kita nantikan syafa'atnya kelak di yaumil akhir.

Penulis menyampaikan ucapan terimakasih dan penghargaan yang setinggi-tingginya kepada Ibu yang telah memberikan doa terbaiknya dan istri yang senantiasa mendukung dan memberikan semangat untuk menyelesaikan kuliah S2 ini secara tepat waktu. Ucapan terima kasih juga penulis sampaikan kepada:

1. Bapak Prof. Dr. M. Suyanto, M.M. sebagai rektor Universitas AMIKOM Yogyakarta.
2. Ibu Prof. Dr. Kusrini, M. Kom sebagai Direktur Program Pasca Sarjana Magister Teknik Informatika Universitas AMIKOM Yogyakarta dan sekaligus sebagai dosen pembimbing I yang telah meluangkan waktu dalam membimbing dan memberikan arahan hingga terselesaikannya penulisan tesis ini.
3. Bapak Ferry Wahyu Wibowo, S. Si, M.Cs. sebagai dosen pembimbing II yang telah memberikan bimbingan arahan dan dukungan terhadap penulis.
4. Ibu Prof. Dr. Emma Utami, S.Si., M.Kom dan Bapak Alva Hendi Muhammad, S.T., M.Eng., Ph.D sebagai Dosen Pengaji.

5. Seluruh dosen, staff akademik dan rekan-rekan mahasiswa Magister Teknik Informatika yang telah menjalankan sistem perkuliahan di Universitas AMIKOM Yogyakarta secara baik.

Akhirnya dengan kerendahan hati penulis menyadari bahwa penulisan tesis ini masih banyak kekurangan, sehingga kritik dan saran yang bersifat membangun sangat penulis harapkan. Harapannya tesis ini nantinya dapat memberikan manfaat bagi masyarakat, instansi dan bidang pendidikan. Sekian dan penulis sampaikan terima kasih.

Bantul, 05 Januari 2022

Penulis

## **DAFTAR ISI**

HALAMAN JUDUL.....	ii
HALAMAN PENGESAHAN.....	iii
HALAMAN PERSETUJUAN.....	iv
HALAMAN PERNYATAAN KEASLIAN TESIS.....	v
HALAMAN PERSEMBAHAN.....	vi
HALAMAN MOTTO.....	vii
KATA PENGANTAR .....	viii
DAFTAR ISI.....	viii
DAFTAR TABEL.....	xii
DAFTAR GAMBAR .....	xiii
INTISARI.....	xiv
<i>ABSTRACT.....</i>	xv
BAB I PENDAHULUAN.....	1
1.1. Latar Belakang Masalah .....	1
1.2. Rumusan Masalah.....	5
1.3. Batasan Masalah .....	6
1.4. Tujuan Penelitian .....	7
1.5. Manfaat Penelitian .....	7
BAB II TINJAUAN PUSTAKA.....	8
2.1. Tinjauan Pustaka.....	8
2.2. Keaslian Penelitian.....	11

2.3. Landasan Teori.....	14
2.3.1. Interkomparasi.....	14
2.3.2. Anak Timbangan .....	16
2.3.3. Machine Learning.....	19
2.3.4. <i>Self-Organizing Maps</i> .....	21
2.3.5. Evaluasi Cluster .....	27
<b>BAB III METODE PENELITIAN.....</b>	<b>33</b>
3.1. Jenis, Sifat, dan Pendekatan Penelitian.....	33
3.2. Metode Pengumpulan Data.....	34
3.3. Metode Analisis Data.....	36
3.4. Alur Penelitian .....	40
<b>BAB IV HASIL PENELITIAN DAN PEMBAHASAN.....</b>	<b>43</b>
4.1. Data Penelitian .....	43
4.2. Klastering.....	45
4.3. Evaluasi Hasil Klastering.....	52
4.4. Uji Korelasi Pearson .....	59
4.5. Analisa Data.....	61
<b>BAB V PENUTUP.....</b>	<b>70</b>
5.1. Kesimpulan .....	70
5.2. Saran .....	70
<b>DAFTAR PUSTAKA .....</b>	<b>71</b>
<b>LAMPIRAN .....</b>	<b>74</b>

## DAFTAR TABEL

Tabel 2.1. Matriks literatur review dan posisi penelitian.....	11
Tabel 2.1. Lanjutan .....	12
Tabel 2.1. Lanjutan .....	13
Tabel 2.2. Nilai Batas Kesalahan yang Di ijinkan (BKD) anak timbangan.....	18
Tabel 3.1. Data interkomparasi artefak 1 kg.....	35
Tabel 3.2. Data nilai budget uncertainty artefak 1 kg .....	38
Tabel 3.3. Kriteria korelasi pearson.....	39
Tabel 4.1. Identitas artefak A .....	43
Tabel 4.2. Rerata nilai data interkomparasi .....	44
Tabel 4.3. Hasil percobaan nilai parameter.....	46
Tabel 4.4. Nilai parameter Clustering Dengan Algoritma SOM .....	49
Tabel 4.5. Jumlah klaster dan anggota klaster setiap parameter.....	51
Tabel 4.6. Jumlah klaster berdasar ukuran grid .....	52
Tabel 4.7. Data anggota per cluster parameter kedua .....	53
Tabel 4.8. Data perhitungan nilai jarak cluster ke pusat cluster .....	55
Tabel 4.9. Matriks R.....	57
Tabel 4.10. Nilai DBI hasil klastering .....	58
Tabel 4.11. Analisis hasil pengujian korelasi pearson .....	60

## **DAFTAR GAMBAR**

Gambar 2.1. Arsitektur SOM .....	23
Gambar 2.2. Rectangular grid .....	24
Gambar 2.3. Hexagonal grid .....	25
Gambar 2.4. Cara kerja SOM.....	25
Gambar 2.5. Representasi cluster.....	28
Gambar 2.6. Datasets DBI .....	30
Gambar 3.1. Clustering dengan KNIME .....	37
Gambar 3.2. Alur Penelitian.....	42
Gambar 4.1. Menu pengaturan parameter pada hub Self Organizing Maps .....	45
Gambar 4.2. Hasil klaster dengan parameter $\alpha = 0.8$ , Eo 6000 dan Ec 2000 .....	47
Gambar 4.3. Hasil klaster dengan parameter $\alpha = 0.8$ , Eo 6000 dan Ec 20000 .....	47
Gambar 4.4. Hasil klaster dengan parameter $\alpha = 0.8$ , Eo 12000 dan Ec 2000 .....	48
Gambar 4.5. Hasil Clustering Parameter 5.....	50
Gambar 4.6. Grafik nilai DBI .....	58
Gambar 4.7. Uji korelasi dengan platform KNIME .....	59
Gambar 4.8. Hasil pengujian korelasi pearson pada cluster0 .....	60
Gambar 4.9. Statistika data parameter ke 4.....	62
Gambar 4.10. Hasil klaster parameter ke-4.....	62
Gambar 4.11. Persebaran data awal .....	64
Gambar 4.12. Persebaran data hasil klustering .....	65
Gambar 4.13. Hasil klustering data nilai sumber ketidakpastian P4 .....	66
Gambar 4.14. Statistika hasil klustering sumber ketidakpastian P4 .....	67

## INTISARI

Data interkomparasi adalah data hasil pengujian artefak interkomparasi yang diikuti sebanyak 36 laboratorium metrologi legal. Evaluasi kegiatan interkomparasi selama ini dinyatakan dengan metode Degree of Equivalence atau derajat kesetaraan yang ditunjukkan dengan nilai rasio  $E_n$ . Untuk mengetahui insight data interkomparasi dan menggali informasi tentang data tersebut telah dilakukan klastering data interkomparasi dengan menggunakan algoritma Self Organizing Maps. Algoritma ini memetakan data ke peta 2 dimensi dengan hasil pengujian nilai DBI sebesar 1,803 pada ukuran grid 2 x 4. Hasil klastering data interkomparasi dapat digunakan sebagai bahan acuan rekomendasi perbaikan unjuk kerja laboratorium.

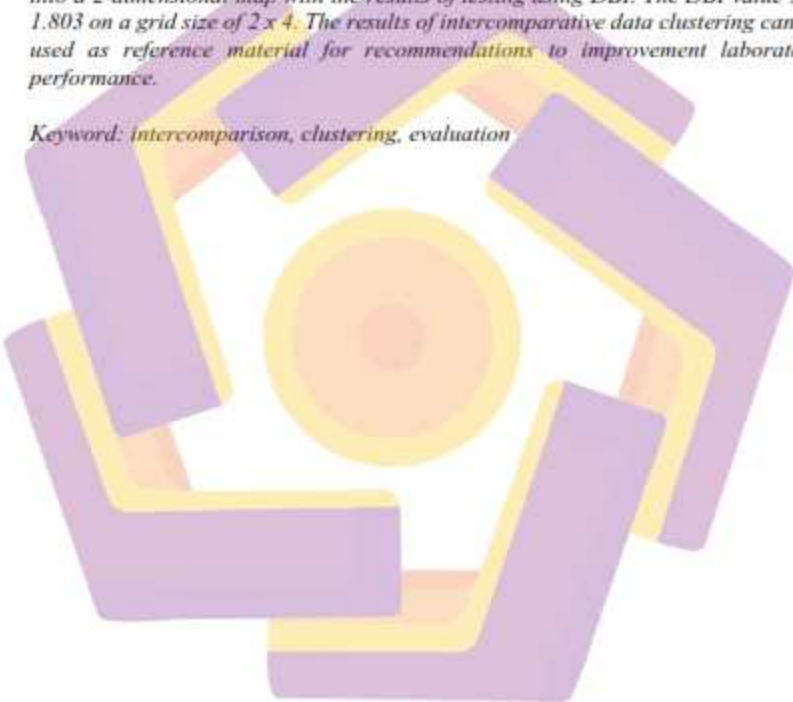
Kata kunci: interkomparasi, klastering, evaluasi



## ***ABSTRACT***

*Intercomparison data is data from the results of intercomparative artifact testing which was followed by 36 legal metrology laboratories. Evaluation of intercomparison activities so far has been stated by the degree of equivalent method that indicated by the ratio value of En. To find insight of intercomparative data and explore information about the data, intercomparative data clustering has been carried out using the self-organizing maps algorithm. This algorithm mapping data into a 2-dimensional map with the results of testing using DBI. The DBI value's is 1.803 on a grid size of 2 x 4. The results of intercomparative data clustering can be used as reference material for recommendations to improvement laboratory performance.*

*Keyword:* *intercomparison, clustering, evaluation*



## BAB I

### PENDAHULUAN

#### 1.1. Latar Belakang Masalah

Transaksi perdagangan yang dilakukan antara pembeli dan penjual biasanya melibatkan alat ukur dalam penentuan kuantitas barang / jasa. Harga dari barang / jasa yang diserahterimakan dari penjual ke pembeli dipengaruhi oleh nilai berat atau kuantitas barang yang ditentukan dari alat ukur milik penjual. Alat ukur tersebut disahkan oleh Unit Metrologi Legal (UML) Pemerintah Kabupaten / Kota berdasarkan Undang-Undang No 23 Tahun 2014 tentang Pemerintah Daerah. Untuk menjamin alat ukur yang digunakan dalam transaksi perdagangan memiliki nilai yang sama antara satu daerah dengan daerah lain, setiap unit metrologi legal kabupaten / kota melakukan verifikasi internal standar kerja dengan standar ukuran acuan yang dimiliki oleh masing-masing UML yang tertelusur secara berjenjang ke standar satuan tingkat 4 hingga ke standar satuan tingkat 1.

Selain menjamin ketertelusuran standar di setiap UML, kemampuan atau unjuk kerja dari masing-masing UML juga dapat diketahui melalui kegiatan interkomparasi. Menurut ISO/IEC 17043:2010, interkomparasi atau *interlaboratory comparisons* (ILC) adalah organisasi, kinerja, dan evaluasi pengukuran atau pengujian pada item yang sama atau serupa oleh dua atau lebih laboratorium atau lembaga inspeksi sesuai dengan kondisi yang telah ditentukan. Tujuan dari interkomparasi adalah untuk mengukur kemampuan UPT dan UML Kabupaten / Kota dalam melakukan pengelolaan standar ukuran maupun tera / tera

ulang alat ukur takar timbang dan perlengkapannya (UTTP) dan untuk membangun saling pengakuan yang didasarkan pada keseragaman hasil pengukuran metrologi legal di Indonesia. Kegiatan interkomparasi dipaparkan dalam satu prosedur yang disebut dengan protokol interkomparasi. Protokol interkomparasi mengatur terkait penyelenggara, laboratorium acuan, peserta, desain program (jadwal pelaksanaan), penentuan artefak, prosedur pengujian, pelaporan, dan evaluasi hasil. Pelaporan yang dimaksud adalah pelaporan dari masing-masing peserta interkomparasi berupa laporan pengambilan data dan pengolahan data yang disajikan dalam bentuk cerapan dan surat keterangan hasil pengujian. Lingkup interkomparasi dapat dilakukan untuk satu jenis alat UTTP, seperti anak timbangan. Untuk kegiatan interkomparasi anak timbangan, laporan yang disajikan memuat nilai massa konvesional beserta nilai ketidakpastian pada tingkat kepercayaan 95%. Data ini kemudian dievaluasi menggunakan metode derajat kesetaraan (*Degrees of Equivalent / DoE*) atau yang lebih dikenal sebagai rasio  $E_n$  mengacu pada ISO/IEC 17043:2010. Hasilnya berupa pernyataan kesetaraan laboratorium peserta interkomparasi, laboratorium dinyatakan setara jika nilai  $E_n \leq [1]$ . Sampai saat ini belum pernah dilakukan analisis data interkomparasi melalui *data mining*, analisis data yang dilakukan baru sebatas pada perhitungan nilai  $E_n$  yang akan menentukan tingkat kesetaraan laboratorium peserta interkomparasi. Untuk memberikan evaluasi yang mendalam dan kelengkapan informasi terkait permasalahan-permasalahan yang mungkin terjadi atau dialami oleh laboratorium UML dilakukan analisis *data mining* dengan memanfaatkan *machine learning* salah satunya adalah dengan *clustering*.

Pada penelitian ini, penulis merancang satu penelitian dengan melakukan klastering data hasil interkomparasi menggunakan algoritma *self-organizing maps*. Klastering atau pengelompokan data dilakukan supaya data hasil interkomparasi dari masing-masing laboratorium yang memiliki permasalahan yang sama dapat diidentifikasi. Identifikasi perlu dilakukan oleh penyelenggara interkomparasi agar dapat memberikan bimbingan dan rekomendasi perbaikan pengelolaan laboratorium metrologi legal kepada Unit Metrologi Legal yang menjadi peserta interkomparasi. Penggunaan algoritma *self-organizing maps* didasarkan pada cara kerja algoritma dalam menyederhanakan dimensi data dan hubungan antar *neuron* pada *layer input* dan *output* yang secara terus menerus memperbarui bobotnya sehingga diperoleh kesamaan ciri antar anggota dalam *cluster* yang sama. Penggunaan algoritma *self-organizing maps (SOM)* juga didasarkan pada penelitian sebelumnya yang membandingkan beberapa metode *clustering*, antara lain penelitian (Asriny Novendri Isra et all,2021) yang membandingkan metode *K-Medoids* dengan metode SOM dalam mengelompokkan bencana alam hidrometeorologi di Pulau Jawa. Hasil penelitian menunjukkan bahwa algoritma *self-organizing maps* merupakan metode yang tepat karena memiliki nilai standar deviasi yang lebih kecil dibanding metode *K-Medoids*. Penelitian lain (Marina Marsudi Putri,2015) yang membandingkan pengelompokan kabupaten/kota di jawa timur berdasarkan indeks kesehatan masyarakat menggunakan metode SOM dan *K-Means* menunjukkan bahwa algoritma *self-organizing maps* menghasilkan jumlah *optimum cluster* dan tingkat *homogenitas internal* dan *heterogenitas eksternal cluster* yang lebih baik dibandingkan metode *K-Means*.

Penerapan algoritma *self-organizing maps* telah dilakukan pada penelitian-penelitian sebelumnya, antara lain: Penelitian yang dilakukan oleh (Ni Putu Nanik, 2018) dengan algoritma *self-organizing maps* dan *k means* dimana  $k=2$  dan bobot awal yang ditentukan adalah sama untuk kedua metode, telah menghasilkan ketepatan klasifikasi yang sama. Proses *clustering* dilakukan dengan menentukan *vector node* yang dipilih untuk selanjutnya ditentukan *best matching unit* (BMU) nya dengan *node* lain. Penelitian lainnya oleh (IY Purbasari et al, 2019) diawali dengan data yang dinormalisasi pada rentang 0 sampai dengan 1. Data yang sudah dinormalisasi kemudian dilakukan *clustering* dengan menetapkan jumlah iterasi dan nilai *learning rate*-nya. Pembuatan aplikasi *clustering* pada data IPM Aceh menggunakan *bubble function* sebagai *neighborhood function* dimana radius *neighborhood* sama dengan nol. Fungsi *bubble* dipilih dengan alasan proses komputasi lebih cepat dan kuantisasi kesalahan lebih kecil (Kania Siti et al, 2019). Penelitian selanjutnya (Firmansyah et al, 2019) adalah pengelompokan wilayah berdasarkan kesejahteraan sosial menggunakan *Silhouette Coefficient* untuk mengukur kualitas hasil *clustering* dengan membatasi nilai rentang lebih dari 1. Penelitian yang dilakukan oleh (Sivakkumaran L, 2020) mencoba menentukan pengelompokan penggunaan BBM berdasar data manuver pengemudi kendaraan dengan menggunakan perluasan algoritma SOM yaitu *super organizing maps*. Dimana data input dibedakan menjadi 4 layer, masing-masing layer kemudian dilakukan proses pengelompokan. Penelitian terakhir oleh (Jin Tian & Mengyi Gu, 2019) menentukan subruang pada *neuron* dengan tujuan mereduksi *noise* pada data. Algoritma SOM menghasilkan *cluster* yang mungkin dari setiap dimensi, kemudian

dilakukan proses penggabungan untuk menggabungkan file kelompok *neuron* dan subruang yang sesuai dengan dimensi terkait. Hasil pengelompokan akhir disimpulkan dari *cluster neuron* dengan mengganti setiap *neuron* dengan poin data di dalamnya:

Penelitian-penelitian tersebut telah menerapkan algoritma *self-organizing maps* untuk pengelompokan data dengan tujuan yang berbeda-beda. Saat ini evaluasi kegiatan interkomparasi didasarkan pada kesetaraan nilai berdasarkan perhitungan nilai rasio  $E_0$ . Pada penelitian yang akan dilakukan, evaluasi kegiatan interkomparasi dilakukan dengan teknik *clustering* menggunakan algoritma *Self Organizing Maps*. Kelompok yang dihasilkan dari proses *clustering* ditentukan oleh berapa banyak anggota *cluster* yang memiliki kedekatan atau kesamaan ciri dengan anggota lainnya. Pengelompokan dilakukan pada 2 jenis data yaitu data asli, dan data sumber ketidakpastian (*repeatability*, *drift standard* dan *standard* yang digunakan, koreksi udara / *bouyancy*, dan resolusi timbangan). Data asli digunakan untuk melihat hasil pengelompokan pada kondisi apa adanya. Data sumber ketidakpastian digunakan untuk melihat kelompok variabel yang berpengaruh dominan pada kegiatan interkomparasi. Proses klastering diharapkan mampu memberikan bahan acuan untuk rekomendasi perbaikan tujuk kerja laboratorium peserta interkomparasi.

## 1.2. Rumusan Masalah

Berdasarkan penjabaran pada latar belakang masalah, maka rumusan masalah pada penelitian ini adalah sebagai berikut:

- a. Dapatkah data interkomparasi dievaluasi dengan teknik *clustering* menggunakan algoritma *Self Organizing Maps* dan seberapa baik hasil *clustering* diuji dengan *Davies Bouldin Index*?
- b. Apakah evaluasi hasil *clustering* dengan algoritma *Self Organizing Maps* dapat dijadikan data atau referensi dalam evaluasi kegiatan interkomparasi?
- c. Variabel apakah yang paling berpengaruh pada kegiatan interkomparasi berdasarkan hasil *clustering* menggunakan algoritma *Self Organizing Maps*?

### 1.3. Batasan Masalah

Batasan masalah dalam penelitian ini adalah sebagai berikut:

- a. Penelitian ini menggunakan algoritma *Self Organizing Maps* dalam mengcluster data interkomparasi anak timbangan.
- b. Data interkomparasi diambil dari kegiatan interkomparasi BSML Regional II tahun 2021 dengan jumlah peserta 36 laboratorium metrologi legal di wilayah BSML Regional II.
- c. Evaluasi hasil *clustering* dilakukan dengan pengujian nilai *DBI*.
- d. Variabel data yang dievaluasi dalam penelitian ini terdiri dari nilai massa konvensional artefak, dan nilai *uncertainty* yang bersumber dari *uncertainty* anak timbangan standar, *drift* standar, kemampuan ulang penimbangan (*repeatability*), *buoyancy udara* dan daya baca timbangan elektronik.
- e. Pengujian terhadap pengaruh setiap variabel menggunakan uji korelasi (Pearson Moment Product).
- f. Implementasi algoritma *Self Organizing Maps* menggunakan platform KNIME.

#### 1.4. Tujuan Penelitian

Tujuan dari penelitian yang dilakukan adalah sebagai berikut:

- a. Mengetahui performa penerapan algoritma *Self Organizing Maps* dalam evaluasi kegiatan interkomparasi laboratorium unit metrologi legal di wilayah regional II.
- b. Mendapatkan pola evaluasi kegiatan interkomparasi laboratorium metrologi legal berdasarkan hasil *analisis clustering* data interkomparasi anak timbangan menggunakan *algoritma Self Organizing Maps*.

#### 1.5. Manfaat Penelitian

Manfaat dari penelitian yang dilakukan adalah sebagai berikut:

- a. Laboratorium mampu melakukan analisis data interkomparasi dengan teknik *clustering* menggunakan algoritma *Self Organizing Maps*.
- b. Evaluasi interkomparasi laboratorium metrologi legal dengan teknik *clustering* dapat digunakan secara lebih luas tidak terbatas hanya di wilayah Regional II namun juga bisa digunakan secara nasional.
- c. Penyelenggara kegiatan interkomparasi laboratorium dapat lebih efisien dan efektif dalam melakukan evaluasi.

## **BAB II**

### **TINJAUAN PUSTAKA**

#### **2.1. Tinjauan Pustaka**

Penelitian ini menggunakan beberapa referensi sumber pustaka yang berasal dari penelitian sebelumnya yang membahas tentang clustering. Pustaka yang relevan dalam penelitian ini ditinjau dari algoritma yang digunakan yaitu algoritma *self- organizing maps*. Penggunaan algoritma *self- organizing maps* telah dilakukan pada pengelompokan pelajar SMU berdasarkan nilai akademik yang diambil dari laporan prestasi belajar (raport) dan nilai ujian nasional 275 pelajar untuk nilai matematika, IPA, Bahasa Inggris, Bahasa Indonesia dan IPS. *Clustering* diawali dengan normalisasi data pada rentang 0 sampai dengan 1 dan menetapkan jumlah iterasi maksimum dan nilai *learning rate* - nya. Penelitian ini menghasilkan 3 kelompok pelajar yang terbagi ke 3 jurusan antara lain IPA, IPS dan bahasa dengan anggota cluster terbesar pada jurusan IPA (IY Purbasari et al, 2020). Penelitian serupa (Rusydi et al, 2018) dilakukan pada pelajar SMP dengan tujuan membantu memberikan rekomendasi pilihan jurusan di SMK berdasar pengelompokan skill bakat dan minat calon siswa dengan algoritma *self- organizing maps*. Pemilihan algoritma SOM didasarkan pada pertimbangan metode *self- organizing maps* tidak memerlukan fungsi objektif seperti *K-Means* dan *Fuzzy CMeans* pada kondisi dimana iterasi telah mencapai tingkat optimal, SOM akan terus berjalan sampai target iterasi yang ditentukan terpenuhi. Kelebihan algoritma SOM dibanding algoritma lain juga telah dikemukakan dari penelitian (Novendri Isra et al, 2021)

yang membandingkan algoritma *K-Medoids* dengan algoritma SOM dalam pengelompokan bencana alam hidrometeorologi di Pulau Jawa. Algoritma SOM memiliki rasio standar deviasi yang lebih baik dibandingkan dengan algoritma *K-Medoids*. Rasio standar deviasi dihitung dari perbandingan standar deviasi dalam kelompok dengan standar deviasi antar kelompok ( $R = \frac{s_w}{s_b}$  ). Perbandingan algoritma SOM dengan algoritma *K-Means* dilakukan oleh (Ruth Ema Febrita et al, 2019) yang menunjukkan algoritma SOM memiliki kemampuan lebih baik dalam membangun validitas *cluster*, dimana data direpresentasikan pada bentuk peta topologi 2 dimensi. Data ditempatkan pada *neuron*, sehingga jarak antar anggota dalam satu *cluster* dan jarak antar *cluster* lebih mudah diukur. Selain perbandingan, terdapat penelitian yang menggabungkan penggunaan dua algoritma atau disebut juga dengan hybrid methods. Seperti yang dilakukan (Ni Putu Nanik Hendayanti et al, 2018) dalam menggabungkan algoritma SOM dengan algoritma K-Means untuk mengelompokkan data calon penerima beasiswa STMIK STIKOM Bali. Prinsip kerja dari metode ini adalah menentukan anggota klaster dengan metode SOM dan menghitung nilai pusat dari masing-masing klaster. Nilai pusat yang diperoleh dari masing-masing klaster selanjutnya digunakan untuk menentukan keanggotaan klaster pada algoritma K-Means. Kesamaan dari dua algoritma dalam penelitian tersebut terletak pada perhitungan jarak dengan menggunakan *euclidean distance*. Pada SOM, vektor input dihitung jaraknya dengan masing-masing node yang telah ditentukan bobotnya dengan *euclidean distance* dan dipilih jarak minimum sebagai *best matching unit* (BMU). Sementara penggunaan *euclidean distance* pada *K-Means* terletak pada perhitungan jarak antara pusat data dengan anggota klaster.

Penelitian (Sekta Lonir Oscarini Watibhakti et al, 2019) membandingkan penggunaan algoritma SOM dengan algoritma K-Means dalam pengelompokan hasil tes TOEFL berdasar perbedaan nilai P (performance of global optimum solution) yang merupakan perbandingan nilai variansi centroid dengan nilai variansi anggota klaster.

Evaluasi clustering algoritma SOM dilakukan dengan menggunakan perhitungan *silhouette coefficient* (Dese Narfa Firmansyah et al, 2019), dimana rentang nilai *silhouette coefficient* terletak pada nilai -1 sampai dengan 1. Nilai positif terbagi dalam tiga kategori (*weak, medium, strong*). Nilai negatif menunjukkan banyak data yang klosternya salah tempat. *Silhouette Coefficient* digunakan untuk melihat kualitas dan kekuatan *cluster*, seberapa baik atau buruknya suatu obyek ditempatkan dalam suatu *cluster* (DA Indah Cahya Dewi et al, 2019). Metode untuk mengevaluasi klaster dapat dilakukan dengan *Davies Bouldin Index* (DBI). *Davies-Bouldin Index* (DBI) merupakan salah satu metode yang digunakan untuk mengukur validitas *cluster* pada suatu metode *clustering* (Bernard Jumadi, 2018). Evaluasi menggunakan *Davies-Bouldin Index* ini memiliki skema evaluasi internal *cluster*, dimana baik atau tidaknya hasil *cluster* dilihat dari kuantitas dan kedekatan antar data hasil *cluster*. Nilai *Davies Bouldin Index* (DBI) yang semakin mendekati nilai 0 menandakan semakin baik *cluster* yang diperoleh. Semakin rendah nilai DBI menunjukkan hasil *cluster* yang optimal (DA Indah Cahya Dewi et al, 2019).

## 2.2. Keaslian Penelitian

**Tabel 2.1. Matriks literatur review dan posisi penelitian**  
**Klastering Data Interkomparasi Anak Timbangan Menggunakan Algoritma *Self Organizing Maps***

No	Judul	Peneliti, Media Publikasi, dan Tahun	Tujuan Penelitian	Kesimpulan	Saran atau Kelemahan	Perbandingan
1	<i>Ketepatan Klasifikasi Penerima Beasiswa Stimik Stikom Bali Dengan Hybrid Self Organizing Maps Dan Algoritma K-Means</i>	Ni Putu Nanik Hendayanti; Gusti Ayu Made Arna Putri, Jurnal Varian Vol.2 No.1 Oktober 2018	Untuk menentukan ketepatan klasifikasi penerima beasiswa dengan menggunakan metode hybrid SOM dan K Means	Ketepatan klasifikasi metode SOM, K Means dan hybrid SOM K Means dibandingkan dengan data riil untuk ketiga metode sama sebesar 54,45%	Nilai pusat yang digunakan untuk ketiga metode adalah sama. Perlu ditentukan nilai pusat yang berbeda-beda untuk setiap metode dengan lebih dari 2 klaster	Pada penelitian ini algoritma yang dilakukan dengan menentukan initial bobot pada masing-masing node, kemudian vector node terpilih ditentukan jarak terdekatnya sebagai BMU. Terakhir ditentukan node tetangga BMU. Penelitian yang akan dilakukan oleh penulis lebih detail pada jumlah iterasi pada masing-masing fase, nilai learning rate dan status normalisasinya.
2	<i>Using Self-Organizing Map (SOM) for Clustering and Visualization of New Students based on Grades</i>	I Y Purbasari et al, <i>Journal of Physics: Conference Series</i> , IOP Publishing, 2020	Untuk menentukan jurusan pada pelajar SMU dengan pengelompokan nilai akademik menggunakan metode SOM	Pembentukan jurusan siswa dengan metode SOM telah dilakukan dengan hasil terbesar pada jurusan IPA kemudian IPS dan Bahasa	Perlu dicoba pada nilai learning rate lain dan perbaikan pada metode normalisasi data.	Penelitian ini menggunakan matriks 10x10, $\alpha = 0.6$ dan tmax: 5000. Pada penelitian tesis tidak membatasi ukuran layer, nilai $\alpha$ dan jumlah iterasinya. Beberapa skenario dicoba untuk mendapatkan cluster terbaik

Tabel 2.1. Lanjutan

No	Judul	Peneliti, Media Publikasi, dan Tahun	Tujuan Penelitian	Kesimpulan	Saran atau Kelemahan	Perbandingan
3	Pengelompokan Wilayah Berdasarkan Kesejahteraan Sosial Menggunakan Algoritme <i>Self-Organizing Maps</i> Dengan Perbaikan <i>Missing Value K-Nearest Neighbors</i> .	DN Firman-syah et al, Jurnal Pengembangan Teknologi Informasi dan Ilmu Komputer Unibraw Vol. 3, No. 7, Juli 2019	Menentukan cluster kesejahteraan sosial kabupaten / kota dengan metode SOM dan KNN untuk data kosong	Terbentuk 2 cluster dengan proporsi 1:37 dari 38 data	Proses interpretasi masih dilakukan secara manual. Untuk otomatisasi interpretasi dapat dicoba dengan decision tree. Hasil clustering tidak konsisten, saran yang diberikan dengan genetic algoritma untuk optimasi bobot awal.	Penelitian ini memperbaiki <i>missing value</i> dengan KNN. Sementara penelitian pada tesis tidak menggunakan KNN. Data penelitian dimungkinkan bernilai nol tetapi bukan <i>missing value</i> .
4	Program Aplikasi Pengelompokan Objek Dengan Metode <i>Self Organizing Map</i> Menggunakan Bahasa R	Siti Kamia et all, Jurnal EurekaMatika, Vol.7 No.2, 2019	Membandingkan program aplikasi clustering metode SOM dengan Bahasa R pada data IPM Provinsi Aceh	Program aplikasi Bahasa R menghasilkan jumlah cluster yang sama dengan anggota cluster yang berbeda	Penggunaan <i>neighborhood</i> dan <i>learning function</i> yang berbeda antara dua aplikasi. Sehingga perlu dilakukan dengan <i>function</i> yang sama	Dalam penelitian ini penulis menggunakan <i>Gauss neighborhood function</i> untuk penelitian yang akan dilakukan
5	Analisis Perbandingan Metode <i>Elbow</i> dan <i>Silhouette</i> pada Algoritma <i>Clustering K-Medoids</i> dalam Pengelompokan Produksi Kerajinan Bali	Dewa Ayu Indah Cahya Dewi, Dewa Ayu Kadek Pramita, JURNAL MATRIX, VOL. 9, NO. 3, 2019	menentukan jumlah cluster yang tepat sehingga menghasilkan kualitas cluster yang optimal	clustering k-medoid dengan silhouette menghasilkan kualitas cluster lebih baik karena memiliki nilai DBI lebih rendah daripada clustering k-medoid dengan metode elbow	Metode elbow tepat digunakan untuk menentukan jumlah cluster, tetapi metode silhouette lebih tepat digunakan untuk mengukur kualitas hasil clustering	Pencarian jumlah cluster dan kualitas cluster menggunakan pengujian nilai DBI

Tabel 2.1. Lanjutan

No	Judul	Peneliti, Media Publikasi, dan Tahun	Tujuan Penelitian	Kesimpulan	Saran atau Kelemahan	Perbandingan
6	<i>High Dimensional Data Clustering using Self-Organized Map</i>	Ruth Ema Febrita, Wayan Firdaus Mahmudy, Aji Prasetya Wibawa, Knowledge Engineering and Data Science (KEDS) Vol 2, No 1, Juni 2019	Untuk memberikan rekomendasi harga rumah berdasar pengelompokan fitur rumah	Algoritma SOM mampu menunjukkan kinerja yang lebih baik dibanding algoritma K-Means berdasar nilai silhoutte dan DB Index	Algoritma SOM perlu perbaikan untuk menghasilkan cluster yang lebih baik.	Terdapat perbedaan jenis data dan atribut yang digunakan dalam pengelompokan

## 2.3. Landasan Teori

### 2.3.1 Interkomparasi

Interkomparasi atau *interlaboratory comparison* adalah organisasi, kinerja dan evaluasi pengukuran atau tes pada dua laboratorium atau lebih sesuai dengan kondisi yang telah ditentukan (ISO 17043,2010). Interkomparasi atau disebut juga dengan istilah uji profisiensi telah menjadi aspek penting dalam praktik laboratorium di semua bidang pengujian, kalibrasi, dan inspeksi. Sebagian besar skema uji profisiensi memiliki ciri umum berupa perbandingan hasil dari satu laboratorium dengan hasil dari satu atau lebih laboratorium yang berbeda. Sifat pengujian atau pengukuran yang dilakukan dalam interkomparasi dimaksudkan untuk membandingkan kinerja laboratorium. Dapat disimpulkan bahwa tujuan dari interkomparasi adalah untuk mengetahui kemampuan atau unjuk kerja dari suatu laboratorium.

Ada tiga jenis pemeriksaan laboratorium dasar: kuantitatif, kualitatif dan interpretatif (R.M. Voiculescu, 2013).

- a. Hasil pengukuran kuantitatif adalah numerik dan dilaporkan dalam skala interval atau rasio. Pengujian untuk pengukuran kuantitatif dapat bervariasi dalam presisi, kebenaran, kepekaan analitis, dan kekhususan. Dalam skema pengujian profisiensi kuantitatif, hasil numerik biasanya dianalisis secara statistik.
- b. Hasil tes kualitatif bersifat deskriptif dan dilaporkan dalam skala kategorikal atau ordinal, misalnya identitas mikro-organisme, atau dengan identifikasi adanya ukuran tertentu (seperti obat atau penilaian

suatu karakteristik). Penilaian kinerja dengan analisis statistik mungkin tidak sesuai untuk pemeriksaan kualitatif.

- c. Dalam tes interpretatif, uji profisiensi berupa hasil tes seperti pernyataan morfologi deskriptif, atau satu set data (misalnya untuk menentukan garis kalibrasi) atau satu set informasi lainnya misalnya studi kasus tentang fitur interpretatif dari kompetensi peserta.

Hasil pengukuran numerik dari laboratorium diolah secara statistik dengan menggunakan nilai rasio  $E_n$ . Nilai rasio  $E_n$  dihitung dengan rumus (Protokol Interkomparasi, 2021):

#### Keterangan:

$x_i$  merupakan nilai koreksi anak timbangan pada laboratorium peserta dengan  $i$  merujuk pada urutan no peserta interkomparasi.

$x_{ref}$  merupakan nilai koreksi anak timbangan pada laboratorium referensi.

$U_1$  merupakan ketidakpastian laboratorium peserta pada level kepercayaan 95%.

$U_{ref}$  merupakan ketidakpastian laboratorium referensi pada level kepercayaan 95%.

Hasil perhitungan nilai  $E_n$  berupa pernyataan kesetaraan laboratorium peserta interkomparasi. Laboratorium dinyatakan setara jika nilai  $E_n < 1$ .

### 2.3.2 Anak Timbangan

Anak timbangan adalah benda ukur massa yang karakteristik fisik dan sifat kemetriologiannya diatur oleh peraturan. Anak timbangan terdiri dari beberapa kelas yang ditentukan berdasarkan karakter fisik dan sifat kemetriologiannya. Kelas yang dimaksud adalah kelas yang dibuat untuk membatasi nilai massa nya pada batas tertentu (SK Dirjen PKTN 123 Tahun 2020). Kelas anak timbangan terdiri dari:

- a. Anak timbangan kelas E<sub>1</sub> adalah anak timbangan yang mampu telusur ke standar massa K46 dan digunakan untuk verifikasi anak timbangan kelas E<sub>2</sub>. Standar massa K46 adalah anak timbangan yang terbuat dari campuran logam platina iridium, berbentuk silinder, memiliki diameter dan tinggi yang sama yaitu 39 mm, memiliki tulisan grafir “46” pada bagian badannya dan mampu telusur ke standar internasional.
- b. Anak timbangan kelas E<sub>2</sub> adalah anak timbangan yang digunakan untuk verifikasi anak timbangan kelas F<sub>1</sub> dan digunakan bersama dengan timbangan kelas akurasi I.
- c. Anak timbangan kelas F<sub>1</sub> adalah anak timbangan yang digunakan untuk verifikasi anak timbangan kelas F<sub>2</sub> dan digunakan bersama dengan timbangan kelas akurasi I atau II.
- d. Anak timbangan kelas F<sub>2</sub> adalah anak timbangan yang digunakan untuk verifikasi anak timbangan kelas M<sub>1</sub> dan digunakan bersama dengan timbangan kelas akurasi II.

- e. Anak timbangan kelas M<sub>1</sub> adalah anak timbangan yang digunakan untuk verifikasi anak timbangan kelas M<sub>2</sub> dan digunakan bersama dengan timbangan kelas akurasi III.
- f. Anak timbangan kelas M<sub>2</sub> adalah anak timbangan yang digunakan untuk verifikasi anak timbangan kelas M<sub>3</sub> dan digunakan bersama dengan timbangan kelas akurasi III.
- g. Anak timbangan kelas M<sub>3</sub> adalah anak timbangan yang digunakan bersama dengan timbangan kelas akurasi III atau IIII.

Anak timbangan mempunyai nilai massa nominal dan nilai massa konvensional. Nilai massa nominal adalah nilai yang berupa bilangan bulat yang digunakan untuk menandakan massa anak timbangan. Nilai massa konvensional adalah nilai massa hasil penimbangan di udara pada kondisi konvensional yaitu suhu 20°C, massa jenis udara sebesar 1,2 kg/m<sup>3</sup>, dan massa jenis benda yang ditimbang sebesar 8000 kg/m<sup>3</sup>. Selain itu anak timbangan juga memiliki nilai koreksi dan nilai ketidakpastian. Koreksi adalah nilai yang harus ditambahkan untuk mendapatkan nilai yang benar. Ketidakpastian adalah suatu nilai yang menunjukkan sebaran hasil pengukuran yang dikaitkan dengan besaran yang diukur. Sedangkan timbangan adalah alat ukur yang dipergunakan untuk menentukan massa suatu benda dengan memanfaatkan gravitasi yang bekerja pada benda tersebut.

Berikut tabel batas kesalahan yang diijinkan atau nilai koreksi anak timbangan sesuai dengan SK Dirjen PKTN No 123 Tahun 2020.

Tabel 2.2 Nilai Batas Kesalahan yang Diijinkan (BKD) anak timbangan

M.Nominal (g)	E1 (mg)	E2 (mg)	F1 (mg)	F2 (mg)	M1 (mg)	M2 (mg)	M3 (mg)
25000	12.5	37.5	250	375	1250	3750	12500
20000 *	10	30	100	300	1000	3000	10000
20000	10	30	100	300	1000	3000	10000
10000	5	16	50	160	500	1600	5000
5000	2.5	8	25	80	250	800	2500
2000 *	1	3	10	30	100	300	1000
2000	1	3	10	30	100	300	1000
1000	0.5	1.6	5	16	50	160	500
500	0.25	0.8	2.5	8	25	80	250
200 *	0.1	0.3	1	3	10	30	100
200	0.1	0.3	1	3	10	30	100
100	0.05	0.16	0.5	1.6	5	16	50
50	0.03	0.1	0.3	1	3	10	30
20 *	0.025	0.08	0.25	0.8	2.5	8	25
20	0.025	0.08	0.25	0.8	2.5	8	25
10	0.02	0.06	0.2	0.6	2	6	20
5	0.016	0.05	0.16	0.5	1.6	5	16
2 *	0.012	0.04	0.12	0.4	1.2	4	12
2	0.012	0.04	0.12	0.4	1.2	4	12
1	0.01	0.03	0.1	0.3	1	3	10
0.5	0.008	0.025	0.08	0.25	0.8	2.5	0
0.2 *	0.006	0.02	0.06	0.2	0.6	2.0	0
0.2	0.006	0.02	0.06	0.2	0.6	2.0	0
0.1	0.005	0.016	0.05	0.16	0.5	1.6	0
0.05	0.004	0.012	0.04	0.12	0.4	0	0
0.02 *	0.003	0.01	0.03	0.1	0.3	0	0
0.02	0.003	0.01	0.03	0.1	0.3	0	0
0.01	0.003	0.008	0.025	0.08	0.25	0	0
0.005	0.003	0.006	0.02	0.06	0.2	0	0
0.002 *	0.003	0.006	0.02	0.06	0.2	0	0
0.002	0.003	0.006	0.02	0.06	0.2	0	0
0.001	0.003	0.006	0.02	0.06	0.2	0	0

### 2.3.3 Machine Learning

Ilmuwan komputer dari Stanford University, Herbert A. Simon dan Pat Langley mendefinisikan *machine learning* sebagai kumpulan metode komputasi yang mampu meningkatkan kinerja melalui pemanfaatan pengetahuan yang berasal dari pengalaman, dengan kata lain tujuan utama dari *machine learning* adalah menaikkan tingkat otomatisasi dari proses rekayasa pengetahuan. Otomatisasi tersebut diharapkan dapat mengantikan kegiatan manusia yang membutuhkan waktu banyak dengan teknik otomatis yang meningkatkan akurasi atau efisiensi melalui pembelajaran dan memanfaatkan pola yang dipelajari dari data *training*.

Di dalam konteks *machine learning*, proses pembelajaran atau *training model* merupakan sebuah proses dimana sebuah algoritma *machine learning* melakukan pembelajaran konsep. Metode pembelajaran atau *training model* *machine learning* dikelompokkan ke dalam tiga kategori utama sebagai berikut:

#### a. *Supervised learning*

Merupakan metode pembelajaran yang bertujuan untuk memprediksi variabel target sebuah data baru berdasarkan model hasil training menggunakan himpunan data berlabel. *Supervised learning* biasanya dipergunakan untuk menyelesaikan masalah komputasi yang dikelompokkan ke dalam dua kategori yaitu masalah klasifikasi dan masalah regresi yang bertujuan untuk memprediksi variabel target berupa data kategorikal.

b. *Unsupervised learning*

Merupakan metode pembelajaran mempergunakan sejumlah contoh data tanpa label. *Unsupervised learning* biasanya dipergunakan untuk menyelesaikan masalah komputasi yang dapat dikelompokkan ke dalam dua kategori yaitu:

1. klastering (*clustering*) adalah mengelompokkan data training ke dalam beberapa klaster berdasarkan keerutan atau kesamaan fitur.
2. pengurangan dimensi data (*dimensional reduction*) adalah mengelompokkan variabel input data ke dalam beberapa kelompok variabel yang tidak saling berkorelasi.

c. *Reinforcement learning*

Metode pembelajaran yang didasarkan pada pemberian penghargaan terhadap keputusan yang diinginkan dan atau pemberian pinalti terhadap keputusan yang tidak diinginkan.

Data sebagai input bagi algoritma pembelajaran machine learning harus dapat dibaca oleh komputer, dalam format bilangan, dan berupa tabel. Ketika data akan dipergunakan sebagai data training atau data testing dari proses pembelajaran machine learning, beberapa transformasi data seringkali diperlukan agar model hasil training mencapai kinerja yang baik. Beberapa metode transformasi data terpenting antara lain: diskretisasi (transformasi data dari jenis data bilangan real menjadi data ordinal), menangani nilai NaN (*Not a Number*) dan *rescalling* (transformasi data yang bertujuan agar nilai variabel data memiliki skala atau *range* data yang

sama. Beberapa metode *rescalling* yang umum digunakan di dalam *machine learning* antara lain:

#### 1. Standardisasi

Standardisasi adalah transformasi nilai setiap variabel data sehingga data hasil transformasi memiliki nilai tengah 0 dan deviasi standar 1 menggunakan persamaan

Dimana,  $x'_t$  adalah data hasil normalisasi,  $x_t$  adalah data asli,  $\bar{x}$  adalah data rata-rata, dan  $s_x$  adalah deviasi standar dari data x.

## 2. Normalisasi

Normalisasi adalah transformasi nilai setiap variabel data sehingga data hasil transformasi berada pada interval [0,1] menggunakan persamaan

Dimana,  $\min(x)$  adalah nilai minimum dari variabel data  $x$  dan  $\max(x)$  adalah nilai maksimum dari variabel  $x$ .

Rescalling data bertujuan untuk meningkatkan kecepatan konvergensi algoritma pembelajaran dan menghindari dominasi variabel dengan rentang nilai besar terhadap variabel dengan rentang nilai kecil di dalam perhitungan fungsi jarak antara dua data. (Hervadi Yaya & Wahyono Teguh, 2020)

### 2.3.4 Selforganizing maps

*Self-Organizing Maps*, disingkat (SOM) atau sering disebut *topology-preserving map* dikenalkan oleh seorang professor asal Finlandia Teuvo Kohonen, yang memperoleh gelar doktor dalam bidang teknik dari *Helsinki University of Technology*.

*Technology.* SOM merupakan salah satu teknik dalam *neural network* yang bertujuan mengurangi dimensi data melalui penggunaan *self-organizing neural network* sehingga manusia mampu memahami data berdimensi tinggi yang dipetakan dalam bentuk data berdimensi rendah. Properti utama dari *neural network* adalah kemampuan untuk belajar dari lingkungannya, dan untuk meningkatkan kinerjanya melalui pembelajaran. Terdapat pembelajaran *supervised* dimana supervisor menyediakan data *training* ke *network*, dan pembelajaran *unsupervised* atau pembelajaran tanpa pengawasan dimana pembelajaran diatur sendiri (*self organised*). Selama pembelajaran *neural network* menerima sejumlah pola input yang berbeda dan menemukan sejumlah fitur dari pola-pola tersebut dan belajar bagaimana mengklasifikasikan pola input ke kategori yang sesuai. Metode pembelajaran ini cenderung mengikuti organisasi *neuro biological* pada otak yang bertujuan untuk belajar dengan cepat bahkan jauh lebih cepat daripada jaringan *back propagation* dan dapat digunakan secara real time (Negnevitsky Michael, 2011).

Pada algoritma SOM, vektor bobot untuk setiap unit *cluster* berfungsi sebagai contoh dari input pola yang terkait dengan *cluster* tersebut. Selama proses *self-organizing*, *cluster* satuan yang bobotnya sesuai dengan pola vektor input yang paling dekat dipilih sebagai pemenang. Unit pemenang dan unit tetangganya terus memperbarui bobotnya, setiap output akan bereaksi terhadap pola input tertentu sehingga hasil SOM akan menunjukkan adanya kesamaan ciri antar anggota dalam *cluster* yang sama (Irwansyah Edy, Faisal M, 2015). Dalam jaringan SOM, *neuron* target tidak diletakkan dalam sebuah baris seperti layaknya model *neural network*

yang lain. *Neuron* target diletakkan dalam dua dimensi yang bentuk /topologinya dapat diatur. Topologi yang berbeda akan menghasilkan *neuron* sekitar *neuron* pemenang yang berbeda sehingga bobot yang dihasilkan juga akan berbeda. Perubahan bobot tidak hanya dilakukan pada bobot garis yang terhubung ke *neuron* pemenang saja, tetapi juga pada bobot garis ke *neuron-neuron* di sekitarnya. *Neuron* di sekitar *neuron* pemenang ditentukan berdasarkan jaraknya dari *neuron* pemenang.

#### 2.3.4.1 Arsitektur dan Topologi SOM

Arsitektur SOM merupakan jaringan yang terdiri dari dua lapisan (layer), yaitu lapisan input dan lapisan output. Setiap neuron dalam lapisan input terhubung dengan setiap neuron pada lapisan output seperti pada gambar 1. Setiap neuron dalam lapisan output merepresentasikan kelas (cluster) dari input yang diberikan.



Gambar 2.1. Arsitektur SOM (Fausett 1993)

Sedangkan untuk topologi, SOM memiliki 3 jenis topologi hubungan ketetanggaan (*neighborhood*) yaitu *linear array*, *rectangular* dan *hexagonal grid*.

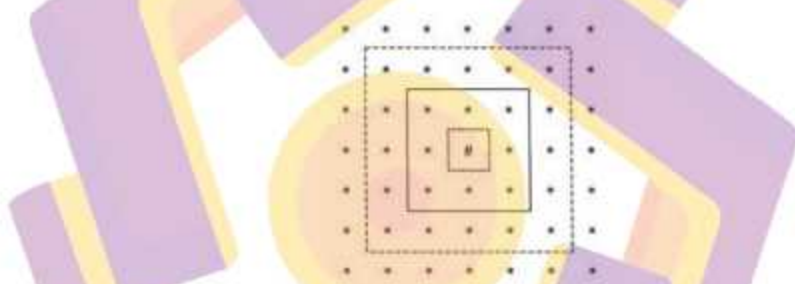
- a. Linear array, topologi ini menunjukkan unit cluster yang tersusun secara linear. Unit cluster yang menjadi pemenang [#] memiliki dua unit tetangga

(neighbour) yang berjarak 1 [ $R=1$ ], dan mempunyai dua unit tetangga yang berjarak 2 [ $R=2$ ].

\*\*\* { \* (\* [ # ] \*) \*} \*\*\*

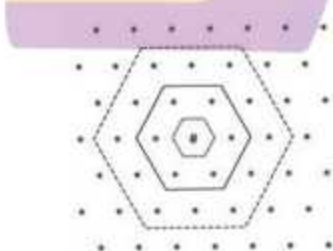
Keterangan: [ ] :  $R=0$  ; ( ) :  $R=1$  ; { } :  $R=2$

- b. *Rectangular grid*, adalah topologi dari *cluster* unit dua dimensi. Unit tetangga (*neighbour*) dari unit pemenang membentuk bujur sangkar. Unit pemenang [#] memiliki 8 *neighbour* berjarak 1 [ $R=1$ ] dan 16 *neighbour* berjarak 2 [ $R=2$ ].



Gambar 2.2. *Rectangular grid*

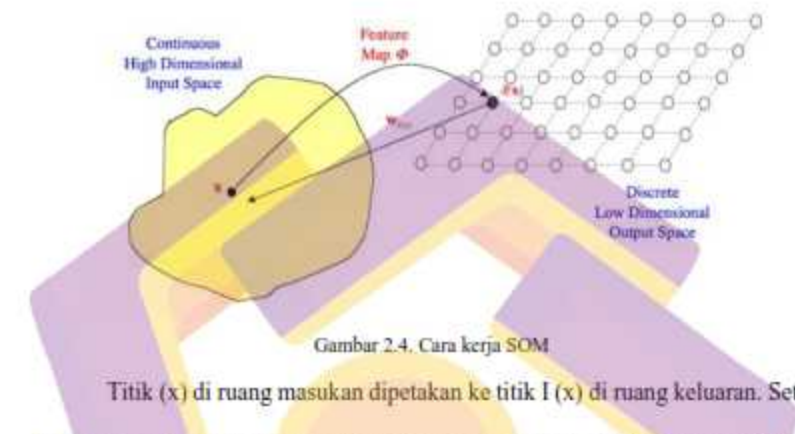
- c. Dalam topologi heksagonal grid, unit tetangga (*neighbour*) yang berjarak 1 [ $R=1$ ] dari unit pemenang adalah 6 dan yang berjarak 2 [ $R=2$ ] dari unit pemenang adalah 12.



Gambar 2.3. *Hexagonal grid*

### 2.3.4.2 Cara kerja SOM

Secara umum, cara kerja SOM ditunjukkan oleh Gambar 4 dibawah ini:



Gambar 2.4. Cara kerja SOM

Titik ( $x$ ) di ruang masukan dipetakan ke titik  $I$  ( $x$ ) di ruang keluaran. Setiap titik ( $I$ ) di ruang keluaran akan dipetakan ke titik yang sesuai di ruang masukan dengan bobot  $wI$  ( $x$ ).

Menurut Haykin (1999), SOM mengandung tiga komponen penting, yaitu:

- Persaingan: Untuk setiap mode masukan, neuron akan menghitung nilai dari setiap fungsi diskriminan, sehingga memberikan dasar untuk persaingan. Neuron spesifik dengan nilai minimum fungsi diskriminan dinyatakan sebagai pemenang.
- Kerjasama: Neuron pemenang menentukan lokasi spasial dari lingkungan topologi neuron yang tereksitasi, dengan demikian memberikan dasar untuk kerjasama di lingkungan neuron.
- Adaptasi sinaptik: Neuron tereksitasi mengurangi nilai fungsi diskriminan yang terkait dengan mode masukan melalui penyesuaian bobot yang sesuai, sehingga

neuron yang menang akan meningkatkan respons ke aplikasi berikutnya dengan mode masukan yang sama.

Algoritma SOM dapat dijelaskan sebagai berikut, pengelompokan data menggunakan algoritma SOM terdiri dari 4 tahap, yaitu:

- a. Kompetisi: setiap simpul output  $j$ , dihitung nilai  $D(x, w_i)$  yang merupakan fungsi jarak Euclidian antara  $x$  dan  $w_i$ . Fungsi ini didefinisikan sebagai berikut:

dimana  $x$  adalah vector dari node input, sedangkan  $w_m$  adalah vector bobot dari node neuron ke  $m$

- b. Update bobot: setelah mendapat nilai jarak dari tiap-tiap vector input ke vector bobot, nilai jarak yang minimum dipilih sebagai neuron pemenang. Setiap neuron pemenang beserta tetangganya dilakukan proses adaptasi dengan memperbaharui nilai bobot dimana  $h(t)$  adalah fungsi node tetangga (*neighborhood function*) dan  $t$  adalah banyaknya iterasi. Fungsi node tetangga yang digunakan adalah fungsi Gauss (kohonen et all, 2001) dengan formula:

$$h(t) = \alpha(t)x e^{\left(-\frac{xt^2 - x_0 t^2}{2\sigma^2(t)}\right)} \quad \dots \quad (5)$$

dimana  $\alpha(t)$  adalah nilai laju pembelajaran atau biasa disebut nilai alpha. Laju pembelajaran adalah fungsi penurunan tingkat pembelajaran seiring perubahan waktu (Fauseett 1993).

$\|ri - rc\|^2$  adalah jarak kuadrat antara neuron ke- $i$  dengan neuron pemenang dalam grid dan  $\delta^2(t)$  adalah lebar tetangga. Nilai laju pembelajaran diperoleh

$$\text{dari } \alpha(t) = \alpha_i \left(1 - \frac{t}{t_{max}}\right)$$

dimana  $\alpha_i$  adalah nilai awal laju pembelajaran dan  $t_{max}$  adalah iterasi maksimum.

Perubahan lebar tetangga didapat dari perhitungan berikut ini:

$$\delta(t) = \delta_i \left( \frac{\delta_f}{\delta_i} \right)^{\frac{t}{t_{max}}}$$

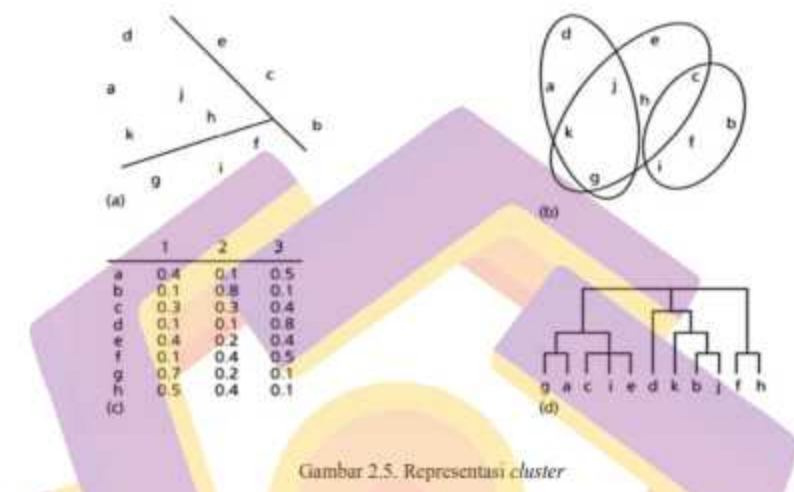
dimana  $\delta(t)$  adalah lebar tetangga yang akan berkurang seiring dengan t langkah pembelajaran.  $\delta_i$  adalah nilai awal lebar tetangga dan  $\delta_f$  nilai akhir lebar tetangga.

- c. Perbaharui  $\alpha$  dan  $\delta$ .  $\alpha$  dan  $\delta$  dilakukan perubahan nilai dengan rumus perubahan laju pembelajaran dan perubahan lebar tetangga seperti yang tersebut diatas.
- d. Hentikan perlakuan: perlakuan dihentikan ketika kriteria pemberhentian dicapai. Kriteria pemberhentian dari proses training dapat ditetapkan berdasarkan banyaknya iterasi, nilai minimum error, nilai alpha dan lebar tetangga.

### 2.3.5 Evaluasi Cluster

*Clustering* adalah proses pengelompokan sekumpulan objek sedemikian rupa sehingga objek-objek tersebut berada dalam kelompok yang sama (Dony Jollyta et al, 2021). Definisi lain (Manning et al, 2009), data dalam sebuah *cluster* harus semirip mungkin dan data dalam satu *cluster* harus sebeda mungkin dari data dalam *cluster* lainnya. Penyelesaian *cluster* dilakukan dengan berbagai algoritma. Beberapa algoritma pengelompokan memungkinkan satu *instance* menjadi milik

lebih dari satu *cluster*, sehingga diagram mungkin meletakkan *instance* dalam dua dimensi dan menggambar *subset* yang tumpang tindih mewakili setiap *cluster*.



Gambar 2.5. Representasi *cluster*

(Witten & Frank, 2005)

Gambar 5 menunjukkan beberapa bentuk representasi *cluster* yang sangat bergantung pada variasi data yang dikelompokkan dan algoritma yang digunakan. *Cluster* digunakan di banyak bidang penelitian seperti penggalian data, analisis data statistik, pembelajaran mesin, pola pengenalan, analisis gambar dan pencarian informasi. Umumnya *cluster* menyertakan kelompok dengan jarak kecil antar anggota *cluster*, area padat ruang data, interval atau distribusi statistik tertentu. Oleh karenanya pengelompokan dapat dirumuskan sebagai multi-tujuan masalah pengoptimalan. Algoritma pengelompokan yang sesuai dan pengaturan parameter bergantung pada kumpulan data individu dan tujuan penggunaan hasil. Hal ini memperlihatkan adanya kesulitan dalam menggali pengetahuan atau informasi dari hasil *cluster*. Permasalahan yang terjadi adalah belum adanya ketentuan jumlah

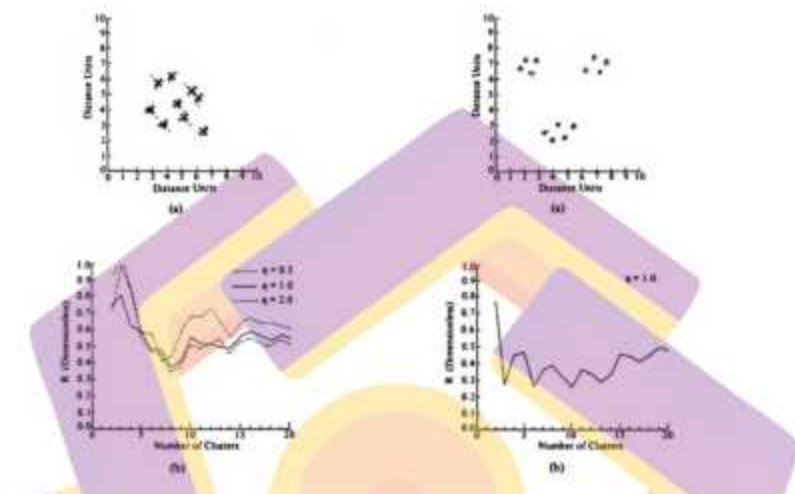
*cluster* yang tepat dari sejumlah  $k$  yang diujikan pada data. Kesulitan dalam menentukan *cluster* terbaik mengarahkan pada penggunaan teknik evaluasi *cluster*. Teknik evaluasi *cluster* digunakan untuk menentukan jumlah *cluster* yang terbaik atau optimal, dimana setiap teknik memiliki cara tersendiri dalam menemukan *cluster* yang optimal. Teknik evaluasi *cluster* tersebut diantaranya adalah metode *Elbow* dengan *Sum of Squares Error* (SSE), *Davies Bouldin Index* (DBI) dan *Silhouette Index* (SI).

#### 2.3.5.1 Davies Bouldin Index

*Davies-Bouldin Index* (DBI) diperkenalkan oleh David L. Davies dan Donald W. Bouldin pada tahun 1979. DBI adalah matrik untuk mengevaluasi algoritma pengelompokan. Matrik ini menunjukkan kesamaan *cluster* yang diasumsikan memiliki kepadatan data yang merupakan fungsi penurunan jarak dari karakteristik vektor *cluster*. Ukuran tersebut dapat digunakan untuk menyimpulkan kesesuaian partisi data dan oleh karena itu dapat digunakan untuk membandingkan kesesuaian relatif dari berbagai divisi data. Pengukuran tidak bergantung pada jumlah *cluster* yang dianalisis maupun metode partisi data dan dapat digunakan untuk memandu algoritma pencarian *cluster* (Deny Jollyta et al, 2021).

DBI merupakan skema evaluasi internal, dimana validasi seberapa baik pengelompokan dilakukan dengan menggunakan kuantitas dan fitur yang melekat pada dataset. Hal ini menjadi kelemahan DBI dimana nilai terendah yang dihasilkan dari perhitungannya belum tentu *cluster* yang terbaik atau optimal. Untuk mengatasi kelemahan ini, data yang digunakan harus memiliki jarak *cluster* minimum yang

dapat diterima atau deviasi standar minimum yang dapat diterima (Davies & Bouldin, 1979).



Gambar 2.6. Datasets DBI

Di penjelasan lain DBI merupakan salah satu metode evaluasi internal yang mengukur evaluasi *cluster* pada suatu metode pengelompokan yang didasarkan pada nilai kohesi dan separasi. Kohesi didefinisikan sebagai jumlah dari kedekatan data terhadap titik pusat *cluster* dari *cluster* yang diikuti. Sedangkan separasi didasarkan pada jarak antar titik pusat *cluster* dari *cluster*.

Evaluasi dilakukan melalui skema perhitungan jarak *internal cluster*, dimana jarak *internal* terbaik merupakan kuantitas dan kedekatan terhadap titik pusat *cluster* dari *cluster* yang diikuti. Sedangkan jarak antar *cluster* didasarkan pada jarak antar titik pusat *cluster* ke i terhadap titik pusat *cluster* ke j. Prinsip yang digunakan pada *Davies-Bouldin Index* ini jarak *inter-cluster* antara *cluster* Ci dan

Cj dimaksimalkan dan pada waktu yang sama jarak antar titik dalam sebuah *cluster* diminimalkan. Jika jarak *inter-cluster* maksimal, berarti kesamaan karakteristik antar-masing-masing *cluster* sedikit sehingga perbedaan antar *cluster* terlihat lebih jelas. Jika jarak *intra-cluster* minimal berarti masing-masing objek dalam *cluster* tersebut memiliki tingkat kesamaan karakteristik yang tinggi (Wani & Riyaz, 2017). Tahapan dari perhitungan Davies Bouldin Index adalah sebagai berikut:

a. *Sum of Square Within-cluster* (SSW)

Untuk mengetahui kohesi dalam sebuah cluster ke- $i$  adalah dengan menghitung nilai dari *Sum of Square Within-cluster* (SSW). Kohesi didefinisikan sebagai jumlah dari kedekatan data terhadap titik pusat *cluster* dari sebuah *cluster* yang diikuti. Persamaan yang digunakan untuk memperoleh nilai Sum of Square Within cluster adalah sebagai berikut:

$$SSW_i = \frac{1}{m_i} \sum_{j=1}^{m_i} d(x_j, c_i) \quad \dots \quad (6)$$

dimana  $m$  = jumlah anggota dalam cluster

**b. Sum of Square Between-cluster (SSB)**

Perhitungan *Sum of Square Between-cluster* (SSB) bertujuan untuk mengetahui separasi antar *cluster*. Persamaan yang digunakan untuk menghitung nilai *Sum of Square Between cluster* adalah sebagai berikut:

c. *Ratio* (Rasio)

Bertujuan untuk mengetahui nilai perbandingan antara *cluster* ke-*i* dan *cluster* ke-*j*. Untuk menghitung nilai rasio yang dimiliki oleh masing-masing *cluster*, digunakan persamaan berikut:

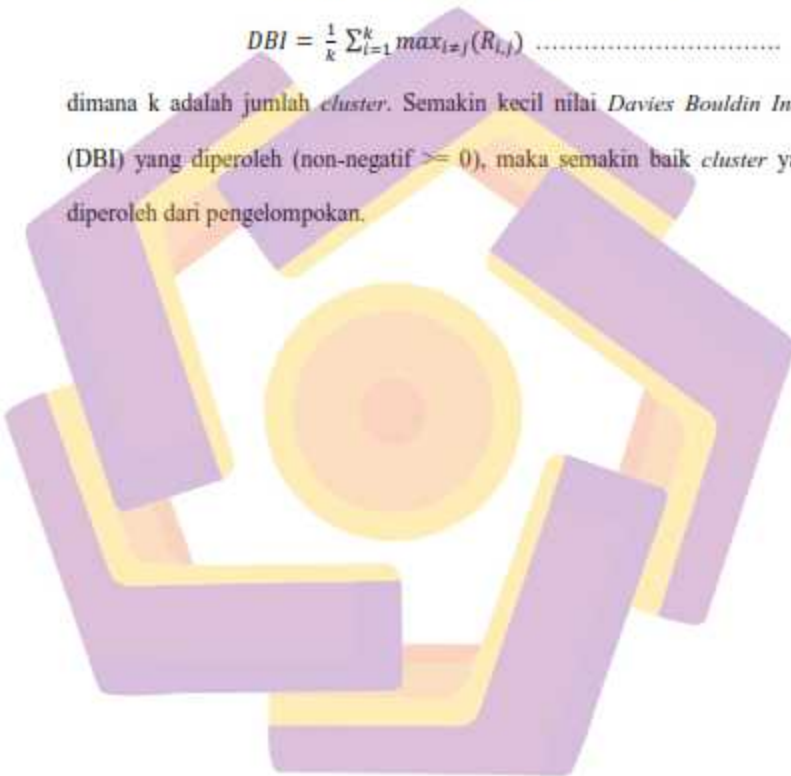
$$R_{i,j} = \frac{SSW_i + SSW_j}{SSB_{i,j}} \quad \dots \dots \dots \quad (8)$$

d. *Davies Bouldin Index*

Nilai rasio yang diperoleh dari persamaan (7) digunakan untuk mencari nilai *Davies-Bouldin Index* (DBI) dengan menggunakan persamaan berikut:

$$DBI = \frac{1}{k} \sum_{i=1}^k \max_{i \neq j} (R_{i,j}) \quad \dots \dots \dots \quad (9)$$

dimana k adalah jumlah cluster. Semakin kecil nilai *Davies Bouldin Index* (DBI) yang diperoleh (non-negatif  $\geq 0$ ), maka semakin baik cluster yang diperoleh dari pengelompokan.



## BAB III

### METODE PENELITIAN

#### 3.1. Jenis, Sifat, dan Pendekatan Penelitian

##### 3.1.1 Jenis Penelitian

Jenis-jenis metode penelitian dapat diklasifikasikan berdasarkan, tujuan, dan tingkat kealamianah (*natural setting*) obyek yang diteliti. Berdasarkan tujuan, metode penelitian dapat diklasifikasikan menjadi penelitian dasar (*basic research*), penelitian terapan (*applied research*) dan penelitian pengembangan (*research and development*). Selanjutnya berdasarkan tingkat kealamianah, metode penelitian dapat dikelompokkan menjadi metode penelitian eksperimen, survey dan *naturalistic* (Sugiyono, 2013). Penelitian ini termasuk jenis penelitian eksperimen. Penelitian yang dilakukan dengan menerapkan serangkaian tindakan untuk membuktikan suatu konsep. Dapat berupa pengembangan sistem atau penerapan algoritma baru atau penerapan parameter baru terhadap algoritma yang sudah ada dengan tujuan untuk melihat atau membuktikan sebuah konsep. Eksperimen yang dilakukan dengan melakukan pengujian artefak anak timbangan dan mengelompokkan hasil pengujian dengan menggunakan algoritma *Self Organizing Maps*.

##### 3.1.2 Sifat Penelitian

Dilihat dari sifatnya, penelitian ini bersifat deskriptif. Penelitian ini bertujuan untuk mendeskripsikan performa algoritma *Self Organizing Maps* dalam

mengelompokkan data interkomparasi anak timbangan untuk keperluan analisis hasil evaluasi kegiatan interkomparasi.

### 3.1.3 Pendekatan Penelitian

Pendekatan yang digunakan dalam penelitian ini berupa pendekatan kuantitatif, karena data penelitian berupa angka-angka dan dianalisis menggunakan perhitungan statistik.

### 3.2. Metode Pengumpulan Data

Pengumpulan data dapat dilakukan dalam berbagai setting, berbagai sumber, dan berbagai cara. Bila dilihat dari setting-nya, data dapat dikumpulkan pada setting alamiah (*natural setting*), pada laboratorium dengan metode eksperimen, di rumah dengan berbagai responden, pada suatu seminar, diskusi, di jalan dan lain-lain. Bila di lihat dari sumber datanya, maka pengumpulan data dapat menggunakan sumber primer, dan sumber sekunder. Sumber primer adalah sumber data yang langsung memberikan data kepada pengumpul data, dan sumber sekunder merupakan sumber yang tidak langsung memberikan data kepada pengumpul data, misalnya lewat orang lain atau lewat dokumen.

Pada penelitian ini pengumpulan data dilakukan melalui sumber primer pada laboratorium Unit Metrologi Legal Kabupaten /Kota. Data dikumpulkan dari kegiatan interkomparasi laboratorium metrologi legal BSML Regional II Kementerian Perdagangan tahun 2021 yang berlangsung Maret 2021 sampai dengan Oktober 2021 dengan jumlah peserta terdiri dari 36 Unit Metrologi Legal Kabupaten / Kota di wilayah regional II yang meliputi Jawa, Bali dan Nusa Tenggara.

Tabel 3.1. Data interkomparasi artefak 1 kg

No	Nama Laboratorium	Kode	Mc 1kg	Uc 1kg
1	Kab Kediri	A1	999.990	0.0087
2	Kab Demak	A2	1000.0170	0.012
3	Kab Semarang	A3	1000.0025	0.011
4	Kota Magelang	A4	1000.0039	0.0090
5	Kota Cimahi	A5	1000.0394	0.0030
6	Kota Semarang	A6	1000.0013	0.0098
7	Kota Surakarta	A7	1000.035	0.013
8	Kab Madiun	A8	1000.0048	0.0095
9	Kab Sleman	A9	1000.0046	0.0054
10	Kab Jombang	A10	999.9975	0.0064
11	Kota Surabaya	A11	1000.0038	0.010
12	Kab Magetan	A12	1000.010	0.011
13	Kab Pangandaran	A13	1000.0072	0.0095
14	Kab Bantul	A14	999.9997	0.0093
15	Kab Purwakarta	A15	1000	0.014
16	Kab Indramayu	A16	999.9976	0.0089
17	Kota Tasikmalaya	A17	1000.0075	0.0090
18	Kota Pekalongan	A18	999.9999	0.0061
19	Kab Temanggung	B1	1000.0006	0.0087
20	Kab Banyumas	B2	1000.0036	0.0091
21	Kab Kuningan	B3	1000	0.011
22	Kab Pekalongan	B4	999.996	0.010
23	Kab Bojonegoro	B5	1000.0031	0.0033
24	Kab Kudus	B6	1000.0072	0.0093
25	Kab Magelang	B7	1000.0094	0.0080
26	Kab Pati	B8	1000.0006	0.0053
27	Kota Yogyakarta	B9	1000.0037	0.0048
28	Kab Kendal	B10	1000.0039	0.0090
29	Kab Nganjuk	B11	1000.005	0.0041
30	Kab Wonosobo	B12	999.9997	0.0090
31	Kota Kediri	B13	1000.006	0.0087
32	Kab Kulonprogo	B14	1000.0033	0.0065
33	Kab Jepara	B15	1000.0055	0.0089
34	Kab Karawang	B16	1000.0175	0.016
35	Kab Sukoharjo	B17	1000.0026	0.0087
36	Kab Mojokerto	B18	1000.003	0.0071

### 3.3. Metode Analisis Data

Dalam penelitian ini secara umum akan dilakukan dua kali tahapan *clustering*. Tahapan pertama akan melakukan *clustering* pada data massa konvensional (mc) dan ketidakpastian (uc) artefak anak timbangan. Hasil clustering tahap pertama dengan menggunakan algoritma *Self Organizing Maps* akan menghasilkan *cluster* laboratorium secara umum. Untuk mengetahui variabel yang memiliki pengaruh terbanyak pada evaluasi hasil interkomparasi, dilakukan *clustering* tahap kedua. *Clustering* tahap kedua dilakukan pada data sumber ketidakpastian masing-masing laboratorium. Sumber ketidakpastian tersebut terdiri dari anak timbangan standar, drift standar, kemampuan ulang penimbangan (*repeatability*), bouyancy udara dan timbangan elektronik yang digunakan. *Cluster* yang terbentuk baik pada tahap pertama, dan tahap kedua kemudian dilakukan analisis lebih lanjut.

Analisa data dilakukan berdasarkan hasil pengelompokan dengan menggunakan platform analisis KNIME. KNIME atau *Konstanz Information Miner*, adalah platform analisis, pelaporan, dan integrasi data yang bersifat *opensource*. KNIME menyatukan berbagai komponen dalam bidang *machine learning* dan *data mining* dengan konsep alur data yang modular. Proses clustering menggunakan platform KNIME tampak seperti pada gambar 3.1 berikut:



Gambar 3.1. Clustering dengan KNIME

Pada gambar 3.1 terdapat beberapa hub dalam tahapan clustering. *Clustering* diawali dengan membaca data pada file dengan format .csv pada hub *csv reader*. Data tersebut kemudian dilakukan *filtering* pada hub *column filter* untuk menentukan atribut/variabel yang menjadi masukan pada proses *clustering*. Selanjutnya pada hub *Self Organizing Maps* dilakukan pengaturan nilai parameter yang terdiri dari nilai *learning rate*, tinggi dan lebar *lattice*, jumlah *epoch* untuk fase *ordering* dan fase *convergence* dan status normalisasi data.

Terdapat dua status normalisasi, *true* jika data dilakukan normalisasi dan *false* jika data tidak dilakukan normalisasi. Normalisasi data dilakukan untuk menskalakan nilai atribut dari data sehingga bisa terbentuk data pada range tertentu di setiap atribut. Normalisasi data dilakukan dengan metode *min-max* dimana data pada atribut yang sama dibagi dengan nilai maksimum pada atribut tersebut. Untuk mengetahui berapa jumlah *cluster* terbentuk dan rincian anggotanya digunakan hub

*weka cluster assigner.* Dari hub ini, data kemudian ditampilkan dalam bentuk image menggunakan hub *data to report*.

Tabel 3.2 Data nilai budget uncertainty artefak 1 kg

Kode	Ur	Ud	Ustd	Udrif	Ub
A1	0.000000	0.004083	0.000800	0.000739	0.001109
A2	0.004082	0.002300	0.010607	0.000000	0.001109
A3	0.002850	0.004080	0.002300	0.000740	0.001110
A4	0.001300	0.004100	0.000800	0.000200	0.001100
A5	0.000200	0.000400	0.000600	0.000700	0.001100
A6	0.000000	0.004080	0.001480	0.002310	0.000069
A7	0.0041	0.0041	0.0023	0.0017	0.0011
A8	0.0019	0.0041	0.0008	0.0007	0.0011
A9	0.0004	0.0004	0.0023	0.0007	0.0011
A10	0.001486	0.000408	0.00115	0.002309	0.001109
A11	0.0019	0.0041	0.0023	0.0007	0.0011
A12	0.0026	0.0041	0.0023	0.0007	0.0011
A13	0.0015	0.0041	0.0014	0.0007	0.0011
A14	0.0016	0.0041	0.0008	0.0007	0.0011
A15	0.005774	0.004083	0.00055	0.000693	0.001109
A16	0.0013	0.0041	0.0006	0.0001	0.0011
A17	0.0013	0.0041	0.0006	0.0007	0.0011
A18	0.0022	0.0004	0.0008	0.0007	0.0011
B1	0.000000	0.004100	0.000800	0.000800	0.001100
B2	0.001900	0.004100	0.000800	0.000200	0.069300
B3	0.003350	0.004082	0.000145	0.000739	0.001109
B4	0.002500	0.004100	0.000600	0.000700	0.001100
B5	0.000342	0.000408	0.008000	0.000739	0.001008
B6	0.001670	0.004080	0.000800	0.000740	0.001110
B7	0.003200	0.000400	0.000800	0.000700	0.001100
B8	0.000195	0.000041	0.002300	0.000700	0.001100
B9	0.000640	0.000400	0.002300	0.000700	0.001100
B10	0.001600	0.004100	0.000800	0.000900	0.001100
B11	0.000200	0.000400	0.000800	0.001800	0.000100
B12	0.001000	0.004100	0.000800	0.000700	0.001100
B13	0.000000	0.004100	0.000600	0.000700	0.001100
B14	0.000590	0.000400	0.001300	0.002800	0.001100
B15	0.001602	0.004083	0.00055	0.000673	0.000111
B16	0.0063	0.0041	0.0006	0.0006	0.0001
B17	0	0.0041	0.0008	0.0007	0.0011
B18	0.0025	0.0004	0.0017	0.0013	0.0011

Pengelompokan data dilakukan dalam dua tahap, tahap pertama menggunakan data pada tabel 3.1, sedangkan tahap kedua menggunakan data pada tabel 3.2. Untuk mengetahui seberapa baik *cluster* yang dihasilkan, dilakukan evaluasi menggunakan nilai DBI dengan persamaan 8. Nilai DBI yang dicari adalah nilai terkecil mendekati 0 (non-negatif  $\geq 0$ ).

Untuk mengetahui variabel mana yang paling berpengaruh dilakukan analisis korelasi, yaitu metode statistika yang digunakan untuk menentukan kuat lemahnya hubungan antara suatu variabel dengan variabel lain tanpa melihat apakah variabel tertentu tergantung pada variabel lainnya. Analisis korelasi yang digunakan adalah korelasi Pearson (*pearson product moment*). Korelasi Pearson merupakan korelasi sederhana yang hanya melibatkan satu variabel terikat (*dependent*) dan satu variabel bebas (*independent*) dengan menggunakan persamaan sebagai berikut. (Miftahudin et al, 2021)

$$r = \frac{n \sum xy - (\sum x)(\sum y)}{\sqrt{[n \sum x^2 - (\sum x)^2][n \sum y^2 - (\sum y)^2]}} \quad \dots \dots \dots \quad (10)$$

Hasil pengujian korelasi mengikuti interpretasi seperti pada tabel 3.3 berikut:

Tabel 3.3 Kriteria korelasi Pearson (Miftahudin et al, 2021)

No.	Nilai r	Interpretasi
1.	0.00 – 0.199	Sangat rendah
2.	0.20 – 0.399	Rendah
3.	0.40 – 0.599	Sedang
4.	0.60 – 0.799	Kuat
5.	0.80 – 1.00	Sangat kuat

Pengujian lanjutan untuk menentukan apakah koefisien korelasi yang didapat bisa digeneralisasi atau mewakili populasi, maka dilakukan uji signifikansi dari uji t dengan mencari nilai  $t_{hitung}$ . Nilai  $t_{hitung}$  dicari dengan menggunakan persamaan 10 berikut ini (Ramli Ayufiah et al, 2021).

$$t_{hitung} = \frac{r\sqrt{n-2}}{\sqrt{1-r^2}} \quad \dots \dots \dots \quad (11)$$

Hasil dari  $t_{hitung}$  kemudian dianalisis, jika  $t_{hitung}$  lebih besar ( $\geq$ ) daripada nilai  $t_{tabel}$  dengan signifikan 5%, maka nilai t signifikan sehingga  $H_1$  diterima dan  $H_0$  ditolak. Hal ini menandakan adanya hubungan antara variabel X dengan variabel Y. Sedangkan jika nilai  $t_{hitung}$  tidak sama dengan atau lebih kecil ( $\leq$ ) daripada nilai  $t_{tabel}$  dengan signifikan 5%, maka nilai t tidak signifikan sehingga  $H_1$  ditolak dan  $H_0$  diterima. Ini menandakan antara variabel X dan Y tidak memiliki hubungan (Ramli Ayufiah et al, 2021).

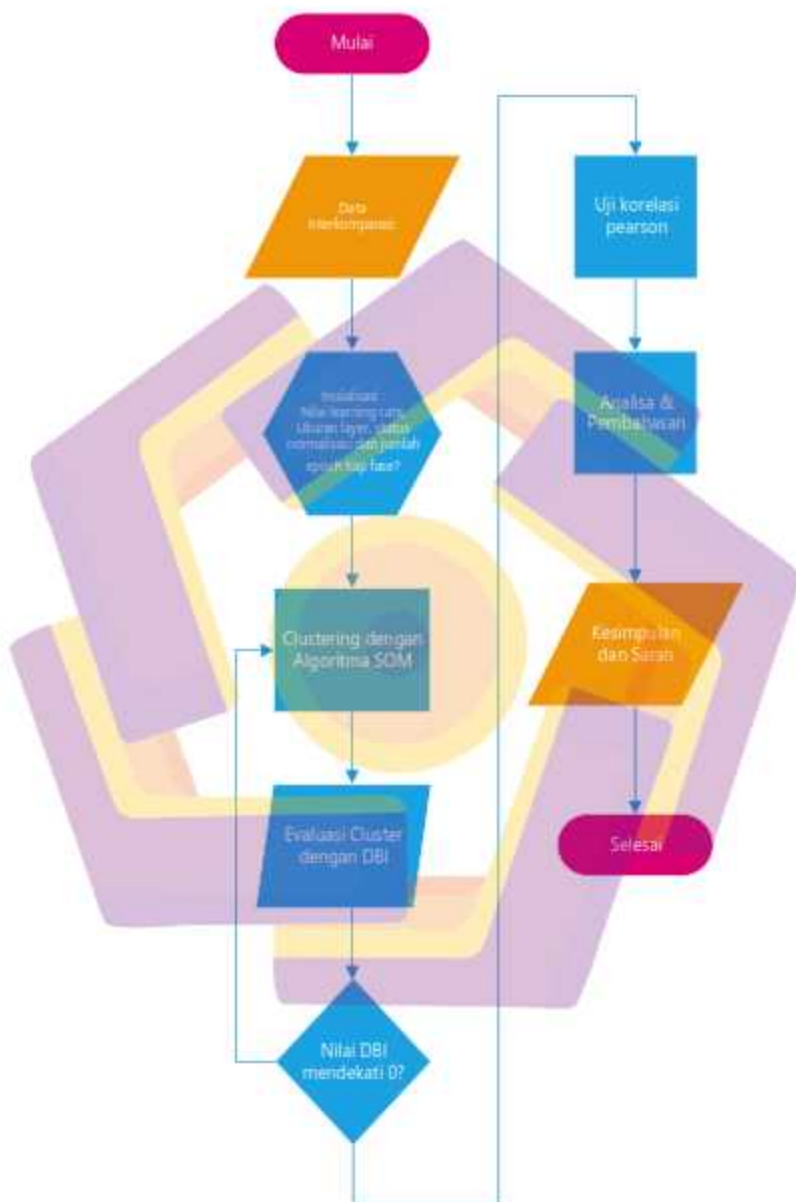
### 3.4. Alur Penelitian

Alur penelitian seperti gambar 3.2 dapat dijelaskan sebagai berikut:

1. Pada tahap awal dilakukan literature review untuk mengumpulkan bahan referensi, tinjauan pustaka bersumber dari jurnal internasional dan jurnal nasional. Sedangkan landasan teori bersumber dari pustaka buku, pustaka makalah, jurnal atau prosiding.
2. Tahap selanjutnya berupa pengumpulan data interkomparasi anak timbangan. Data ini diperoleh dari kegiatan interkomparasi tahun 2021 yang diselenggarakan oleh Balai Standardisasi Metrologi Regional II dengan jumlah peserta sebanyak 36 laboratorium. Dari data yang terkumpul kemudian dilakukan perhitungan nilai rasio  $E_n$  nya. Data Nilai rasio  $E_n$  dan data

uncertainty dari laboratorium peserta interkomparasi akan dilakukan proses pengelompokkan data dengan menggunakan algoritma SOM.

3. Sebelum dilakukan proses *clustering* data, pada tahap ini ditentukan terlebih dahulu beberapa setting parameter antara lain ukuran tinggi lebar layer, status normalisasi, nilai *learning rate*  $\alpha(t)$  dan nilai *epoch* untuk fase order dan fase konvergen.
4. Pada tahap ini dilakukan proses clustering dengan algoritma SOM pada data nilai massa konvensional (mc) beserta nilai ketidakpastian (uc) dan pada data nilai sumber ketidakpastian. *Clustering* nilai mc uc untuk mendapatkan pengelompokan awal dari 36 peserta interkomparasi.
5. Setelah didapatkan hasil *clustering*, kemudian dilakukan evaluasi seberapa baik hasil *cluster*. Pengujian dilakukan dengan menggunakan kriteria nilai DBL. Untuk menentukan seberapa besar pengaruh variabel terhadap variabel lain dan pengaruh variabel terhadap hasil dilakukan pengujian korelasi.
6. Tahapan terakhir dalam penelitian ini adalah menarik kesimpulan yang diperoleh dari eksperimen dan memberikan saran untuk penelitian selanjutnya.



Gambar 3.2. Alur Penelitian

## **BAB IV**

### **HASIL PENELITIAN DAN PEMBAHASAN**

#### **4.1. Data Penelitian**

Penelitian ini menggunakan data interkomparasi anak timbangan yang diselenggarakan oleh Balai Standardisasi Metrologi Legal Regional II. Kegiatan interkomparasi laboratorium Metrologi Legal tahun 2021 diikuti oleh 36 peserta yang merupakan Unit Metrologi Legal di wilayah regional II. Data penelitian dikelompokkan berdasar jenis artefak anak timbangan yang digunakan. Artefak yang digunakan dalam kegiatan interkomparasi berupa artefak anak timbangan kelas M1 dengan massa nominal 1 kg yang dibedakan identitasnya sebagai artefak A 1 kg dan artefak B 1 kg dengan identitas seperti pada tabel 4.1.

Tabel 4.1 Identitas artefak

Artefak	A	B
Merk	Ankatama	Ankatama
Massa Nominal	1000 g	1000 g
No Seri	ATM.M-1. S.022	ATM.M-1. S.021
Kelas	M <sub>1</sub>	M <sub>1</sub>
Bahan	Stainless steel	Stainless steel
Massa Jenis	7.950 kg/m <sup>3</sup>	7.950/m <sup>3</sup>

Dataset yang akan dikelompokkan berupa data hasil pengujian dari kegiatan interkomparasi seperti pada tabel 4.2 berikut:

Tabel 4.2 Rerata nilai data interkomparasi

No	Kode	Mc 1kg	Uc 1kg
1	A1	999.990	0.0087
2	A2	1000.0170	0.012
3	A3	1000.0025	0.011
4	A4	1000.0039	0.0090
5	A5	1000.0394	0.0030
6	A6	1000.0013	0.0098
7	A7	1000.035	0.013
8	A8	1000.0048	0.0095
9	A9	1000.0046	0.0054
10	A10	999.9975	0.0064
11	A11	1000.0038	0.010
12	A12	1000.010	0.011
13	A13	1000.0072	0.0095
14	A14	999.9997	0.0093
15	A15	1000	0.014
16	A16	999.9976	0.0089
17	A17	1000.0075	0.0090
18	A18	999.9999	0.0061
19	B1	1000.0006	0.0087
20	B2	1000.0036	0.0091
21	B3	1000	0.011
22	B4	999.996	0.010
23	B5	1000.0031	0.0033
24	B6	1000.0072	0.0093
25	B7	1000.0094	0.0080
26	B8	1000.0006	0.0053
27	B9	1000.0037	0.0048
28	B10	1000.0039	0.0090
29	B11	1000.005	0.0041
30	B12	999.9997	0.0090
31	B13	1000.006	0.0087
32	B14	1000.0033	0.0065
33	B15	1000.0055	0.0089
34	B16	1000.0175	0.016
35	B17	1000.0026	0.0087
36	B18	1000.003	0.0071
Rata-rata		1000.005	0.010

## 4.2. Klastering

### 4.2.1 Penentuan nilai parameter

Proses *clustering* dengan KNIME diawali dengan pengaturan nilai *learning rate*, tinggi dan lebar *lattice* serta jumlah *epoch* untuk fase *ordering* dan fase *convergence* pada hub *Self Organizing Maps* seperti tampak pada gambar 4.1 berikut:



Gambar 4.1 Menu pengaturan parameter pada hub *Self Organizing Maps*

Pada gambar 4.1 diatas memperlihatkan menu pengaturan parameter yang digunakan ketika melakukan klastering. Terdapat 7 kolom yang bisa diatur nilai parameternya, diantaranya:

- calStats*, parameter ini untuk menentukan apakah perlu menghitung statistik setiap cluster setelah selesai pelatihan / *training*.
- convergence epoch*, parameter untuk menentukan jumlah *epoch* pada fase konvergensi.

- c. *Height*, parameter untuk menentukan tinggi dari *lattice* / ukuran tinggi grid peta SOM 2 dimensi.
- d. *learning rate*, parameter untuk menentukan jumlah awal bobot yang diperbarui. Nilai *learning rate* berada pada range nol (0) sampai satu (1).
- e. *normalize attributes*, parameter untuk menentukan status normalisasi data, apakah akan dilakukan normalisasi atau tidak.
- f. *ordering epochs*, parameter untuk menentukan jumlah *epoch* pada fase *ordering*.
- g. *Width*, parameter untuk menentukan lebar dari *lattice* / ukuran lebar grid peta SOM 2 dimensi.

Pada penelitian ini telah dilakukan beberapa percobaan nilai parameter yang meliputi *learning rate*, *ordering epochs*, dan *convergence epochs* pada ukuran grid 2x4 dengan hasil seperti pada tabel 4.3 berikut ini.

Tabel 4.3 Hasil Percobaan nilai parameter

No.	<i>Learning rate</i>	<i>Ordering epochs</i>	<i>Convergence epochs</i>	<i>Time (second)</i>
1.	0.3	6000	2000	60
2.	0.5	6000	2000	46
3.	0.8	6000	2000	34
4.	0.3	6000	20000	190
5.	0.5	6000	20000	184
6.	0.8	6000	20000	178
7.	0.3	12000	20000	204
8.	0.5	12000	20000	197
9.	0.8	12000	20000	190

Pada tabel 4.3 diatas terlihat dari setting nilai paramater *learning rate* ( $\alpha$ ), semakin kecil nilai *learning rate*-nya akan membutuhkan waktu respon yang lebih lama, dan semakin besar nilai *learning rate*-nya akan membutuhkan waktu respon yang lebih cepat. Dari percobaan tersebut nilai *learning rate* 0.8 akan digunakan pada penelitian ini.

Untuk parameter jumlah epoch pada fase order maupun fase konvergen disajikan pada gambar 4.2, 4.3, dan 4.4 berikut.



Gambar 4.2 Hasil klaster dengan parameter  $\alpha=0.8$ , Eo 6000 dan Ec 2000



Gambar 4.3 Hasil klaster dengan parameter  $\alpha=0.8$  Eo, 6000 dan Ec 20000



Gambar 4.4 Hasil klaster dengan parameter  $\alpha=0.8$ ,  $E_0$  12000 dan  $E_c$  20000

Terlihat gambar 4.2 dengan 4.3 memiliki kesamaan pola klaster terbentuk meskipun berbeda pada jumlah konvergen epoch-nya, sedangkan pada gambar 4.4 ketika nilai epoch pada fase ordering dinaikkan menjadi 12000 terlihat perpindahan ruang *output* pada klaster. Klaster yang semula di *cluster7* berpindah ke *cluster0* berlaku sebaliknya, yang semula di *cluster6* berpindah ke *cluster1* dan berlaku pula sebaliknya. Untuk fase *ordering*, jumlah *epoch* minimal adalah 1000 dan jumlah *epoch* pada fase konvergen sedikitnya 500 kali jumlah *neuron* pada *network* (Umut Asan & Secil Ersan,2012). Pada penelitian ini digunakan parameter jumlah epoch pada fase ordering sebesar 2000 dan pada fase konvergen sebesar 6000. Pemilihan 6000 didasarkan pada klaster yang terbentuk dari data interkomparasi. Pola klaster pada epoch 12000, terjadi pergantian ruang output dengan jumlah anggota klaster tetap pada setiap ruangnya, demikian juga ketika epochnya dibuat 500 kali dari jumlah neuron ( $500 \times 36$ ) atau sebesar 18.000 pola klaster terbentuk sama dengan jumlah epoch pada fase konvergen sebesar 6000. Adapun untuk parameter normalisasi di set pada nilai *true*, dimana data sebelum di klaster telah dilakukan proses normalisasi data min max pada rentang 0-1.

Tabel 4.4 Nilai Parameter Clustering Dengan Algoritma SOM

Parameter ke-	<i>learning rate</i>	tinggi <i>lattice</i>	lebar <i>lattice</i>	<i>Epoch<sub>o</sub></i>	<i>Epoch<sub>c</sub></i>	Normalisasi
1	0,8	2	1	6000	2000	<i>true</i>
2	0,8	2	2	6000	2000	<i>true</i>
3	0,8	2	3	6000	2000	<i>true</i>
4	0,8	2	4	6000	2000	<i>true</i>
5	0,8	3	3	6000	2000	<i>true</i>
6	0,8	3	4	6000	2000	<i>true</i>
7	0,8	4	4	6000	2000	<i>true</i>

Parameter yang digunakan pada tabel 4.4 berbeda pada ukuran *lattice* atau kisi nya. Ukuran *lattice* menentukan ukuran grid (peta 2 dimensi) yang menentukan jumlah *output neuron*. Pada algoritma SOM, masing-masing *input neuron* akan dipasangkan pada *output neuron* sesuai ukuran grid nya. Parameter 1 memiliki 2 *output neuron* yang akan ditempati oleh *input neuron*. Serupa dengan parameter 1, parameter 2,3,4,5,6, dan 7 memiliki jumlah output neuron sesuai ukuran grid yang akan ditempati oleh *input neuron*. Nilai *learning rate*, jumlah epoch pada fase order dan konvergen dibuat tetap. Data input selanjutnya dilakukan normalisasi sebelum dilakukan pengelompokan dengan algoritma SOM. Proses normalisasi dilakukan dengan metode *Min-Max Normalization* yang merubah data input pada rentang nilai minimum 0 dan nilai maksimum 1. Pada hub algoritma SOM pengaturan normalisasi terdapat dua pilihan pada kondisi *false*, jika data input sudah dilakukan normalisasi terlebih dahulu, dan *true* jika input data belum dilakukan normalisasi.

Data interkomparasi pada tabel 3.2 kemudian dikelompokkan dengan menggunakan algoritma *self-organizing maps* sesuai dengan nilai parameter pada tabel 4.4. Data input memiliki 2 fitur, fitur x dan fitur y, dimana fitur x adalah nilai massa konvensional artefak dan fitur y adalah nilai ketidakpastian artefak pada level

kepercayaan 95%. Algoritma SOM memiliki keistimewaan pada kemampuannya mengorganisir data secara mandiri. Berapapun data *input* yang diberikan, maka algoritma SOM akan mengelompokkan data – data tersebut ke dalam *neuron output* secara mandiri. Keistimewaan lain dari algoritma SOM terletak pada kemampuannya memvisualisasikan hasil pengelompokan menjadi data berdimensi rendah (2 dimensi) yang memberikan kemudahan dalam pengamatan distribusi hasil klastering. Dalam penelitian ini data dipetakan secara visual untuk mempermudah analisis data. Hasil pengelompokan direpresentasikan pada gambar 4.5 berikut ini:



Gambar 4.5 Hasil Clustering Parameter 5

Parameter 5 menghasilkan klaster sebanyak 9, dengan anggota klaster secara berurutan berjumlah (5,3,2,5,8,2,1,4 dan 6) laboratorium. Jumlah klaster terbentuk dipengaruhi oleh ukuran *lattice* atau grid. Ukuran 3x3 akan menghasilkan jumlah klaster maksimal 9 (sembilan).

Serupa dengan hasil klaster pada gambar 4.5, pengelompokan data

interkomparasi untuk artefak 1 kg dari seluruh parameter ditampilkan pada tabel 4.5. Data pada tabel 4.5 memperlihatkan sebaran jumlah klaster yang berbeda-beda untuk setiap parameter.

Tabel 4.5 Jumlah klaster dan anggota klaster setiap parameter

Parameter	1	2	3	4	5	6	7
Ukuran grid	2x1	2x2	2x3	2x4	3x3	3x4	4x4
C0	26	3	1	4	5	1	2
C1	10	10	12	8	3	4	1
C2		13	3	5	2	4	2
C3			10	9	5	2	2
C4				7	3	8	5
C5					6	2	3
C6						4	1
C7						1	4
C8							6
C9							5
C10							3
C11							2
C12							1
C13							1
C14							4
C15							1

Data pada tabel 4.5 memperlihatkan pola sebaran jumlah klaster yang berbeda-beda untuk setiap parameter. Jumlah klaster yang terbentuk pada setiap parameter akan mengikuti ukuran gridnya. Ukuran grid menunjukkan jumlah maksimal ruang yang akan ditempati oleh neuron pemenang. Dari tabel 4.5 dapat diketahui parameter dengan ukuran grid 2x4 akan menghasilkan maksimal 8 ruang yang akan ditempati maksimal 8 neuron pemenang. Pola klaster terbentuk mengikuti ukuran tinggi lebarnya *lattice*. Jumlah maksimal ruang output neuron

dihitung dari 5 (lima) kali akar jumlah baris dataset (Vesanto, 2000). Dataset dalam penelitian ini berjumlah 36 baris, sehingga jumlah ukuran grid maksimum adalah  $5 \times \sqrt{36} = 5 \times 6$ . Dengan 36 data, maka parameter tinggi dan lebar lattice / ukuran grid yang dimasukkan di awal klustering dapat menggunakan kombinasi ukuran 2x1, 2x2, 2x3, 2x4 hingga maksimal ukuran 5x6. Pada penelitian ini dilakukan percobaan klustering dengan beberapa ukuran grid, diperoleh hasil seperti pada tabel 4.6 berikut:

Tabel 4.6 Jumlah kluster berdasarkan ukuran grid

No.	Ukuran Grid	Jumlah ruang	Jumlah kluster terbentuk
1.	2x1	2	2
2.	2x2	4	4
3.	2x3	6	6
4.	2x4	8	8
5.	3x3	9	9
6.	3x4	12	12
7.	4x4	16	16
8.	4x5	20	19
9.	5x5	25	19
10.	5x6	30	23

#### 4.3. Evaluasi Hasil Klaster

Untuk mendapatkan jumlah klaster optimum atau terbaik dilakukan evaluasi klaster dengan menghitung nilai DBI nya. Nilai DBI diperoleh dari perbandingan nilai kohesi dan nilai separasi dari cluster ke-i dan cluster ke-j. Kohesi menunjukkan kedekatan data terhadap titik pusat klaster dari sebuah klaster yang diikuti. Separasi

menunjukkan jarak antara titik pusat klaster dengan klasternya. Untuk menghitung nilai kohesi cluster ke- $i$  digunakan persamaan 5. Perhitungan nilai DBI dilakukan dengan menggunakan microsoft excel, dan dilakukan melalui 5 tahapan perhitungan yang meliputi:

- Perhitungan nilai titik pusat klaster
- Perhitungan nilai kohesi data pada pusat klaster dengan menggunakan persamaan 6.
- Perhitungan nilai separasi antar klaster dengan menggunakan persamaan 7.
- Perhitungan nilai rasio atau perbandingan klaster dengan menggunakan persamaan 8.
- Perhitungan nilai DBI dengan menggunakan persamaan 9.

Untuk melakukan perhitungan nilai titik pusat klaster, data dipisahkan sesuai dengan outputnya pada cluster 0, cluster 1, cluster 2 dan cluster 3 seperti tampak pada tabel 4.6 berikut, dimana pada klaster ke-0 memiliki 3 anggota, klaster ke-1 memiliki 10 anggota, klaster ke-2 memiliki 13 anggota dan klaster ke-3 memiliki 10 anggota.

Tabel 4.7 Data anggota per *cluster* parameter kedua

Cluster 1			Cluster 0		
data ke	x	y	data ke	x	y
1	0	0.093443	1	0.546559	0.147541
2	0.253036	0.131148	2	0.910931	0.163934
3	0.228745	0.111475	3	0.55668	0.213115
4	0.196356	0.103279	Cluster 2		
5	0.202429	0.180328	data ke	x	y
6	0.153846	0.096721	1	0.281377	0.098361
7	0.214575	0.093443	2	0.299595	0.106557

Tabel 4.7 Lanjutan

data ke	x	y	data ke	x	y
8	0.202429	0.131148	3	0.279352	0.114754
9	0.121457	0.114754	4	0.404858	0.131148
10	0.196356	0.098361	5	0.348178	0.106557
Cluster 3			6	0.354251	0.098361
data ke	x	y	7	0.275304	0.1
1	1	0	8	0.348178	0.103279
2	0.295547	0.039344	9	0.392713	0.081967
3	0.151822	1	10	0.281377	0.098361
4	0.200405	0.05082	11	0.323887	0.093443
5	0.265182	0.004918	12	0.313765	0.096721
6	0.214575	0.037705	13	0.255061	0.093443
7	0.277328	0.029508			
8	0.303644	0.018033			
9	0.269231	0.057377			
10	0.263158	0.067213			

## a. Perhitungan nilai titik pusat

Titik pusat klaster pada cluster 0 merupakan nilai rata-rata setiap data pada fitur x dan y.

$$\text{titik pusat } x_0 = \frac{\sum_i^n x}{n} = \frac{0,5465 + 0,9109 + 0,5566}{3}$$

Diperoleh titik pusat  $x_0 = 0,6714$

$$\text{titik pusat } y_0 = \frac{\sum_i^n y}{n} = \frac{0,1475 + 0,1639 + 0,2131}{3}$$

Diperoleh titik pusat  $y_0 = 0,1748$

$$\text{titik pusat } x_1 = \frac{\sum_i^n x}{n} = \frac{0 + 0,253 + 0,228 + \dots + 0,1963}{10}$$

Diperoleh titik pusat  $x_1 = 0,1769$

$$\text{titik pusat } y_1 = \frac{\sum_i^n y}{n} = \frac{0,093 + 0,131 + 0,111 + \dots + 0,098}{10}$$

Diperoleh titik pusat  $y_1 = 0,1154$

$$\text{titik pusat } x_2 = \frac{\sum_i^n x}{n} = \frac{0,281 + 0,299 + 0,279 + \dots + 0,255}{13}$$

Diperoleh titik pusat  $x_2 = 0,3198$

$$\text{titik pusat } y_2 = \frac{\sum_i^n y}{n} = \frac{0,098 + 0,106 + 0,114 + \dots + 0,093}{13}$$

Diperoleh titik pusat  $y_2 = 0,1017$

$$\text{titik pusat } x_3 = \frac{\sum_i^n x}{n} = \frac{1 + 0,295 + 0,151 + \dots + 0,263}{10}$$

Diperoleh titik pusat  $x_3 = 0,3241$

$$\text{titik pusat } y_3 = \frac{\sum_i^n y}{n} = \frac{0 + 0,039 + 1 + \dots + 0,067}{10}$$

Diperoleh titik pusat  $y_3 = 0,1305$

b. Perhitungan nilai kohesi (*sum of square within*).

Digunakan persamaan 5 sebagai berikut:  $SSW_i = \frac{1}{m_i} \sum_{j=1}^{m_i} d(x_j, c_i)$

Untuk menghitung nilai *sum of square within*, terlebih dahulu dihitung jarak antara data ke pusat cluster dengan menggunakan perhitungan jarak euclidean sebagai berikut:

$$d(X_1, C_0) = \sqrt{(0,546559 - 0,6714)^2 + (0,147541 - 0,1748)^2} = 0,1277864$$

$$d(X_2, C_0) = \sqrt{(0,910931 - 0,6714)^2 + (0,163934 - 0,11748)^2} = 0,2397903$$

$$d(X_3, C_0) = \sqrt{(0,55668 - 0,6714)^2 + (0,213115 - 0,11748)^2} = 0,1209195$$

Serupa dengan perhitungan diatas diperoleh nilai jarak data ke masing-masing pusat klaster sebagai berikut:

Tabel 4.8 Data perhitungan nilai jarak cluster ke pusat cluster

Cluster 1				Cluster 0			
data ke	x	y	d	data ke	x	y	d
1	0	0.093443	0.178282	1	0.546559	0.147541	0.127786
2	0.253036	0.131148	0.077723	2	0.910931	0.163934	0.23979
3	0.228745	0.111475	0.051971	3	0.55668	0.213115	0.120919
4	0.196356	0.103279	0.022909	Cluster 2			
5	0.202429	0.180328	0.069749	data ke	x	y	d
6	0.153846	0.096721	0.029695	1	0.281377	0.098361	0.038612

Tabel 4.8 Lanjutan

data ke	x	y	d	data ke	x	y	d
7	0.214575	0.093443	0.043591	2	0.299595	0.106557	0.020802
8	0.202429	0.131148	0.029971	3	0.279352	0.114754	0.042518
9	0.121457	0.114754	0.055469	4	0.404858	0.131148	0.089954
10	0.196356	0.098361	0.025852	5	0.348178	0.106557	0.028742
Cluster 3				6	0.354251	0.098361	0.034581
data ke	x	y	d	7	0.275304	0.1	0.044569
1	1	0	0.688392	8	0.348178	0.103279	0.02838
2	0.295547	0.039344	0.095512	9	0.392713	0.081967	0.075516
3	0.151822	1	0.886409	10	0.281377	0.098361	0.038612
4	0.200405	0.05082	0.147124	11	0.323887	0.093443	0.009255
5	0.265182	0.004918	0.138704	12	0.313765	0.096721	0.007894
6	0.214575	0.037705	0.143537	13	0.255061	0.093443	0.06531
7	0.277328	0.029508	0.111285				
8	0.303644	0.018033	0.114302				
9	0.269231	0.057377	0.091407				
10	0.263158	0.067213	0.087845				

Diperoleh nilai SSW untuk masing-masing klaster sebagai berikut:

$$SSW_0 = \frac{1}{3} \times 0,4884962 = 0,1628321$$

$$SSW_{10} = \frac{1}{10} \times 0,585212 = 0,058521$$

$$SSW_2 = \frac{1}{13} \times 0,524747 = 0,040365$$

$$SSW_3 = \frac{1}{10} \times 0,2,504517 = 0,250452$$

- c. Perhitungan nilai separasi (*sum of square between*).

Digunakan persamaan 6 sebagai berikut:

$$SSB_{i,j} = d(c_i, c_j)$$

Klaster C<sub>0</sub> dengan klaster C<sub>1</sub>,

$$SSB_{0,1} = d(c_0, c_1) = \sqrt{(0,67139 - 0,176923)^2 + (0,174863 - 0,11541)^2}$$

$$SSB_{0,1} = 0,498028$$

Klaster C<sub>0</sub> dengan klaster C<sub>2</sub>,

$$SSB_{0,2} = d(c_0, c_2) = \sqrt{(0,67139 - 0,319838)^2 + (0,174863 - 0,10176)^2}$$

$$SSB_{0,2} = 0,359071$$

Klaster C<sub>0</sub> dengan klaster C<sub>1</sub>,

$$SSB_{0,3} = d(c_0, c_3) = \sqrt{(0,67139 - 0,324089)^2 + (0,174863 - 0,13049)^2}$$

$$SSB_{0,3} = 0,350124$$

Klaster C<sub>1</sub> dengan klaster C<sub>2</sub>,

$$SSB_{1,2} = d(c_1, c_2) = \sqrt{(0,176923 - 0,319838)^2 + (0,11541 - 0,10176)^2}$$

$$SSB_{1,2} = 0,143565$$

Klaster C<sub>1</sub> dengan klaster C<sub>3</sub>,

$$SSB_{1,3} = d(c_1, c_3) = \sqrt{(0,176923 - 0,324089)^2 + (0,11541 - 0,13049)^2}$$

$$SSB_{1,3} = 0,147937$$

Klaster C<sub>2</sub> dengan klaster C<sub>3</sub>,

$$SSB_{2,3} = d(c_2, c_3) = \sqrt{(0,176923 - 0,324089)^2 + (0,10176 - 0,13049)^2}$$

$$SSB_{2,3} = 0,029039$$

- d. Perhitungan nilai rasio / perbandingan antar klaster dengan persamaan 7.

Diperoleh matriks R sebagai berikut:

Tabel 4.9 Matriks R

Matriks R	0	1	2	3
0	0	0.444459	0.565897	1.180393
1	0.444459	0	0.688793	2.088547
2	0.565897	0.688793	0	10.01463
3	1.180393	2.088547	10.01463	0

Dari matriks pada tabel 4.9 selanjutnya dicari nilai Rmax. Nilai Rmax merupakan penjumlahan nilai R terbesar pada masing-masing baris.

$$\text{Nilai Rmax} = 1,1804 + 2,0885 + 10,0146 + 10,0146$$

$$\text{Nilai Rmax} = 23,2981$$

- e. Perhitungan nilai Davies Bouldin Index dengan persamaan 8.

Nilai rasio yang diperoleh dari poin d diatas digunakan untuk menghitung nilai

DBI dengan rumus sebagai berikut:

$$DBI = \frac{1}{k} \sum_{i=1}^k \max_{i \neq j} (R_{i,j})$$

Jumlah klaster terbentuk sebanyak 4, sehingga diperoleh

$$DBI = \frac{1}{4} \times 23,2981 , DBI = 5,824$$

Serupa dengan perhitungan tersebut di atas, nilai DBI untuk masing-masing parameter tercantum pada tabel 4.10 berikut ini.

Tabel 4.10 Nilai DBI hasil klastering

No.	Parameter ke	Ukuran grid	Jumlah klaster	Nilai DBI
1.	1	2 x 1	2	15,269
2.	2	2 x 2	4	5,824
3.	3	2 x 3	6	6,460
4.	4	2 x 4	8	1,803
5.	5	3 x 3	9	2,280
6.	6	3 x 4	10	2,919
7.	7	4 x 4	14	5,582

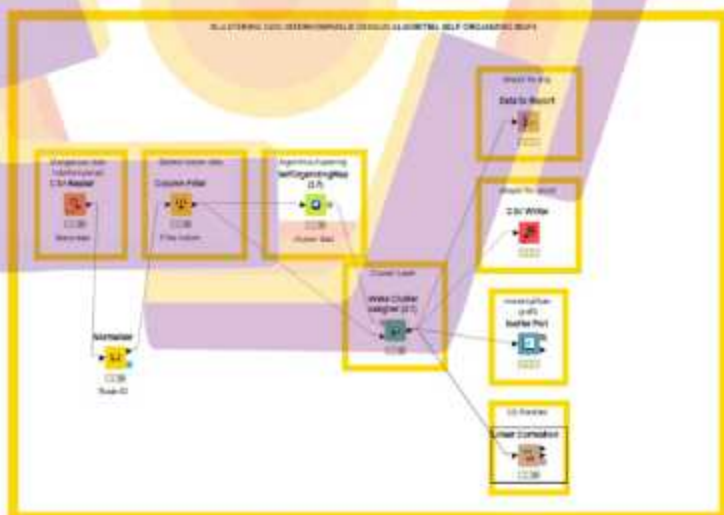


Gambar 4.6 Grafik nilai DBI

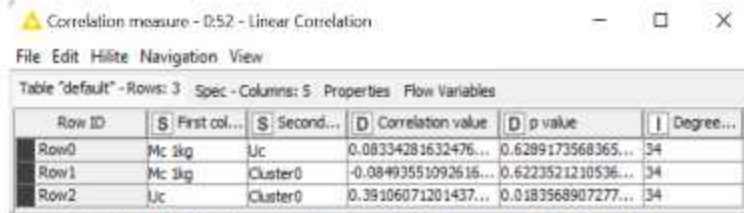
Dari nilai DBI pada tabel 4.10 dan grafik pada gambar 4.6 di atas, diperoleh nilai DBI terkecil pada parameter ke-4 sebesar 1,803. Parameter ke-4 adalah parameter clustering dengan pengaturan ukuran grid  $2 \times 4$ , jumlah epoch pada fase konvergen sebanyak 2000, dan jumlah epoch pada fase ordering sebanyak 6000. Jumlah klaster yang dihasilkan sebanyak 8 klaster. Nilai DBI terkecil merepresentasikan klaster terbaik dari sejumlah percobaan yang dilakukan dimana homogenitas anggota dalam satu klaster dan heterogenitas antar klaster tinggi.

#### 4.4. UJI Korelasi Pearson

Untuk mengetahui variabel mana yang paling berpengaruh dilakukan analisis korelasi sesuai persamaan 10. Pada penelitian ini, perhitungan nilai korelasi dilakukan dengan menggunakan hub *linear correlation* pada KNIME seperti pada gambar 4.7.



Gambar 4.7 Uji korelasi dengan platform KNIME



Gambar 4.8 Hasil pengujian korelasi Pearson pada cluster0

Dari gambar 4.7 dan 4.8 diperoleh nilai korelasi antara mc dengan uc sebesar 0.08334, nilai korelasi antara mc dengan cluster0 sebesar -0.08493, dan nilai korelasi antara uc dengan cluster0 sebesar 0.39106.

Dari persamaan 11 diperoleh nilai  $t_{hitung}$  untuk korelasi mc dengan uc sebesar:  $t_{hitung} = \frac{0.08334\sqrt{36-2}}{\sqrt{1-0.08334^2}} = 0.487648$ . Untuk  $t_{tabel}$  pada  $df = 34$  dan level signifikansi 5% sebesar 1.691. Terlihat bahwa  $t_{hitung} \leq t_{tabel}$ , nilai r tidak signifikan yang menandakan antara variabel mc dengan uc tidak memiliki hubungan. Serupa dengan perhitungan di atas, perhitungan lengkap disajikan dalam tabel 4.11 berikut.

Tabel 4.11 Analisis hasil pengujian korelasi pearson

No	klm1	klm2	Nilai r	$r^2$	Interpretasi	p value	t hitng	signifikansi
1	mc	uc	0.0833	0.006946	sangat rendah	0.62892	0.488	tidak signifikan
2	mc	cluster0	-0.084	0.007215	sangat rendah	0.62235	-0.496	tidak signifikan
3	mc	cluster1	-0.132	0.017432	sangat rendah	0.44274	-0.776	tidak signifikan
4	mc	cluster2	-0.380	0.144491	sangat rendah	0.0222	-2.396	signifikan negatif
5	mc	cluster3	-0.084	0.007145	sangat rendah	0.62404	-0.494	tidak signifikan
6	mc	cluster4	0.5816	0.338305	rendah	1.98781	4.169	signifikan positif
7	mc	cluster5	0.0865	0.007498	sangat rendah	0.61555	0.507	tidak signifikan
8	mc	cluster6	-0.169	0.028605	rendah	0.32409	-1.000	tidak signifikan

Tabel 4.11 Lanjutan

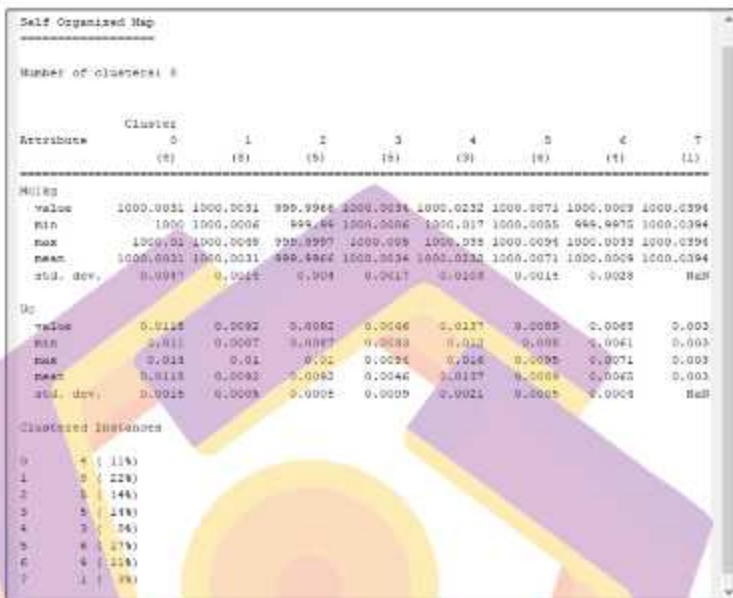
No	klm1	klm2	Nilai r	r^2	Interpretasi	p value	t hitng	signifikansi
9	mc	cluster7	0.6230	0.388229	rendah	4.93305	4.645	signifikan positif
10	uc	cluster0	0.3910	0.152928	sangat rendah	0.01835	2.478	signifikan positif
11	uc	cluster1	0.1022	0.010447	sangat rendah	0.55304	0.599	tidak signifikan
12	uc	cluster2	-0.0702	0.004935	sangat rendah	0.68391	0.411	tidak signifikan
13	uc	cluster3	-0.599	0.358921	rendah	1.13104	-4.362	signifikan negatif
14	uc	cluster4	0.5428	0.294719	rendah	6.23897	3.769	signifikan positif
15	uc	cluster5	0.0328	0.00108	sangat rendah	0.84912	0.192	tidak signifikan
16	uc	cluster6	-0.278	0.077429	sangat rendah	0.10032	-1.688	tidak signifikan
17	uc	cluster7	-0.348	0.121745	sangat rendah	0.03701	-2.170	signifikan negatif

Pada tabel 4.11 terlihat korelasi positif terbesar terjadi antara mc dengan cluster7 sebesar 0.623 dengan interpretasi rendah yang memiliki signifikansi positif ( $4.169 \geq 1.691$ ), dan korelasi positif terkecil terjadi antara uc dengan cluster5 sebesar 0.0328 dengan interpretasi sangat rendah yang tidak memiliki signifikansi ( $0.192 \leq 1.691$ ). Untuk korelasi negatif terbesar terjadi antara uc dengan cluster3 sebesar -0.599 dengan interpretasi rendah yang memiliki signifikansi negatif ( $4.362 \geq 1.691$ ), dan korelasi negatif terkecil terjadi antara mc dengan cluster0 sebesar -0.084 dengan interpretasi sangat rendah yang tidak memiliki signifikansi ( $0.496 \leq 1.691$ ).

#### 4.5. Analisa Data

Klaster terbaik berupa pengelompokan dengan parameter keempat selanjutnya dilakukan analisis dengan melihat statistika data pada hub KNIME

seperti gambar 4.9 dan gambar 4.10 berikut ini.



Gambar 4.9 Statistika data parameter ke 4

Row ID	D <sub>1</sub>	M <sub>1</sub> -R <sub>1</sub>	D <sub>2</sub>	M <sub>2</sub>	D <sub>3</sub>	M <sub>3</sub> -R <sub>3</sub>	D <sub>4</sub>	M <sub>4</sub> -R <sub>4</sub>	D <sub>5</sub>	M <sub>5</sub> -R <sub>5</sub>	D <sub>6</sub>	M <sub>6</sub> -R <sub>6</sub>	D <sub>7</sub>	M <sub>7</sub> -R <sub>7</sub>	D <sub>8</sub>	M <sub>8</sub> -R <sub>8</sub>	
A1	1000.00																1
A2	1000.012	0.012															2
A3	1000.005	0.011															3
A4	1000.000	0.009															4
A5	1000.018	0.007															5
A6	1000.004	0.01															6
A7	1000.016	0.011															7
A8	1000.000	0.009															8
A9	1000.000	0.004															9
A10	1000.007	0.002															10
A11	1000.000	0.001															11
A12	1000.001	0.001															12
A13	1000.000	0.004															13
A14	1000.000	0.004															14
A15	1000	0.014															15
A16	1000	0.009															16
A17	1000.000	0.005															17
A18	1000	0.009															18
A19	1000.000	0.006															19
A20	1000.000	0.000															20
A21	1000.000	0.004															21
A22	1000.000	0.011															22
A23	1000.000	0.01															23
A24	1000.000	0.002															24
A25	1000.000	0.005															25
A26	1000.000	0.004															26
A27	1000.000	0.005															27
A28	1000.000	0.004															28
A29	1000.000	0.004															29
A30	1000.000	0.004															30
A31	1000.000	0.005															31
A32	1000	0.000															32
A33	1000.000	0.004															33
A34	1000.000	0.006															34
A35	1000.000	0.004															35
A36	1000.000	0.004															36
A37	1000.000	0.004															37
A38	1000.000	0.004															38
A39	1000.000	0.004															39
A40	1000.000	0.012															40
A41	1000.000	0.007															41

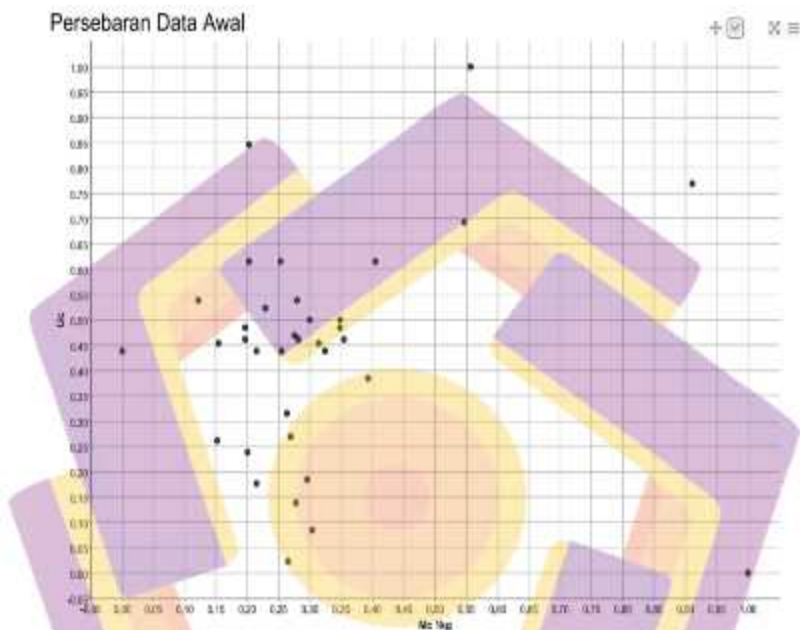
Gambar 4.10 Hasil klaster parameter ke 4

Data interkomparasi dengan nilai massa konvensional dan nilai ketidakpastian pada gambar 4.9 dan 4.10 terbagi menjadi 8 kelompok sesuai dengan kedekatan nilai massa konvensional dan nilai ketidakpastiannya.

- Klaster 2 yang beranggotakan 5 laboratorium (14%) memiliki nilai massa konvensional rata-rata di 999,9966 g.
- Klaster 0 yang beranggotakan 4 laboratorium (11%) dan klaster 1 yang beranggotakan 8 laboratorium (22%) memiliki nilai rata-rata massa konvensional yang sama (1000,031 g), namun berbeda pada nilai rerata ketidakpastiannya ( $U_c = 0,012$  dengan  $U_c = 0,0092$ ). Rerata yang sama pada nilai massa konvensional ini menunjukkan kedekatan jarak antara klaster 0 dan klaster 1 yang dibuktikan dengan nilai SSB paling kecil diantara klaster lainnya ( $SSB = 0,0414$ ). Nilai rerata ketidakpastian pada klaster 1 ( $U_c=0,0092$ ) memiliki nilai yang lebih kecil dibandingkan pada nilai rerata ketidakpastian pada klaster 0 ( $U_c=0,012$ ).
- Klaster 4 ini memiliki nilai ketidakpastian ( $U_c = 0,01$ ) yang lebih besar dibanding klaster lainnya. Anggota klaster 4 terdiri dari laboratorium dengan kode A2, A7 dan B16 memiliki nilai rata-rata massa konvensional sebesar 1000,0232 g.
- Anggota klaster 7 memiliki nilai massa konvensional terbesar (1000,039 g) dibandingkan dengan anggota dari klaster lainnya, namun memiliki nilai ketidakpastian yang berdekatan dengan anggota klaster 5.

Pola yang terbentuk dari hasil klustering menunjukkan bahwa pengelompokan laboratorium ditentukan dari fitur x, baru kemudian oleh fitur y.

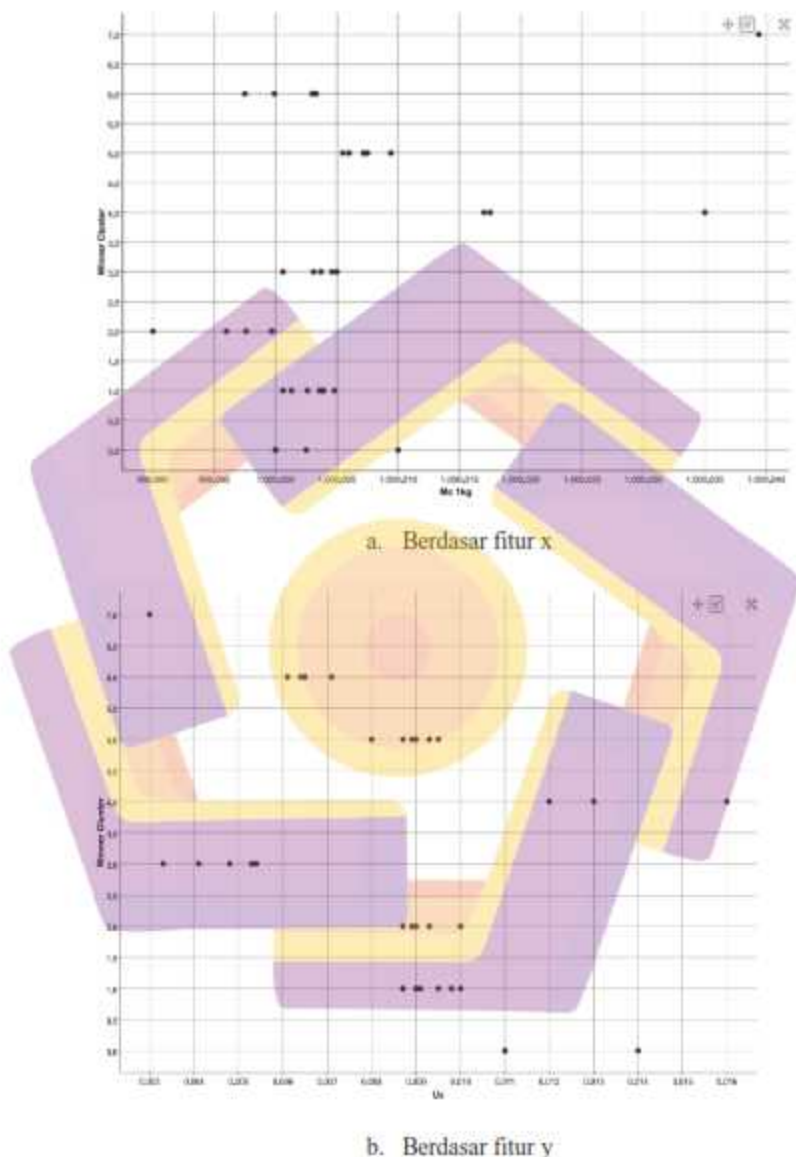
Laboratorium yang memiliki kesamaan pada fitur x dan fitur y mengelompok bersama dan jika terjadi perbedaan pada salah satu fitur maka akan memisahkan diri.



Gambar 4.11 Persebaran data awal

Persebaran awal data interkomparasi seperti terlihat pada gambar 4.11 memperlihatkan posisi awal data dimana terdapat 1 data interkomparasi dengan massa konvensional yang terpisah cukup jauh dari lainnya dan 3 data interkomparasi dengan nilai ketidakpastian yang terpisah cukup jauh dari data lainnya.

Sebaran data awal tersebut setelah dilakukan klastering dengan algoritma menghasilkan sebaran data berdasarkan 2 (dua) fitur awal yang digunakan yaitu fitur x berupa  $Mc$  dan fitur y berupa  $Uc$  seperti terlihat pada gambar 4.12 berikut.



Gambar 4.12 Persebaran data hasil klastering

Pada gambar 4.12 di atas fitur x dengan nilai rata-rata 1000,005 memiliki sebaran data mayoritas dibawah rata-rata. Pada fitur y dengan nilai rata-rata 0,010 juga memiliki sebaran data mayoritas dibawah nilai rata-ratanya. Mengacu data statistik pada gambar 4.9, diduga variabel yang paling berpengaruh berdasarkan hasil klastering adalah pada variabe nilai ketidakpastian atau fitur y.

Untuk mengetahui permasalahan yang mungkin muncul dalam kegiatan interkomparasi dapat dilihat pada sumber ketidakpastian yang terdiri dari:

- Ketidakpastian repeatability timbangan ( $U_r$ );
- Ketidakpastian akibat daya baca / resolusi timbangan ( $U_d$ );
- Ketidakpastian anak timbangan standar yang digunakan ( $U_{std}$ );
- Ketidakpastian *drift* atau pergeseran nilai dari anak timbangan standar ( $U_{drift}$ );
- Ketidakpastian akibat *bouyancy* udara ( $U_b$ ).

No.	D<sub>1</sub>	D<sub>2</sub>	D<sub>3</sub>	D<sub>4</sub>	D<sub>5</sub>	D<sub>6</sub>	D<sub>7</sub>	D<sub>8</sub>	D<sub>9</sub>	D<sub>10</sub>	D<sub>11</sub>	D<sub>12</sub>	D<sub>13</sub>	D<sub>14</sub>	D<sub>15</sub>	D<sub>16</sub>	D<sub>17</sub>	D<sub>18</sub>	D<sub>19</sub>	D<sub>20</sub>	D<sub>21</sub>	D<sub>22</sub>	D<sub>23</sub>	D<sub>24</sub>	D<sub>25</sub>	D<sub>26</sub>	D<sub>27</sub>	D<sub>28</sub>	D<sub>29</sub>	D<sub>30</sub>	D<sub>31</sub>	D<sub>32</sub>	D<sub>33</sub>	D<sub>34</sub>	D<sub>35</sub>	D<sub>36</sub>	D<sub>37</sub>	D<sub>38</sub>	D<sub>39</sub>	D<sub>40</sub>	D<sub>41</sub>	D<sub>42</sub>	D<sub>43</sub>	D<sub>44</sub>	D<sub>45</sub>	D<sub>46</sub>	D<sub>47</sub>	D<sub>48</sub>	D<sub>49</sub>	D<sub>50</sub>	D<sub>51</sub>	D<sub>52</sub>	D<sub>53</sub>	D<sub>54</sub>	D<sub>55</sub>	D<sub>56</sub>	D<sub>57</sub>	D<sub>58</sub>	D<sub>59</sub>	D<sub>60</sub>	D<sub>61</sub>	D<sub>62</sub>	D<sub>63</sub>	D<sub>64</sub>	D<sub>65</sub>	D<sub>66</sub>	D<sub>67</sub>	D<sub>68</sub>	D<sub>69</sub>	D<sub>70</sub>	D<sub>71</sub>	D<sub>72</sub>	D<sub>73</sub>	D<sub>74</sub>	D<sub>75</sub>	D<sub>76</sub>	D<sub>77</sub>	D<sub>78</sub>	D<sub>79</sub>	D<sub>80</sub>	D<sub>81</sub>	D<sub>82</sub>	D<sub>83</sub>	D<sub>84</sub>	D<sub>85</sub>	D<sub>86</sub>	D<sub>87</sub>	D<sub>88</sub>	D<sub>89</sub>	D<sub>90</sub>	D<sub>91</sub>	D<sub>92</sub>	D<sub>93</sub>	D<sub>94</sub>	D<sub>95</sub>	D<sub>96</sub>	D<sub>97</sub>	D<sub>98</sub>	D<sub>99</sub>	D<sub>100</sub>	D<sub>101</sub>	D<sub>102</sub>	D<sub>103</sub>	D<sub>104</sub>	D<sub>105</sub>	D<sub>106</sub>	D<sub>107</sub>	D<sub>108</sub>	D<sub>109</sub>	D<sub>110</sub>	D<sub>111</sub>	D<sub>112</sub>	D<sub>113</sub>	D<sub>114</sub>	D<sub>115</sub>	D<sub>116</sub>	D<sub>117</sub>	D<sub>118</sub>	D<sub>119</sub>	D<sub>120</sub>	D<sub>121</sub>	D<sub>122</sub>	D<sub>123</sub>	D<sub>124</sub>	D<sub>125</sub>	D<sub>126</sub>	D<sub>127</sub>	D<sub>128</sub>	D<sub>129</sub>	D<sub>130</sub>	D<sub>131</sub>	D<sub>132</sub>	D<sub>133</sub>	D<sub>134</sub>	D<sub>135</sub>	D<sub>136</sub>	D<sub>137</sub>	D<sub>138</sub>	D<sub>139</sub>	D<sub>140</sub>	D<sub>141</sub>	D<sub>142</sub>	D<sub>143</sub>	D<sub>144</sub>	D<sub>145</sub>	D<sub>146</sub>	D<sub>147</sub>	D<sub>148</sub>	D<sub>149</sub>	D<sub>150</sub>	D<sub>151</sub>	D<sub>152</sub>	D<sub>153</sub>	D<sub>154</sub>	D<sub>155</sub>	D<sub>156</sub>	D<sub>157</sub>	D<sub>158</sub>	D<sub>159</sub>	D<sub>160</sub>	D<sub>161</sub>	D<sub>162</sub>	D<sub>163</sub>	D<sub>164</sub>	D<sub>165</sub>	D<sub>166</sub>	D<sub>167</sub>	D<sub>168</sub>	D<sub>169</sub>	D<sub>170</sub>	D<sub>171</sub>	D<sub>172</sub>	D<sub>173</sub>	D<sub>174</sub>	D<sub>175</sub>	D<sub>176</sub>	D<sub>177</sub>	D<sub>178</sub>	D<sub>179</sub>	D<sub>180</sub>	D<sub>181</sub>	D<sub>182</sub>	D<sub>183</sub>	D<sub>184</sub>	D<sub>185</sub>	D<sub>186</sub>	D<sub>187</sub>	D<sub>188</sub>	D<sub>189</sub>	D<sub>190</sub>	D<sub>191</sub>	D<sub>192</sub>	D<sub>193</sub>	D<sub>194</sub>	D<sub>195</sub>	D<sub>196</sub>	D<sub>197</sub>	D<sub>198</sub>	D<sub>199</sub>	D<sub>200</sub>	D<sub>201</sub>	D<sub>202</sub>	D<sub>203</sub>	D<sub>204</sub>	D<sub>205</sub>	D<sub>206</sub>	D<sub>207</sub>	D<sub>208</sub>	D<sub>209</sub>	D<sub>210</sub>	D<sub>211</sub>	D<sub>212</sub>	D<sub>213</sub>	D<sub>214</sub>	D<sub>215</sub>	D<sub>216</sub>	D<sub>217</sub>	D<sub>218</sub>	D<sub>219</sub>	D<sub>220</sub>	D<sub>221</sub>	D<sub>222</sub>	D<sub>223</sub>	D<sub>224</sub>	D<sub>225</sub>	D<sub>226</sub>	D<sub>227</sub>	D<sub>228</sub>	D<sub>229</sub>	D<sub>230</sub>	D<sub>231</sub>	D<sub>232</sub>	D<sub>233</sub>	D<sub>234</sub>	D<sub>235</sub>	D<sub>236</sub>	D<sub>237</sub>	D<sub>238</sub>	D<sub>239</sub>	D<sub>240</sub>	D<sub>241</sub>	D<sub>242</sub>	D<sub>243</sub>	D<sub>244</sub>	D<sub>245</sub>	D<sub>246</sub>	D<sub>247</sub>	D<sub>248</sub>	D<sub>249</sub>	D<sub>250</sub>	D<sub>251</sub>	D<sub>252</sub>	D<sub>253</sub>	D<sub>254</sub>	D<sub>255</sub>	D<sub>256</sub>	D<sub>257</sub>	D<sub>258</sub>	D<sub>259</sub>	D<sub>260</sub>	D<sub>261</sub>	D<sub>262</sub>	D<sub>263</sub>	D<sub>264</sub>	D<sub>265</sub>	D<sub>266</sub>	D<sub>267</sub>	D<sub>268</sub>	D<sub>269</sub>	D<sub>270</sub>	D<sub>271</sub>	D<sub>272</sub>	D<sub>273</sub>	D<sub>274</sub>	D<sub>275</sub>	D<sub>276</sub>	D<sub>277</sub>	D<sub>278</sub>	D<sub>279</sub>	D<sub>280</sub>	D<sub>281</sub>	D<sub>282</sub>	D<sub>283</sub>	D<sub>284</sub>	D<sub>285</sub>	D<sub>286</sub>	D<sub>287</sub>	D<sub>288</sub>	D<sub>289</sub>	D<sub>290</sub>	D<sub>291</sub>	D<sub>292</sub>	D<sub>293</sub>	D<sub>294</sub>	D<sub>295</sub>	D<sub>296</sub>	D<sub>297</sub>	D<sub>298</sub>	D<sub>299</sub>	D<sub>300</sub>	D<sub>301</sub>	D<sub>302</sub>	D<sub>303</sub>	D<sub>304</sub>	D<sub>305</sub>	D<sub>306</sub>	D<sub>307</sub>	D<sub>308</sub>	D<sub>309</sub>	D<sub>310</sub>	D<sub>311</sub>	D<sub>312</sub>	D<sub>313</sub>	D<sub>314</sub>	D<sub>315</sub>	D<sub>316</sub>	D<sub>317</sub>	D<sub>318</sub>	D<sub>319</sub>	D<sub>320</sub>	D<sub>321</sub>	D<sub>322</sub>	D<sub>323</sub>	D<sub>324</sub>	D<sub>325</sub>	D<sub>326</sub>	D<sub>327</sub>	D<sub>328</sub>	D<sub>329</sub>	D<sub>330</sub>	D<sub>331</sub>	D<sub>332</sub>	D<sub>333</sub>	D<sub>334</sub>	D<sub>335</sub>	D<sub>336</sub>	D<sub>337</sub>	D<sub>338</sub>	D<sub>339</sub>	D<sub>340</sub>	D<sub>341</sub>	D<sub>342</sub>	D<sub>343</sub>	D<sub>344</sub>	D<sub>345</sub>	D<sub>346</sub>	D<sub>347</sub>	D<sub>348</sub>	D<sub>349</sub>	D<sub>350</sub>	D<sub>351</sub>	D<sub>352</sub>	D<sub>353</sub>	D<sub>354</sub>	D<sub>355</sub>	D<sub>356</sub>	D<sub>357</sub>	D<sub>358</sub>	D<sub>359</sub>	D<sub>360</sub>	D<sub>361</sub>	D<sub>362</sub>	D<sub>363</sub>	D<sub>364</sub>	D<sub>365</sub>	D<sub>366</sub>	D<sub>367</sub>	D<sub>368</sub>	D<sub>369</sub>	D<sub>370</sub>	D<sub>371</sub>	D<sub>372</sub>	D<sub>373</sub>	D<sub>374</sub>	D<sub>375</sub>	D<sub>376</sub>	D<sub>377</sub>	D<sub>378</sub>	D<sub>379</sub>	D<sub>380</sub>	D<sub>381</sub>	D<sub>382</sub>	D<sub>383</sub>	D<sub>384</sub>	D<sub>385</sub>	D<sub>386</sub>	D<sub>387</sub>	D<sub>388</sub>	D<sub>389</sub>	D<sub>390</sub>	D<sub>391</sub>	D<sub>392</sub>	D<sub>393</sub>	D<sub>394</sub>	D<sub>395</sub>	D<sub>396</sub>	D<sub>397</sub>	D<sub>398</sub>	D<sub>399</sub>	D<sub>400</sub>	D<sub>401</sub>	D<sub>402</sub>	D<sub>403</sub>	D<sub>404</sub>	D<sub>405</sub>	D<sub>406</sub>	D<sub>407</sub>	D<sub>408</sub>	D<sub>409</sub>	D<sub>410</sub>	D<sub>411</sub>	D<sub>412</sub>	D<sub>413</sub>	D<sub>414</sub>	D<sub>415</sub>	D<sub>416</sub>	D<sub>417</sub>	D<sub>418</sub>	D<sub>419</sub>	D<sub>420</sub>	D<sub>421</sub>	D<sub>422</sub>	D<sub>423</sub>	D<sub>424</sub>	D<sub>425</sub>	D<sub>426</sub>	D<sub>427</sub>	D<sub>428</sub>	D<sub>429</sub>	D<sub>430</sub>	D<sub>431</sub>	D<sub>432</sub>	D<sub>433</sub>	D<sub>434</sub>	D<sub>435</sub>	D<sub>436</sub>	D<sub>437</sub>	D<sub>438</sub>	D<sub>439</sub>	D<sub>440</sub>	D<sub>441</sub>	D<sub>442</sub>	D<sub>443</sub>	D<sub>444</sub>	D<sub>445</sub>	D<sub>446</sub>	D<sub>447</sub>	D<sub>448</sub>	D<sub>449</sub>	D<sub>450</sub>	D<sub>451</sub>	D<sub>452</sub>	D<sub>453</sub>	D<sub>454</sub>	D<sub>455</sub>	D<sub>456</sub>	D<sub>457</sub>	D<sub>458</sub>	D<sub>459</sub>	D<sub>460</sub>	D<sub>461</sub>	D<sub>462</sub>	D<sub>463</sub>	D<sub>464</sub>	D<sub>465</sub>	D<sub>466</sub>	D<sub>467</sub>	D<sub>468</sub>	D<sub>469</sub>	D<sub>470</sub>	D<sub>471</sub>	D<sub>472</sub>	D<sub>473</sub>	D<sub>474</sub>	D<sub>475</sub>	D<sub>476</sub>	D<sub>477</sub>	D<sub>478</sub>	D<sub>479</sub>	D<sub>480</sub>	D<sub>481</sub>	D<sub>482</sub>	D<sub>483</sub>	D<sub>484</sub>	D<sub>485</sub>	D<sub>486</sub>	D<sub>487</sub>	D<sub>488</sub>	D<sub>489</sub>	D<sub>490</sub>	D<sub>491</sub>	D<sub>492</sub>	D<sub>493</sub>	D<sub>494</sub>	D<sub>495</sub>	D<sub>496</sub>	D<sub>497</sub>	D<sub>498</sub>	D<sub>499</sub>	D<sub>500</sub>	D<sub>501</sub>	D<sub>502</sub>	D<sub>503</sub>	D<sub>504</sub>	D<sub>505</sub>	D<sub>506</sub>	D<sub>507</sub>	D<sub>508</sub>	D<sub>509</sub>	D<sub>510</sub>	D<sub>511</sub>	D<sub>512</sub>	D<sub>513</sub>	D<sub>514</sub>	D<sub>515</sub>	D<sub>516</sub>	D<sub>517</sub>	D<sub>518</sub>	D<sub>519</sub>	D<sub>520</sub>	D<sub>521</sub>	D<sub>522</sub>	D<sub>523</sub>	D<sub>524</sub>	D<sub>525</sub>	D<sub>526</sub>	D<sub>527</sub>	D<sub>528</sub>	D<sub>529</sub>	D<sub>530</sub>	D<sub>531</sub>	D<sub>532</sub>	D<sub>533</sub>	D<sub>534</sub>	D<sub>535</sub>	D<sub>536</sub>	D<sub>537</sub>	D<sub>538</sub>	D<sub>539</sub>	D<sub>540</sub>	D<sub>541</sub>	D<sub>542</sub>	D<sub>543</sub>	D<sub>544</sub>	D<sub>545</sub>	D<sub>546</sub>	D<sub>547</sub>	D<sub>548</sub>	D<sub>549</sub>	D<sub>550</sub>	D<sub>551</sub>	D<sub>552</sub>	D<sub>553</sub>	D<sub>554</sub>	D<sub>555</sub>	D<sub>556</sub>	D<sub>557</sub>	D<sub>558</sub>	D<sub>559</sub>	D<sub>560</sub>	D<sub>561</sub>	D<sub>562</sub>	D<sub>563</sub>	D<sub>564</sub>	D<sub>565</sub>	D<sub>566</sub>	D<sub>567</sub>	D<sub>568</sub>	D<sub>569</sub>	D<sub>570</sub>	D<sub>571</sub>	D<sub>572</sub>	D<sub>573</sub>	D<sub>574</sub>	D<sub>575</sub>	D<sub>576</sub>	D<sub>577</sub>	D<sub>578</sub>	D<sub>579</sub>	D<sub>580</sub>	D<sub>581</sub>	D<sub>582</sub>	D<sub>583</sub>	D<sub>584</sub>	D<sub>585</sub>	D<sub>586</sub>	D<sub>587</sub>	D<sub>588</sub>	D<sub>589</sub>	D<sub>590</sub>	D<sub>591</sub>	D<sub>592</sub>	D<sub>593</sub>	D<sub>594</sub>	D<sub>595</sub>	D<sub>596</sub>	D<sub>597</sub>	D<sub>598</sub>	D<sub>599</sub>	D<sub>600</sub>	D<sub>601</sub>	D<sub>602</sub>	D<sub>603</sub>	D<sub>604</sub>	D<sub>605</sub>	D<sub>606</sub>	D<sub>607</sub>	D<sub>608</sub>	D<sub>609</sub>	D<sub>610</sub>	D<sub>611</sub>	D<sub>612</sub>	D<sub>613</sub>	D<sub>614</sub>	D<sub>615</sub>	D<sub>616</sub>	D<sub>617</sub>	D<sub>618</sub>	D<sub>619</sub>	D<sub>620</sub>	D<sub>621</sub>	D<sub>622</sub>	D<sub>623</sub>	D<sub>624</sub>	D<sub>625</sub>	D<sub>626</sub>	D<sub>627</sub>	D<sub>628</sub>	D<sub>629</sub>	D<sub>630</sub>	D<sub>631</sub>	D<sub>632</sub>	D<sub>633</sub>	D<sub>634</sub>	D<sub>635</sub>	D<sub>636</sub>	D<sub>637</sub>	D<sub>638</sub>	D<sub>639</sub>	D<sub>640</sub>	D<sub>641</sub>	D<sub>642</sub>	D<sub>643</sub>	D<sub>644</sub>	D<sub>645</sub>	D<sub>646</sub>	D<sub>647</sub>	D<sub>648</sub>	D<sub>649</sub>	D<sub>650</sub>	D<sub>651</sub>	D<sub>652</sub>	D<sub>653</sub>	D<sub>654</sub>	D<sub>655</sub>	D<sub>656</sub>	D<sub>657</sub>	D<sub>658</sub>	D<sub>659</sub>	D<sub>660</sub>	D<sub>661</sub>	D<sub>662</sub>	D<sub>663</sub>	D<sub>664</sub>	D<sub>665</sub>	D<sub>666</sub>	D<sub>667</sub>	D<sub>668</sub>	D<sub>669</sub>	D<sub>670</sub>	D<sub>671</sub>	D<sub>672</sub>	D<sub>673</sub>	D<sub>674</sub>	D<sub>675</sub>	D<sub>676</sub>	D<sub>677</sub>	D<sub>678</sub>	D<sub>679</sub>	D<sub>680</sub>	D<sub>681</sub>	D<sub>682</sub>	D<sub>683</sub>	D<sub>684</sub>	D<sub>685</sub>	D<sub>686</sub>	D<sub>687</sub>	D<sub>688</sub>	D<sub>689</sub>	D<sub>690</sub>	D<sub>691</sub>	D<sub>692</sub>	D<sub>693</sub>	D<sub>694</sub>	D<sub>695</sub>	D<sub>696</sub>	D<sub>697</sub>	D<sub>698</sub>	D<sub>699</sub>	D<sub>700</sub>	D<sub>701</sub>	D<sub>702</sub>	D<sub>703</sub>	D<sub>704</sub>	D<sub>705</sub>	D<sub>706</sub>	D<sub>707</sub>	D<sub>708</sub>	D<sub>709</sub>	D<sub>710</sub>	D<sub>711</sub>	D<sub>712</sub>	D<sub>713</sub>	D<sub>714</sub>	D<sub>715</sub>	D<sub>716</sub>	D<sub>717</sub>	D<sub>718</sub>	D<sub>719</sub>	D<sub>720</sub>	D<sub>721</sub>	D<sub>722</sub>	D<sub>723</sub>	D<sub>724</sub>	D<sub>725</sub>	D<sub>726</sub>	D<sub>727</sub>	D<sub>728</sub>	D<sub>729</sub>	D<sub>730</sub>	D<sub>731</sub>	D<sub>732</sub>	D<sub>733</sub>	D<sub>734</sub>	D<sub>735</sub>	D<sub>736</sub>	D<sub>737</sub>	D<sub>738</sub>	D<sub>739</sub>	D<sub>740</sub>	D<sub>741</sub>	D<sub>742</sub>	D<sub>743</sub>	D<sub>744</sub>	D<sub>745</sub>	D<sub>746</sub>	D<sub>747</sub>	D<sub>748</sub>	D<sub>749</sub>	D<sub>750</sub>	D<sub>751</sub>	D<sub>752</sub>	D<sub>753</sub>	D<sub>754</sub>	D<sub>755</sub>	D<sub>756</sub>	D<sub>757</sub>	D<sub>758</sub>	D<sub>759</sub>	D<sub>760</sub>	D<sub>761</sub>	D<sub>762</sub>	D<sub>763</sub>	D<sub>764</sub>	D<sub>765</sub>	D<sub>766</sub>	D<sub>767</sub>	D<sub>768</sub>	D<sub>769</sub>	D<sub>770</sub>	D<sub>771</sub>	D<sub>772</sub>	D<sub>773</sub>	D<sub>774</sub>	D<sub>775</sub>	D<sub>776</sub>	D<sub>777</sub>	D<sub>778</sub>	D<sub>779</sub>	D<sub>780</sub>	D<sub>781</sub>	D<sub>782</sub>	D<sub>783</sub>	D<sub>784</sub>	D<sub>785</sub>	D<sub>786</sub>	D<sub>787</sub>	D<sub>788</sub>	D<sub>789</sub>	D<sub>790</sub>	D<sub>791</sub>	D<sub>792</sub>	D<sub>793</sub>	D<sub>794</sub>	D<sub>795</sub>	D<sub>796</sub>	D<sub>797</sub>	D<sub>798</sub>	D<sub>799</sub>	D<sub>800</sub>	D<sub>801</sub>	D<sub>802</sub>	D<sub>803</sub>	D<sub>804</sub>	D<sub>805</sub>	D<sub>806</sub>	D<sub>807</sub>	D<sub>808</sub>	D<sub>809</sub>	D<sub>810</sub>	D<sub>811</sub>	D<sub>812</sub>	D<sub>813</sub>	D<sub>814</sub>	D<sub>815</sub>	D<sub>816</sub>	D<sub>817</sub>	D<sub>818</sub>	D<sub>819</sub>	D<sub>820</sub>	D<sub>821</sub>	D<sub>822</sub>	D<sub>823</sub>	D<sub>824</sub>	D<sub>825</sub>	D<sub>826</sub>	D<sub>827</sub>	D<sub>828</sub>	D<sub>829</sub>	D<sub>830</sub>	D<sub>831</sub>	D<sub>832</sub>	D<sub>833</sub>	D<sub>834</sub>	D<sub>835</sub>	D<sub>836</sub>	D<sub>837</sub>	D<sub>838</sub>	D<sub>839</sub>	D<sub>840</sub>	D<sub>841</sub>	D<sub>842</sub>	D<sub>843</sub>	D<sub>844</sub>	D<sub>845</sub>	D<sub>846</sub>	D<sub>847</sub>	D<sub>848</sub>	D<sub>849</sub>	D<sub>850</sub>	D<sub>851</sub>	D<sub>852</sub>	D<sub>853</sub>	D<sub>854</sub>	D<sub>855</sub>	D<sub>856</sub>	D<sub>857</sub>	D<sub>858</sub>	D<sub>859</sub>	D<sub>860</sub>	D<sub>861</sub>	D<sub>862</sub>	D<sub>863</sub>	D<sub>864</sub>	D<sub>865</sub>	D<sub>866</sub>	D<sub>867</sub>	D<sub>868</sub>	D<sub>869</sub>	D<sub>870</sub>	D<sub>871</sub>	D<sub>872</sub>	D<sub>873</sub>	D<sub>874</sub>	D<sub>875</sub>	D<sub>876</sub>	D<sub>877</sub>	D<sub>878</sub>	D<sub>879</sub>	D<sub>880</sub>	D<sub>881</sub>	D<sub>882</sub>	D<sub>883</sub>	D<sub>884</sub>	D<sub>885</sub>	D<sub>886</sub>	D<sub>887</sub>	D<sub>888</sub>	D<sub>889</sub>	D<sub>890</sub>	D<sub>891</sub>	D<sub>892</sub>	D<sub>893</sub>	D<sub>894</sub>	D<sub>895</sub>	D<sub>896</sub>	D<sub>897</sub>	D<sub>898</sub>	D<sub>899</sub>	D<sub>900</sub>	D<sub>901</sub>	D<sub>902</sub>	D<sub>903</sub>	D<sub>904</sub>	D<sub>905</sub>	D<sub>906</sub>	D<sub>907</sub>	D<sub>908</sub>	D<sub>909</sub>	D<sub>910</sub>	D<sub>911</sub>	D<sub>912</sub>	D<sub>913</sub>	D<sub>914</sub>	D<sub>915</sub>	D<sub>916</sub>	D<sub>917</sub>	D<sub>918</sub>	D<sub>919</sub>	D<sub>920</sub>	D<sub>921</sub>	D<sub>922</sub>	D<sub>923</sub</sub>

Klastering dilakukan dengan menggunakan parameter ke-4 disesuaikan dengan parameter yang digunakan pada klastering data interkomparasi. Hasil pengelompokan data sumber ketidakpastian ditampilkan pada gambar 4.14. Dari gambar 4.11 terdapat 8 kelompok dimana salah satu kelompok memiliki anggota terbanyak yaitu 14 anggota kelompok (38,89%) pada klaster ke-0.

	(1)	(2)	(3)	(4)	(5)	(6)	(7)	(8)	(9)
Ur									
value	0.0011	0	0.0018	0.0017	0.0047	0.0025	0.0041	0.0004	
min	0	0	NaN	0.0002	0.0019	0.0019	0.0042	0.0002	
max	0.0019	0	NaN	0.0002	0.0063	0.0041	0.0041	0.0006	
mean	0.0011	0	NaN	0.0017	0.0067	0.0029	0.0041	0.0004	
std. dev.	0.0007	NaN	NaN	0.0012	0.0024	0.0006	NaN	0.0002	
Urd									
value	0.0011	0.0041	0.0018	0.0005	0.0011	0.0041	0.0023	0.0003	
min	0.0004	0.0041	NaN	0.0004	0.0041	0.0041	0.0023	0	
max	0.0041	0.0041	NaN	0.0004	0.0041	0.0041	0.0023	0.0004	
mean	0.0004	0.0041	NaN	0.0004	0.0041	0.0041	0.0023	0.0003	
std. dev.	0	NaN	NaN	0	0	0	NaN	0.0003	
Urdn									
value	0.0008	0.0018	0.0002	0.0011	0.0007	0.0016	0.0101	0.0031	
min	0.0005	0.0018	NaN	0.0002	0.0005	0.0001	0.0101	0.0006	
max	0.0014	0.0018	NaN	0.0017	0.0008	0.0011	0.0101	0.0008	
mean	0.0008	0.0018	NaN	0.0011	0.0006	0.0017	0.0101	0.0031	
std. dev.	0.0002	NaN	NaN	0.0004	0.0001	0.001	NaN	0.0028	
Udrif									
value	0.0006	0.0023	0.0011	0.0016	0.0005	0.0008	0	0.0007	
min	0.0001	0.0023	NaN	0.0007	0.0003	0.0007	0	0.0007	
max	0.0009	0.0023	NaN	0.0028	0.0007	0.0017	0	0.0007	
mean	0.0006	0.0023	NaN	0.0016	0.0005	0.0009	0	0.0007	
std. dev.	0.0002	NaN	NaN	0.0005	0.0003	0.0004	NaN	0	
Ud									
value	0.001	0.0001	0.0018	0.0009	0.0235	0.0011	0.0011	0.0011	
min	0.0001	0.0001	NaN	0.0002	0.0001	0.0011	0.0011	0.001	
max	0.0011	0.0001	NaN	0.0012	0.0893	0.0011	0.0011	0.0011	
mean	0.0001	0.0001	NaN	0.0009	0.0335	0.0011	0.0011	0.0011	

Gambar 4.14 Statistika Hasil Klastering Sumber Ketidakpastian P4

Berdasarkan data pada gambar 4.14 terdapat 7 klaster dari total 8 jumlah output yang tersedia dengan keterangan sebagai berikut:

- Anggota klaster ke-0 memiliki nilai rata-rata ketidakpastian akibat repeatability ( $U_r$ ) sebesar 0,0011, nilai rata-rata ketidakpastian akibat anak timbangan standar ( $U_{std}$ ) sebesar 0,0008 dan nilai rata-rata ketidakpastian akibat drift anak

timbangan standar ( $U_{drif}$ ) sebesar 0,0006. Untuk ketidakpastian akibat bouyancy dan ketidakpastian akibat daya baca timbangan memiliki nilai yang sama dengan klaster lainnya

- b. Klaster ke-1 memiliki ciri khusus pada nilai ketidakpastian yang bersumber dari repeatabilitynya dengan nilai 0.
- c. Klaster ke-3 memiliki ciri khusus pada rata-rata nilai ketidakpastian akibat repeatability yang bernilai 0,0017, rata-rata nilai ketidakpastian akibat daya baca timbangan sebesar 0,0004, , nilai rata-rata ketidakpastian akibat anak timbangan standar ( $U_{sat}$ ) sebesar 0,0006 dan nilai rata-rata ketidakpastian akibat drift anak timbangan standar ( $U_{drif}$ ) sebesar 0,0005.
- d. Serupa dengan poin 1 sampai dengan 3 di atas, klaster ke-4, klaster ke-5, klaster ke-6 dan klaster ke-7 memiliki rata-rata nilai ketidakpastian yang berbeda pada sumber ketidakpastian akibat repeatability, anak timbangan standar, dan drift anak timbangan standar. Untuk sumber ketidakpastian akibat daya baca timbangan dan nilai bouyancy relatif sama.

Dari keterangan di atas dan berdasarkan data pada gambar 4.9 dan gambar 4.14, secara umum ada tiga sumber masalah yang berpengaruh pada kegiatan interkomparasi. Pertama pada kondisi peralatan /timbangan elektronik yang digunakan untuk membaca hasil penimbangan, kedua pada kondisi anak timbangan standar yang digunakan dan ketiga pada proses pengujian.

Dari penelitian yang telah dilakukan didapatkan beberapa pengetahuan yang berhubungan dengan klustering diantaranya:

- a. Penentuan parameter klustering dengan algoritma SOM dipengaruhi oleh:

1. Berdasarkan hasil percobaan klastering seperti pada tabel 4.5 dan tabel 4.6, penentuan parameter ukuran grid dipengaruhi oleh 5 kali akar dari jumlah baris data input.
  2. Berdasarkan hasil percobaan klastering seperti pada gambar 4.2, 4.3 dan 4.4, jumlah *epoch* baik pada fase *ordering* maupun fase konvergen mempengaruhi penempatan neuron pemenang dan neuron tetangga pada klaster.
- b. Penginputan data yang salah meskipun hanya satu data, sangat berpengaruh pada hasil klastering dan kualitas hasil klastering.
- c. Berdasarkan percobaan pada tabel 4.3 semakin besar parameter nilai *learning rate* yang digunakan memerlukan waktu proses yang semakin cepat. Sebaliknya semakin kecil nilai learning rate-nya, memerlukan waktu proses yang semakin lambat.
- d. Berdasarkan perhitungan nilai DBI pada tabel 4.10 dan grafik DBI pada gambar 4.6, jika nilai DBI sudah menunjukkan pola lembah, maka jumlah percobaan dapat dicukupkan karena nilai DBI akan cenderung naik.

## BAB V

### PENUTUP

#### 5.1. Kesimpulan

Berdasarkan hasil penelitian yang telah dilakukan, dapat disimpulkan sebagai berikut:

1. Data interkomparasi dapat dievaluasi dengan teknik *clustering* menggunakan algoritma *Self Organizing Maps*. Dari tujuh percobaan yang dilakukan didapatkan nilai pengujian terbaik hasil klastering dengan metode *Davies Bouldin Indeks* sebesar 1,803 pada percobaan ke 4 dengan ukuran grid 2 x 4.
2. Evaluasi hasil klastering dengan menggunakan algoritma *Self Organizing Maps* menggambarkan kondisi laboratorium berdasarkan jenis permasalahan yang sama dalam satu kelompok, sehingga dapat dijadikan sebagai bahan acuan dalam evaluasi kegiatan interkomparasi.
3. Berdasarkan analisis korelasi dengan menggunakan metode korelasi pearson, tidak terdapat hubungan antara variabel nilai massa konvensional dengan variabel nilai ketidakpastian. Variabel nilai ketidakpastian memiliki pengaruh pada hasil klastering ketika klaster memiliki persamaan pada nilai rata-rata massa konvensionalnya.

#### 5.2. Saran

Hasil penelitian ini dapat dijadikan bahan untuk penelitian berikutnya seperti penelitian sistem pendukung keputusan interkomparasi.

## DAFTAR PUSTAKA

### **PUSTAKA MAJALAH, JURNAL ILMIAH ATAU PROSIDING**

- Asan U., Ercan S., *An Introduction to Self-Organizing Maps*. In: Kahraman C. (eds) *Computational Intelligence Systems in Industrial Engineering*. Atlantis Computational Intelligence Systems, vol 6. Atlantis Press, Paris, 2012. [https://doi.org/10.2991/978-94-91216-77-0\\_14](https://doi.org/10.2991/978-94-91216-77-0_14)
- Asriny Novendri Isra et all, *Comparison of K-Medoids and Self Organizing Maps Algorithm in Grouping Hydrometeorological Natural Disasters in Java Island*, ICITDA 2020 IOP Conf. Series: Materials Science and Engineering 1077 (2021) 012008 IOP Publishing doi:10.1088/1757-899X/1077/1/01200
- Ayufiah Ramli, Idris Jafar, Sudirman, Hubungan Kebiasaan Belajar dengan Prestasi Belajar Siswa di Kelas V SD Inpres 17 Bajoe, JPPSD, vol 1, 2021
- Cindy Viane Bertan; A. K. T. Dundai; R.J.M. Mandagi, Pengaruh Pendayagunaan Sumber Daya Manusia (Tenaga Kerja) Terhadap Hasil Pekerjaan (Studi Kasus Perumahan Taman Mapanget Raya (Tamara)), Jurnal Sipil Statik Vol.4 No.1, Januari, 2016
- Cottrell Marie; Olteanu Madalina; Rossi Fabrice; Vialaneix Nathalie, *Self-Organizing Maps, Theory and Applications*, REVISTA INVESTIGACION OPERACIONAL, VOL. 39, NO. 1, 1-22, 2018
- Febrita Ruth Ema; Mahmudy Wayan Firdaus; Wibawa Aji Prasetya, 2019, *High Dimensional Data Clustering using Self-Organized Map*, Knowledge Engineering and Data Science (KEDS) Vol 2, No 1, Juni 2019, pp. 31–40 <https://doi.org/10.17977/um018v2i12019p31-40>
- Firmansyah Dese Narfa; Adinugroho Sigit; Rahayudi Bayu. 2019, Pengelompokan Wilayah Berdasarkan Kesejahteraan Sosial Menggunakan Algoritme *Self-Organizing Maps* Dengan Perbaikan *Missing Value K-Nearest Neighbors*, Jurnal Pengembangan Teknologi Informasi dan Ilmu Komputer e-ISSN: 2548-964X Universitas Brawijaya Vol. 3, No. 7, Juli 2019, hlm. 7205-7213
- Gliozzi Valentina; Plunkett Kim, 2018, *Self-organizing maps and generalization: an algorithmic description of Numerosity and Variability effects*, arXiv:1802.09442v1 [cs.AI] 26 Feb 2018
- Hendayanti Ni Putu Nanik; Putri Gusti Ayu Made Ama; Nurhida Maulida, 2018, Ketepatan Klasifikasi Penerima Beasiswa Stimik Stikom Bali Dengan *Hybrid Self Organizing Maps* Dan *Algoritma K-Means*, Jurnal Varian Vol.2 No.1 Oktober 2018

- Jollyta Deni; Efendi Syahril; Zarlis Muhammad, Mawengkang Herman, Optimasi Cluster Pada Data Stunting: Teknik Evaluasi Cluster Sum of Square Error dan Davies Bouldin Index, Prosiding Seminar Nasional Riset Information Science (SENARIS), ISSN: 2686-0260 September 2019 Hal:918-926
- Kania Siti; Rachmatin Dewi; Dahlan Jarnawi Afgani, 2019, Program Aplikasi Pengelompokan Objek Dengan Metode *Self Organizing Map* Menggunakan Bahasa R, Jurnal EurekaMatika, Vol.7 No.2, 2019
- Kapita Syarifuddin N; Abdullah Saiful Do, Pengelompokkan Data Mutu Sekolah Menggunakan Jafingan Syaraf Tiruan Kohonen-Som, JIKO (Jurnal Informatika dan Komputer) Vol. 3, No. 1, April 2020, hlm. 56-61 DOI: 10.33387/jiko
- Lakshminarayanan Sivakkumaran, 2020, *Application of Self-Organizing Maps on Time Series Data for identifying interpretable Driving Manoeuvres*, SpringerOpen Jurnal, Germany
- Miftahuddin, Ananda Pratama, Ichsan Setiawan, Analisis Hubungan Antara Kelembaban Relatif Dengan Beberapa Variabel Iklim Dengan Pendekatan Korelasi Pearson Di Samudera Hindia, Jurnal Siger Matematika, Vol. 02, No. 01, Maret 2021
- Purbasari I Y; Puspaningrum E Y; Putra A B S, 2019, *Using Self-Organizing Map (SOM) for Clustering and Visualization of New Students based on Grades*, Journal of Physics: Conference Series, IOP Publishing, 2020
- Riese Felix M; Keller Sina; Hinz Stefan, *Supervised and Semi-Supervised Self-Organizing Maps for Regression and Classification Focusing on Hyperspectral Data*, Remote Sens. 2020, 12, 0007; doi:10.3390/rs12010007, [www.mdpi.com/journal/remotesensing](http://www.mdpi.com/journal/remotesensing)
- Sultan Mahabad Abdula, *A Study of Self- Organizing Maps (SOM) Neural Network Using Matlab*, Research on Humanities and Social Sciences Vol.10, No.6, 2020 [www.iiste.org](http://www.iiste.org)
- TIAN Jin; GU Mengyi, 2019, *Subspace Clustering Based on Self-Organizing Map*, ResearchGate, 2019
- Vesanto J, Altoniemi E, *Clustering of the Self-Organizing Map*, IEEE Transactions on Neural Networks, Vol. 11, No. 3, May 2000
- Widiyanto Max; Teja Ajie Cipta, Perbandingan Validitas Fuzzy Clustering pada Fuzzy C-Means Dan Particle Swarms Optimazation (PSO) pada Pengelompokan Kelas, JISKa, Vol. 4, No. 1, Mei, 2019, Pp. 22 – 37

Yu Shaoyong et all, *Combination of Self-organizing Map and k-means Methods of Clustering for Online Games Marketing*, Sensors and Materials, Vol. 32, No. 8 (2020) 2697–2707 MYU Tokyo <https://doi.org/10.18494/SAM.2020.2800>

#### **PUSTAKA BUKU**

Heryadi Yaya, Wahyono Teguh, 2020, Machine Learning (Konsep dan Implementasi), Gava Media, Yogyakarta

Irwansyah Edy, Faisal M, 2015, *Advanced Clustering*: Teori dan Aplikasi, Deepublish, Yogyakarta

Ignacio Rojas, Gonzalo Joya, Andreu Catala, 2015, *Advances in Computational Intelligence Part II*, page 550, Springer

Jollyta Deny, Siddik M, Mawengkang Herman, Efendi S, 2021, Teknik Evaluasi Cluster Solusi Menggunakan Python dan Rapidminer, Deepublish, Yogyakarta

Negnevitsky Michael, 2011, *Artificial Intelligence: A Guide to Intelligent System, Third edition*, Pearson Education Limited, England

Sugiyono, 2013, Metode Penelitian Kuantitatif Kualitatif dan R&D, Alfabeta, Bandung

#### **PUSTAKA LAPORAN PENELITIAN**

Putri Marina Marsudi, 2015, Pengelompokan Kabupaten/Kota Diprovinsi Jawa Timur Berdasarkan Indikator Kesehatan Masyarakat Menggunakan Metode Kohonen Som Dan K-Means, Tugas Akhir, Jurusan Statistika FMIPA, ITS, Surabaya



## Lampiran A

**Titik Persentase Distribusi t (df = 1 – 40)**

Pr df	0.25 0.50	0.10 0.20	0.05 0.10	0.025 0.050	0.01 0.02	0.005 0.010	0.001 0.002
	1	1.00000	3.07788	6.31375	12.70620	31.82052	83.85674
2	0.81650	1.88562	2.91999	4.30265	6.96496	9.92484	22.32712
3	0.76489	1.63774	2.35336	3.18245	4.54070	5.84091	10.21453
4	0.74070	1.53321	2.13185	2.77645	3.74685	4.60409	7.17318
5	0.72669	1.47588	2.01505	2.57058	3.38493	4.03214	5.89343
6	0.71756	1.42976	1.94318	2.44683	3.14287	3.70743	5.20763
7	0.71114	1.41482	1.89458	2.36462	2.98795	3.49946	4.78529
8	0.70638	1.39602	1.85955	2.30600	2.89646	3.35538	4.50079
9	0.70272	1.38303	1.83311	2.28216	2.82164	3.24984	4.29681
10	0.69881	1.37216	1.81246	2.22814	2.76377	3.16927	4.14370
11	0.69745	1.36343	1.79588	2.20099	2.71808	3.10581	4.02470
12	0.69548	1.36222	1.78229	2.17981	2.69100	3.05454	3.92963
13	0.69383	1.35017	1.77093	2.16037	2.65081	3.01226	3.85198
14	0.69242	1.34503	1.76131	2.14479	2.62449	2.97584	3.78739
15	0.69120	1.34061	1.75265	2.13145	2.60248	2.94671	3.72283
16	0.69013	1.33676	1.74588	2.11981	2.58548	2.92078	3.68615
17	0.68920	1.33338	1.73981	2.10982	2.56685	2.89823	3.64577
18	0.68836	1.33039	1.73406	2.10092	2.55238	2.87844	3.61048
19	0.68762	1.32773	1.72913	2.09002	2.53948	2.86083	3.57940
20	0.68695	1.32534	1.72472	2.08598	2.52798	2.84534	3.55181
21	0.68635	1.32319	1.72074	2.07961	2.51785	2.83136	3.52715
22	0.68583	1.32124	1.71714	2.07387	2.50832	2.81876	3.50498
23	0.68531	1.31946	1.71387	2.06866	2.49967	2.80734	3.48496
24	0.68485	1.31784	1.71088	2.06390	2.49216	2.79694	3.46678
25	0.68443	1.31635	1.70814	2.05954	2.48511	2.78744	3.45019
26	0.68404	1.31497	1.70562	2.05553	2.47863	2.77871	3.43500
27	0.68368	1.31370	1.70329	2.05183	2.47266	2.77068	3.42103
28	0.68335	1.31253	1.70113	2.04841	2.46714	2.76326	3.40816
29	0.68304	1.31143	1.69910	2.04523	2.46202	2.75636	3.39624
30	0.68276	1.31042	1.69726	2.04227	2.45726	2.75000	3.38518
31	0.68249	1.30946	1.69552	2.03951	2.45282	2.74404	3.37485
32	0.68223	1.30867	1.69389	2.03693	2.44866	2.73848	3.36531
33	0.68200	1.30774	1.69236	2.03452	2.44479	2.73326	3.35634
34	0.68177	1.30685	1.69092	2.03224	2.44119	2.72838	3.34793
35	0.68156	1.30621	1.68957	2.03011	2.43772	2.72381	3.34005
36	0.68137	1.30551	1.68830	2.02809	2.43449	2.71948	3.33262
37	0.68116	1.30485	1.68709	2.02619	2.43145	2.71541	3.32563
38	0.68100	1.30423	1.68595	2.02439	2.42857	2.71156	3.31903
39	0.68083	1.30364	1.68488	2.02269	2.42584	2.70791	3.31279
40	0.68067	1.30308	1.68385	2.02108	2.42326	2.70446	3.30688

Catatan: Probabilitas yang lebih kecil yang ditunjukkan pada judul tiap kolom adalah luas daerah dalam satu ujung, sedangkan probabilitas yang lebih besar adalah luas daerah dalam kedua ujung

## Lampiran B

⚠ Correlation measure - 0:52 - Linear Correlation

File Edit Hilite Navigation View

Table "default" - Rows: 3 Spec - Columns: 5 Properties Flow Variables

Row ID	S First col...	S Second...	D Correlation value	D p value	I Degree...
Row0	Mc 1kg	Uc	0.08334281632476...	0.6289173568365...	34
Row1	Mc 1kg	Cluster0	-0.08493551092616...	0.6223521210536...	34
Row2	Uc	Cluster0	0.39106071201437...	0.0183568907277...	34

⚠ Correlation measure - 0:52 - Linear Correlation

File Edit Hilite Navigation View

Table "default" - Rows: 3 Spec - Columns: 5 Properties Flow Variables

Row ID	S First col...	S Second...	D Correlation value	D p value	I Degree...
Row0	Mc 1kg	Uc	0.08334281632476...	0.6289173568365...	34
Row1	Mc 1kg	Cluster1	-0.13202648571988...	0.4427418178050...	34
Row2	Uc	Cluster1	0.10221416060751...	0.5530485432691...	34

⚠ Correlation measure - 0:52 - Linear Correlation

File Edit Hilite Navigation View

Table "default" - Rows: 3 Spec - Columns: 5 Properties Flow Variables

Row ID	S First col...	S Second...	D Correlation value	D p value	I Degree...
Row0	Mc 1kg	Uc	0.08334281632476...	0.6289173568365...	34
Row1	Mc 1kg	Cluster2	-0.3801249681235852...	0.0222041175399...	34
Row2	Uc	Cluster2	0.07024985224009...	0.6839144779302...	34

⚠ Correlation measure - 0:52 - Linear Correlation

File Edit Hilite Navigation View

Table "default" - Rows: 3 Spec - Columns: 5 Properties Flow Variables

Row ID	S First col...	S Second...	D Correlation value	D p value	I Degree...
Row0	Mc 1kg	Uc	0.08334281632476...	0.6289173568365...	34
Row1	Mc 1kg	Cluster3	-0.08452588236602...	0.6240379365031...	34
Row2	Uc	Cluster3	-0.5991043210026753...	1.1310374650748...	34

Correlation measure - 0:52 - Linear Correlation

File Edit Hilite Navigation View

Table "default" - Rows: 3 Spec - Columns: 5 Properties Flow Variables

Row ID	S First col...	S Second...	D Correlation value	D p value	I Degree...
Row0	Mc 1kg	Uc	0.08334281632476...	0.6289173568365...	34
Row1	Mc 1kg	Cluster4	0.5815416938133129	1.9878057540023...	34
Row2	Uc	Cluster 4	0.5428820543354259	6.2389729240819...	34

Correlation measure - 0:52 - Linear Correlation

File Edit Hilite Navigation View

Table "default" - Rows: 3 Spec - Columns: 5 Properties Flow Variables

Row ID	S First col...	S Second...	D Correlation value	D p value	I Degree...
Row0	Mc 1kg	Uc	0.08334281632476...	0.6289173568365...	34
Row1	Mc 1kg	Cluster5	0.08659411598524...	0.6155455637838...	34
Row2	Uc	Cluster5	0.0328571087884254	0.8491239359128...	34

Correlation measure - 0:52 - Linear Correlation

File Edit Hilite Navigation View

Table "default" - Rows: 3 Spec - Columns: 5 Properties Flow Variables

Row ID	S First col...	S Second...	D Correlation value	D p value	I Degree...
Row0	Mc 1kg	Uc	0.08334281632476...	0.6289173568365...	34
Row1	Mc 1kg	Cluster6	-0.16912690598780...	0.3240958001892...	34
Row2	Uc	Cluster6	-0.2782615803414361	0.1003239561014...	34

Correlation measure - 0:52 - Linear Correlation

File Edit Hilite Navigation View

Table "default" - Rows: 3 Spec - Columns: 5 Properties Flow Variables

Row ID	S First col...	S Second...	D Correlation value	D p value	I Degree...
Row0	Mc 1kg	Uc	0.08334281632476...	0.6289173568365...	34
Row1	Mc 1kg	Cluster7	0.6230802217625615	4.9330485782927...	34
Row2	Uc	Cluster7	-0.34891780035407...	0.0370079363554...	34

## Lampiran C

Row ID	Mc 1kg	Uc	Cluster0	Cluster1	Winner...
A1	999.99	0.009	0	1	0
A2	1,000.017	0.012	0	1	0
A3	1,000.003	0.011	0	1	0
A4	1,000.004	0.009	0	1	0
A5	1,000.039	0.003	1	0	1
A6	1,000.001	0.01	0	1	0
A7	1,000.035	0.013	0	1	0
A8	1,000.005	0.009	0	1	0
A9	1,000.005	0.005	1	0	1
A10	999.997	0.006	1	0	1
A11	1,000.004	0.01	0	1	0
A12	1,000.01	0.011	0	1	0
A13	1,000.007	0.009	0	1	0
A14	1,000	0.009	0	1	0
A15	1,000	0.014	0	1	0
A16	999.998	0.009	0	1	0
A17	1,000.008	0.009	0	1	0
A18	1,000	0.006	1	0	1
B1	1,000.001	0.009	0	1	0
B2	1,000.004	0.009	0	1	0
B3	1,000	0.011	0	1	0
B4	999.996	0.01	0	1	0
B5	1,000.003	0.003	1	0	1
B6	1,000.007	0.009	0	1	0
B7	1,000.009	0.008	0	1	0
B8	1,000.001	0.005	1	0	1
B9	1,000.004	0.005	1	0	1
B10	1,000.004	0.009	0	1	0
B11	1,000.005	0.004	1	0	1
B12	1,000	0.009	0	1	0
B13	1,000.006	0.005	0	1	0
B14	1,000.003	0.006	1	0	1
B15	1,000.005	0.009	0	1	0
B16	1,000.018	0.016	0	1	0
B17	1,000.003	0.009	0	1	0
B18	1,000.003	0.007	1	0	1

Hasil Klustering Parameter 1

Row ID	D	Mt 1kg	D	Uc	D	Cluster0	D	Cluster1	D	Cluster2	D	Cluster3	I	Writte...
A1	999.99	0.009											1	
A2	1.000.017	0.012											0	
A3	1.000.003	0.011											1	
A4	1.000.004	0.009											2	
A5	1.000.029	0.003											3	
A6	1.000.001	0.01											2	
A7	1.000.025	0.013											0	
A8	1.000.005	0.009											2	
A9	1.000.005	0.005											3	
A10	999.997	0.006											3	
A11	1.000.004	0.01											2	
A12	1.000.02	0.011											2	
A13	1.000.007	0.009											2	
A14	1.000	0.009											3	
A15	1.000	0.024											1	
A16	999.996	0.009											3	
A17	1.000.004	0.009											2	
A18	1.000	0.006											3	
B1	1.000.001	0.009											1	
B2	1.000.004	0.009											2	
B3	1.000	0.011											4	
B4	999.996	0.002											2	
B5	1.000.002	0.003											2	
B6	1.000.007	0.009											2	
B7	1.000.009	0.008											2	
B8	1.000.001	0.005											3	
B9	1.000.004	0.005											3	
B10	1.000.004	0.009											1	
B11	1.000.003	0.004											1	
B12	1.000	0.009											2	
B13	1.000.006	0.009											2	
B14	1.000.005	0.006											3	
B15	1.000.005	0.019											0	
B16	1.000.008	0.016											0	
B17	1.000.003	0.009											2	
B18	1.000.003	0.007											2	

Hasil Klastering Parameter 2

Row ID	D	Mt 1kg	D	Uc	D	Cluster0	D	Cluster1	D	Cluster2	D	Cluster3	I	Writte...
A1	999.99	0.000											4	
A2	1.000.017	0.012											2	
A3	1.000.003	0.011											3	
A4	1.000.004	0.006											1	
A5	1.000.025	0.003											0	
A6	1.000.001	0.01											3	
A7	1.000.020	0.013											2	
A8	1.000.005	0.008											1	
A9	1.000.005	0.006											3	
A10	999.997	0.006											3	
A11	1.000.000	0.01											1	
A12	1.000.011	0.011											1	
A13	1.000.001	0.009											1	
A14	1.000.008	0.006											2	
A15	1.000.006	0.016											0	
A16	1.000	0.006											3	
B1	1.000.003	0.009											4	
B2	1.000.003	0.003											2	
B3	1.000.007	0.009											1	
B4	1.000.009	0.006											1	
B5	1.000.001	0.005											3	
B6	1.000.004	0.005											3	
B7	1.000.004	0.009											2	
B8	1.000.001	0.009											1	
B9	1.000.004	0.004											3	
B10	1.000.004	0.009											1	
B11	1.000.005	0.004											3	
B12	1.000	0.008											2	
B13	1.000.006	0.009											0	
B14	1.000.003	0.006											1	
B15	1.000.003	0.006											0	
B16	1.000.009	0.009											1	
B17	1.000.016	0.016											2	
B18	1.000.001	0.007											2	

Hasil Klastering Parameter 3

Row ID	D	Mt. Sig.	D	Uc	D	Cluster0	D	Cluster1	D	Cluster2	D	Cluster3	D	Cluster4	D	Cluster5	I	Wrie...
A1	999.99	0.009															2	
A2	1.000.017	0.012															4	
A3	1.000.003	0.011															3	
A4	1.000.000	0.009															1	
A5	1.000.019	0.001															5	
A6	1.000.001	0.011															1	
A7	1.000.036	0.011															4	
A8	1.000.006	0.009															5	
A9	1.000.004	0.004															1	
A10	999.997	0.006															9	
A11	1.000.009	0.011															1	
A12	1.000.021	0.011															6	
A13	1.000.007	0.009															9	
A14	1.000	0.009															2	
A15	1.000	0.011															9	
A16	999.998	0.009															12	
A17	1.000.008	0.009															9	
A18	1.000	0.006															6	
A19	1.000.001	0.009															1	
A20	1.000.004	0.009															5	
A21	1.000.002	0.009															1	
A22	1.000.006	0.009															2	
A23	1.000.005	0.009															1	
A24	1.000.004	0.009															2	
A25	1.000.005	0.009															1	
A26	1.000.007	0.009															2	
A27	1.000.009	0.009															2	
A28	1.000.008	0.009															2	
A29	1.000.009	0.009															2	
A30	1.000.009	0.009															2	
A31	1.000.009	0.009															2	
A32	1.000.009	0.009															2	
A33	1.000.009	0.009															2	
A34	1.000.003	0.009															9	
A35	1.000.005	0.009															3	
A36	1.000.008	0.009															14	
A37	1.000.006	0.009															1	
A38	1.000.004	0.009															16	
A39	1.000.005	0.009															14	
A40	1.000.006	0.009															1	
A41	1.000.007	0.009															16	
A42	1.000.008	0.009															1	
A43	1.000.009	0.009															1	
A44	1.000.009	0.009															14	
A45	1.000.009	0.009															1	
A46	1.000.009	0.009															16	
A47	1.000.009	0.009															12	
A48	1.000.009	0.009															1	
A49	1.000.009	0.009															16	
A50	1.000.009	0.009															1	
A51	1.000.009	0.009															16	
A52	1.000.009	0.009															1	
A53	1.000.009	0.009															16	
A54	1.000.009	0.009															1	
A55	1.000.009	0.009															16	
A56	1.000.009	0.009															1	
A57	1.000.009	0.009															16	
A58	1.000.009	0.009															1	
A59	1.000.009	0.009															16	
A60	1.000.009	0.009															1	
A61	1.000.009	0.009															16	
A62	1.000.009	0.009															1	
A63	1.000.009	0.009															16	
A64	1.000.009	0.009															1	
A65	1.000.009	0.009															16	
A66	1.000.009	0.009															1	
A67	1.000.009	0.009															16	
A68	1.000.009	0.009															1	
A69	1.000.009	0.009															16	
A70	1.000.009	0.009															1	
A71	1.000.009	0.009															16	
A72	1.000.009	0.009															1	
A73	1.000.009	0.009															16	
A74	1.000.009	0.009															1	
A75	1.000.009	0.009															16	
A76	1.000.009	0.009															1	
A77	1.000.009	0.009															16	
A78	1.000.009	0.009															1	
A79	1.000.009	0.009															16	
A80	1.000.009	0.009															1	
A81	1.000.009	0.009															16	
A82	1.000.009	0.009															1	
A83	1.000.009	0.009															16	
A84	1.000.009	0.009															1	
A85	1.000.009	0.009															16	
A86	1.000.009	0.009															1	
A87	1.000.009	0.009															16	
A88	1.000.009	0.009															1	
A89	1.000.009	0.009															16	
A90	1.000.009	0.009															1	
A91	1.000.009	0.009															16	
A92	1.000.009	0.009															1	
A93	1.000.009	0.009															16	
A94	1.000.009	0.009															1	
A95	1.000.009	0.009															16	
A96	1.000.009	0.009															1	
A97	1.000.009	0.009															16	
A98	1.000.009	0.009															1	
A99	1.000.009	0.009															16	
A100	1.000.009	0.009															1	
A101	1.000.009	0.009															16	
A102	1.000.009	0.009															1	
A103	1.000.009	0.009															16	
A104	1.000.009	0.009															1	
A105	1.000.009	0.009															16	
A106	1.000.009	0.009															1	
A107	1.000.009	0.009															16	
A108	1.000.009	0.009															1	
A109	1.000.009	0.009															16	
A110	1.000.009	0.009															1	
A111	1.000.009	0.009															16	
A112	1.000.009	0.009															1	
A113	1.000.009	0.009															16	
A114	1.000.009	0.009															1	
A115	1.000.009	0.009															16	
A116	1.000.009	0.009															1	
A117	1.000.009	0.009															16	
A118	1.000.009	0.009</																

Row ID	I	P1	P2	M	D1	C1	G1	H1	C2	G2	H2	D2	V1	D3	C3	G3	H3	C4	G4	H4	D4	V2	D5	C5	G5	H5	D6	V3	D7	C7	G7	H7	D8	V4	D9	C9	G9	H9	D10	V5	D11	C11	G11	H11	D12	V6	D13	C13	G13	H13	D14	V7	D15	C15	G15	H15	D16	V8	D17	C17	G17	H17	D18	V9	D19	C19	G19	H19	D20	V10	D21	C21	G21	H21	D22	V11	D23	C23	G23	H23	D24	V12	D25	C25	G25	H25	D26	V13	D27	C27	G27	H27	D28	V14	D29	C29	G29	H29	D30	V15	D31	C31	G31	H31	D32	V16	D33	C33	G33	H33	D34	V17	D35	C35	G35	H35	D36	V18	D37	C37	G37	H37	D38	V19	D39	C39	G39	H39	D40	V20	D41	C41	G41	H41	D42	V21	D43	C43	G43	H43	D44	V22	D45	C45	G45	H45	D46	V23	D47	C47	G47	H47	D48	V24	D49	C49	G49	H49	D50	V25	D51	C51	G51	H51	D52	V26	D53	C53	G53	H53	D54	V27	D55	C55	G55	H55	D56	V28	D57	C57	G57	H57	D58	V29	D59	C59	G59	H59	D60	V30	D61	C61	G61	H61	D62	V31	D63	C63	G63	H63	D64	V32	D65	C65	G65	H65	D66	V33	D67	C67	G67	H67	D68	V34	D69	C69	G69	H69	D70	V35	D71	C71	G71	H71	D72	V36	D73	C73	G73	H73	D74	V37	D75	C75	G75	H75	D76	V38	D77	C77	G77	H77	D78	V39	D79	C79	G79	H79	D80	V40	D81	C81	G81	H81	D82	V41	D83	C83	G83	H83	D84	V42	D85	C85	G85	H85	D86	V43	D87	C87	G87	H87	D88	V44	D89	C89	G89	H89	D89	V45	D90	C90	G90	H90	D91	V46	D92	C92	G92	H92	D93	V47	D94	C94	G94	H94	D95	V48	D96	C96	G96	H96	D97	V49	D98	C98	G98	H98	D98	V50	D99	C99	G99	H99	D99	V51	D100	C100	G100	H100	D100	V52	D101	C101	G101	H101	D102	V53	D103	C103	G103	H103	D104	V54	D105	C105	G105	H105	D106	V55	D107	C107	G107	H107	D108	V56	D109	C109	G109	H109	D109	V57	D111	C111	G111	H111	D112	V58	D113	C113	G113	H113	D114	V59	D115	C115	G115	H115	D116	V60	D117	C117	G117	H117	D118	V61	D119	C119	G119	H119	D119	V62	D120	C120	G120	H120	D120	V63	D121	C121	G121	H121	D121	V64	D122	C122	G122	H122	D122	V65	D123	C123	G123	H123	D123	V66	D124	C124	G124	H124	D124	V67	D125	C125	G125	H125	D125	V68	D126	C126	G126	H126	D126	V69	D127	C127	G127	H127	D127	V70	D128	C128	G128	H128	D128	V71	D129	C129	G129	H129	D129	V72	D130	C130	G130	H130	D130	V73	D131	C131	G131	H131	D131	V74	D132	C132	G132	H132	D132	V75	D133	C133	G133	H133	D133	V76	D134	C134	G134	H134	D134	V77	D135	C135	G135	H135	D135	V78	D136	C136	G136	H136	D136	V79	D137	C137	G137	H137	D137	V80	D138	C138	G138	H138	D138	V81	D139	C139	G139	H139	D139	V82	D140	C140	G140	H140	D140	V83	D141	C141	G141	H141	D141	V84	D142	C142	G142	H142	D142	V85	D143	C143	G143	H143	D143	V86	D144	C144	G144	H144	D144	V87	D145	C145	G145	H145	D145	V88	D146	C146	G146	H146	D146	V89	D147	C147	G147	H147	D147	V90	D148	C148	G148	H148	D148	V91	D149	C149	G149	H149	D149	V92	D150	C150	G150	H150	D150	V93	D151	C151	G151	H151	D151	V94	D152	C152	G152	H152	D152	V95	D153	C153	G153	H153	D153	V96	D154	C154	G154	H154	D154	V97	D155	C155	G155	H155	D155	V98	D156	C156	G156	H156	D156	V99	D157	C157	G157	H157	D157	V100	D158	C158	G158	H158	D158	V101	D159	C159	G159	H159	D159	V102	D160	C160	G160	H160	D160	V103	D161	C161	G161	H161	D161	V104	D162	C162	G162	H162	D162	V105	D163	C163	G163	H163	D163	V106	D164	C164	G164	H164	D164	V107	D165	C165	G165	H165	D165	V108	D166	C166	G166	H166	D166	V109	D167	C167	G167	H167	D167	V110	D168	C168	G168	H168	D168	V111	D169	C169	G169	H169	D169	V112	D170	C170	G170	H170	D170	V113	D171	C171	G171	H171	D171	V114	D172	C172	G172	H172	D172	V115	D173	C173	G173	H173	D173	V116	D174	C174	G174	H174	D174	V117	D175	C175	G175	H175	D175	V118	D176	C176	G176	H176	D176	V119	D177	C177	G177	H177	D177	V120	D178	C178	G178	H178	D178	V121	D179	C179	G179	H179	D179	V122	D180	C180	G180	H180	D180	V123	D181	C181	G181	H181	D181	V124	D182	C182	G182	H182	D182	V125	D183	C183	G183	H183	D183	V126	D184	C184	G184	H184	D184	V127	D185	C185	G185	H185	D185	V128	D186	C186	G186	H186	D186	V129	D187	C187	G187	H187	D187	V130	D188	C188	G188	H188	D188	V131	D189	C189	G189	H189	D189	V132	D190	C190	G190	H190	D190	V133	D191	C191	G191	H191	D191	V134	D192	C192	G192	H192	D192	V135	D193	C193	G193	H193	D193	V136	D194	C194	G194	H194	D194	V137	D195	C195	G195	H195	D195	V138	D196	C196	G196	H196	D196	V139	D197	C197	G197	H197	D197	V140	D198	C198	G198	H198	D198	V141	D199	C199	G199	H199	D199	V142	D200	C200	G200	H200	D200	V143	D201	C201	G201	H201	D201	V144	D202	C202	G202	H202	D202	V145	D203	C203	G203	H203	D203	V146	D204	C204	G204	H204	D204	V147	D205	C205	G205	H205	D205	V148	D206	C206	G206	H206	D206	V149	D207	C207	G207	H207	D207	V150	D208	C208	G208	H208	D208	V151	D209	C209	G209	H209	D209	V152	D210	C210	G210	H210	D210	V153	D211	C211	G211	H211	D211	V154	D212	C212	G212	H212	D212	V155	D213	C213	G213	H213	D213	V156	D214	C214	G214	H214	D214	V157	D215	C215	G215	H215	D215	V158	D216	C216	G216	H216	D216	V159	D217	C217	G217	H217	D217	V160	D218	C218	G218	H218	D218	V161	D219	C219	G219	H219	D219	V162	D220	C220	G220	H220	D220	V163	D221	C221	G221	H221	D221	V164	D222	C222	G222	H222	D222	V165	D223	C223	G223	H223	D223	V166	D224	C224	G224	H224	D224	V167	D225	C225	G225	H225	D225	V168	D226	C226	G226	H226	D226	V169	D227	C227	G227	H227	D227	V170	D228	C228	G228	H228	D228	V171	D229	C229	G229	H229	D229	V172	D230	C230	G230	H230	D230	V173	D231	C231	G231	H231	D231	V174	D232	C232	G232	H232	D232	V175	D233	C233	G233	H233	D233	V176	D234	C234	G234	H234	D234	V177	D235	C235	G235	H235	D235	V178	D236	C236	G236	H236	D236	V179	D237	C237	G237	H237	D237	V180	D238	C238	G238	H238	D238	V181	D239	C239	G239	H239	D239	V182	D240	C240	G240	H240	D240	V183	D241	C241	G241	H241	D241	V184	D242	C242	G242	H242	D242	V185	D243	C243	G243	H243	D243	V186	D244	C244	G244	H244	D244	V187	D245	C245	G245	H245	D245	V188	D246	C246	G246	H246	D246	V189	D247	C247	G247	H247	D247	V190	D248	C248	G248	H248	D248	V191	D249	C249	G249	H249	D249	V192	D250	C250	G250	H250	D250	V193	D251	C251	G251	H251	D251	V194	D252	C252	G252	H252	D252	V195	D253	C253	G253	H253	D253	V196	D254	C254	G254	H254	D254	V197	D255	C255	G255	H255	D255	V198	D256	C256	G256	H256	D256	V199	D257	C257	G257	H257	D257	V200	D258	C258	G258	H258	D258	V201	D259	C259	G259	H259	D259	V202	D260	C260	G260	H260	D260	V203	D261	C261	G261	H261	D261	V204	D262	C262	G262	H262	D262	V205	D263	C263	G263	H263	D263	V206	D264	C264	G264	H264	D264	V207	D265	C265	G265	H265	D265	V208	D266	C266	G266	H266	D266	V209	D267	C267	G267	H267	D267	V210	D268	C268	G268	H268	D268	V211	D269	C269	G269	H269	D269	V212	D270	C270	G270	H270	D270	V213	D271	C271	G271	H271	D271	V214	D272	C272	G272	H272	D272	V215	D273	C273	G273	H273	D273	V216	D274	C274	G274	H274	D274	V217	D275	C275	G275	H275	D275	V218	D276	C276	G276	H276	D276	V219	D277	C277	G277	H277	D277	V220	D278	C278	G278	H278	D278	V221	D279	C279	G279	H279	D279	V222	D280	C280	G280	H280	D280	V223	D281	C281	G281	H281	D281	V224	D282	C282	G282	H282	D282	V225	D283	C283	G283	H283	D283	V226	D284	C284	G284	H284	D284	V227	D285	C285	G285	H285	D285	V228	D286	C286	G286	H286	D286	V229	D287	C287	G287	H287	D287	V230	D288	C288	G288	H288	D288	V231	D289	C289	G289	H289	D289	V232	D290	C290	G290	H290	D290	V233	D291	C291	G291	H291	D291	V234	D292	C292	G292	H292	D292	V235	D293	C293	G293	H293	D293	V236	D294	C294	G294	H294	D294	V237	D295	C295	G295	H295	D295	V238	D296	C296	G296	H296	D296	V239	D297	C297	G297	H297	D297	V240	D298	C298	G298	H298	D298	V241	D299	C299	G299	H299	D299	V242	D300	C300	G300	H300	D300	V243	D301	C301	G301	H301	D301	V244	D302	C302	G302	H302	D302	V245	D303	C303	G303	H303	D303	V246	D304	C304	G304	H304	D304	V247	D305	C305	G305	H305	D305	V248	D306	C306	G306	H306	D306	V249	D307	C307	G307	H307	D307	V250	D308	C308	G308	H308	D308	V251	D309	C309	G309	H309	D309	V252	D310	C310	G310	H310	D310	V253	D311	C311	G311	H311	D311	V254	D312	C312	G312	H312	D312	V255	D313	C313	G313	H313	D313	V256	D314	C314	G314	H314	D314	V257	D315	C315	G315	H315	D315	V258	D316	C316	G316	H316	D316	V259	D317	C317	G317	H317	D317	V260	D318	C318	G318	H318	D318	V261	D319	C319	G319	H319	D319	V262	D320	C320	G320	H320	D320	V263	D321	C321</th